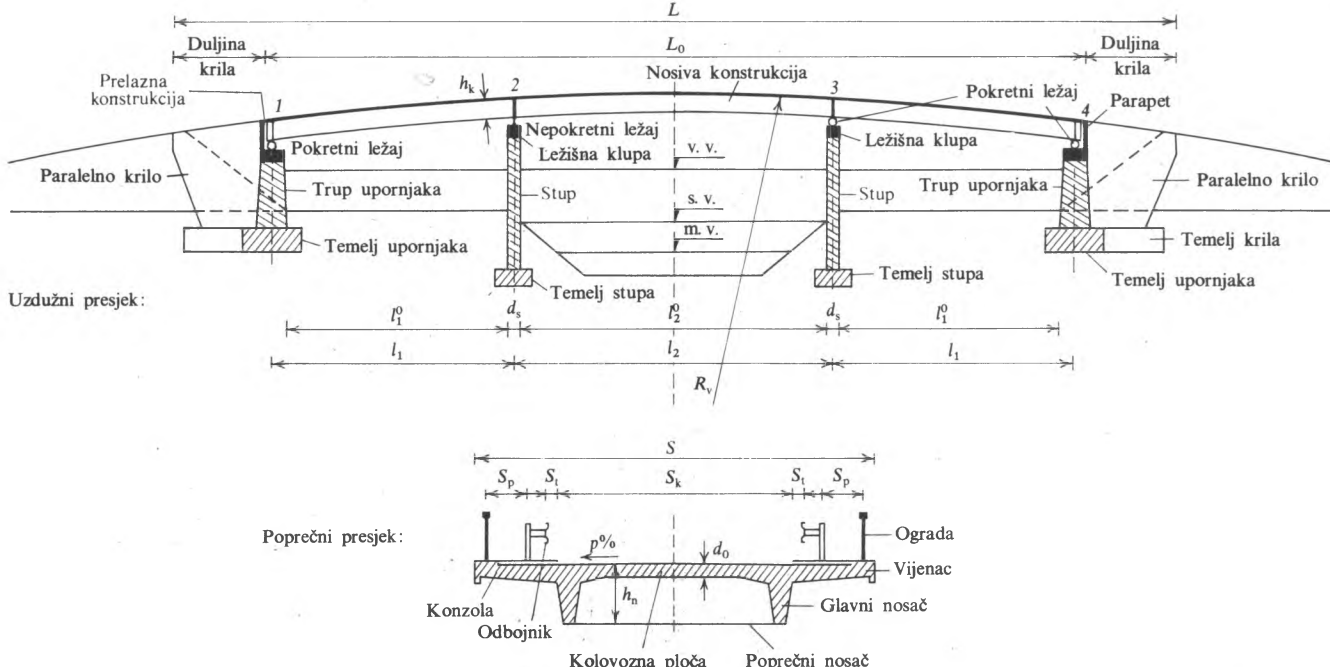


MOSTOVI, MASIVNI, danas građevine od betona, amiranog i prednapregnutog betona, a gradili su se do pred kraj XIX st. od kamena (v. *Gradevi kamen*, TE 6, str. 238).

Prema statičkom sustavu masivni mostovi mogu se svrstati u gredne, lučne, okvirne, viseće, ovješene, rešetkaste i zategnute mostove.

GREDNI MOSTOVI

Osnovne dimenzijske karakteristike mosta jesu: duljina, visina i rasponi (sl. 1). Duljina je mosta horizontalni razmak između stražnjih ploha krila upornjaka, a duljina je nosive konstrukcije horizontalni razmak čeonih ploha iznad upornjaka.



Sl. 1. Gredni most. l_1 krajnji raspon, l_2 srednji napon, l_0^0 srednji otvor, L duljina mosta, L_0 duljina nosive konstrukcije, S širina mosta, S_k širina kolnika, S_t širina zaštitne trake, S_p širina pješačke staze, d_0 debljina kolovozne ploče, h_n visina nosive konstrukcije, R_v poljumer zakrivljenosti nivele, v. v. velika voda, s. v. srednja voda, m. v. mala voda

Građevna visina je vertikalni razmak između donjeg ruba najnižeg dijela nosive konstrukcije i gornjeg ruba kolnika (za cestovne mostove), odnosno tračnica (za željezničke mostove), a konstrukcijska visina je vertikalni razmak između gornjeg ruba kvadra i gornjeg ruba kolnika, odnosno tračnica. Rasponi su horizontalni razmaci vertikalnih osi ležaja na upornjacima, odnosno stupovima, a otvori su horizontalni razmaci unutrašnjih ploha upornjaka, odnosno stupova.

Dimenzije i broj raspona ovise o funkcionalnim, ekonomskim i estetskim zahtjevima. Za prijelaz rijeke ili prometnice minimalni rasponi uvjetovani su njihovim gabaritima. Kad minimalni rasponi nisu određeni gabaritom, raspone, a o njima ovisi i broj stupova, treba tako odabrat da ukupni troškovi donjeg i gornjeg stroja budu minimalni (sl. 2). Na troškove

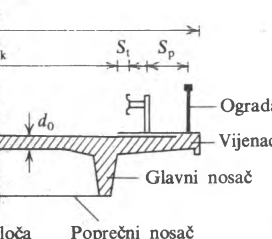
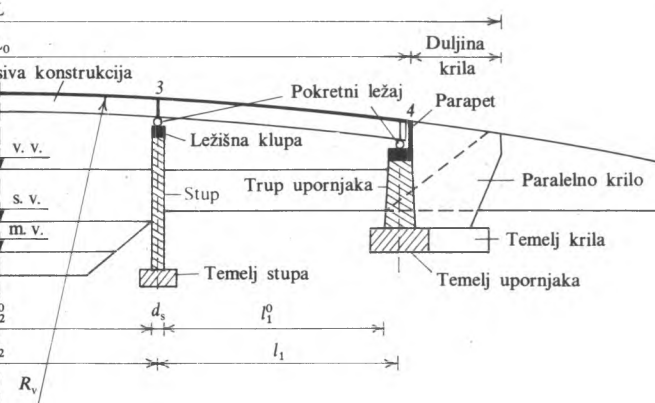
Nosiva konstrukcija

Prosta greda. To je najjednostavniji, ali i najskupljiji sustav, budući da se tada pojavljuju najveći momenti naprezanja (sl. 3).



Sl. 3. Most u obliku proste grede

Visina grede obično je konstantna. Vrlo se rijetko primjenjuje konstrukcija sa tzv. ribljim trbuhom, kad je visina grede prilagođena liniji maksimalnih momenata. Kontinuirane grede



izvode se s konstantnom (sl. 4) ili promjenljivom visinom (sl. 5). Tada su momenti po apsolutnoj vrijednosti manji, pa su takve grede ekonomičnije od proste grede.



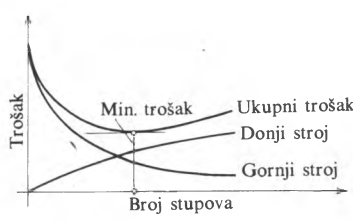
Sl. 4. Most kao kontinuirani nosač konstantne visine



Sl. 5. Most kao kontinuirani nosač promjenljive visine

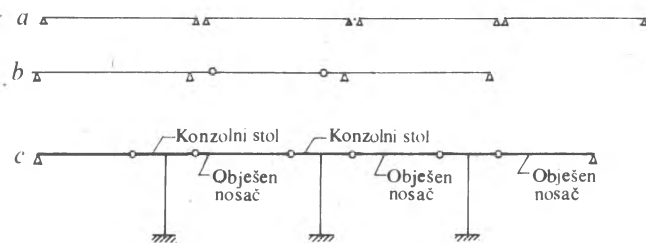
U grednim mostovima opterećenja se prenose savijanjem. Prosta greda je statički određen sustav, koji se može sastojati od jednog ili više polja (sl. 6a). Prednost mu je jednostavnost i brzina izradbe, a manja više ležaja i spojnica u kolovoznoj ploči. Povezivanjem prostih greda i greda s prepustima pomoću zglobova nastaju Gerberovi nosači (sl. 6b). Danas se dosta primjenjuju konzolni stolovi (sl. 6c). Oni se sastoje od stupova koji na vrhu imaju nosivu konstrukciju tlocrtnog oblika konzolnog stola. Između tih stolova vješaju se pomoću zglobova roštiljne konstrukcije sastavljene od prostih greda. Dobra je strana takvih konstrukcija jednostavnost izradbe, a manja zglobovi, spojnici između polja i veći utrošak materijala.

Primjenom kontinuiranih konstrukcija uklanjuju se spomenute mane. Treba težiti upotrebi kontinuiranih konstrukcija zbog mnogo manjih troškova održavanja i mirnije vožnje po njima, jer nema poprečnih spojnica. Ne treba ih se plašiti



Sl. 2. Dijagram optimalne dispozicije mosta

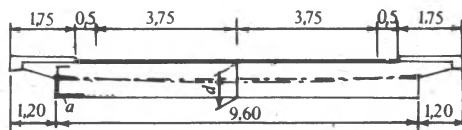
donjeg stroja utječe dubina temeljenja i nosivost tla, prisutnost vode, te visina i oblik stupa, a na troškove gornjeg stroja rasponi, širina mosta, opterećenje, materijal od kojeg je nosiva konstrukcija načinjena i statički sustav.



Sl. 6. Statički sustavi grednih mostova. a) prosta greda, b) Gerberov nosač, c) konzolni stoli

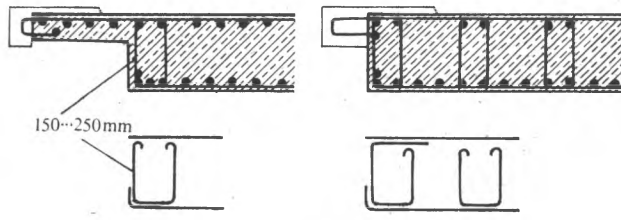
ni kad se grade na slabijem tlu, gdje je moguće diferencijalno slijeganje. Naime, momenti, koji nastaju slijeganjem postepeno nestaju zbog puzanja betona. Ako se pojavi veće slijeganje nekih stupova, konstrukcija se može bez teškoća podići na prvobitnu visinu postavljanjem podložaka. Povoljno je da su krajnja polja kraća za ~20% od srednjih da se postigne približna jednakost momenata u poljima.

Puna ploča. Armiranobetonska ploča (v. *Ploče i roštilji*) primjenjuje se kao izostatična konstrukcija za raspone do 15 m, a kao kontinuirana za raspone do 25 m. Ako se izrađuje od prednapregnutog betona, ta se granica povećava na 25 m, odnosno na 40 m. Visina armiranobetonske ploče iznosi za jedno polje $\frac{l}{15} \dots \frac{l}{25}$, (gdje je l duljina ploče), a za više polja $\frac{l}{20} \dots \frac{l}{30}$. Kad je ploča od prednapregnutog betona visina je $\frac{l}{20} \dots \frac{l}{30}$ za jedno, odnosno $\frac{l}{25} \dots \frac{l}{35}$ za više polja. Visina mora biti veća ako ploče imaju vute. Ploča je najjednostavniji nosivi sustav. Armatura je jednostavna, potrebna je najmanja količina oplate, a ugrađivanje je lako. Manja je velika količina betona i velika težina, što povećava momente koji djeluju na ploču, te na stupove i upornjake. Gradi se pomoću skela, a u posljednje vrijeme i montažno. Montažna građnja naročito je pogodna kad se mostovi grade iznad postojećih cesta, jer tada nema skela koje smetaju prometu. Nije preporučljivo graditi suviše velike konzole za smještaj pješačkih staza, jer su tada rubovi ploča veoma opterećeni. Tada je potrebna deblja ploča i jača armatura na rubovima (sl. 7).

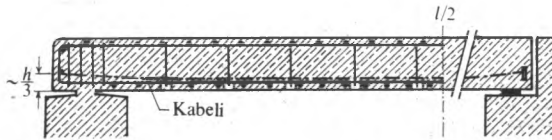


Sl. 7. Puna ploča s pojačanim rebrima

U estetskom pogledu povoljno djeluju trapezasti i zaobljeni presjeci, jer se, gledajući sa strane, vidi samo vijenac, pa konstrukcija izgleda vrlo vitka. One se proračunavaju uz pretpostavku da je srednji dio napregnut na savijanje i torziju.



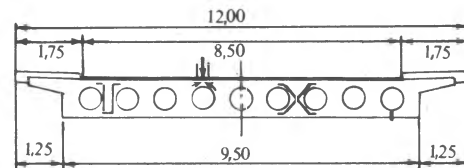
Sl. 8. Armatura ploče



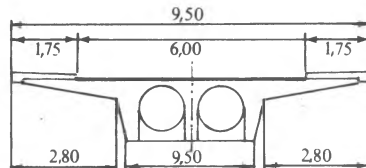
Sl. 9. Kabeli za prednaprezanje ploče

Kad se izvodi ploča s mekom armaturom, preporuča se poprečnu armaturu staviti ispod glavne armature u donjoj zoni, a iznad glavne u gornjoj zoni (sl. 8). Ta se armatura sastoji od profila s promjerom od 10...14 mm. Ako se ploče prednaprežu čeličnim užetom (kabelnim užetom, kabelom), ono se sidri u prostim gredama u donjoj trećini visine, a ne u težištu presjeka (sl. 9). Takav je položaj sidara bolji radi preuzimanja posmičnih naprezanja.

Šuplja ploča. Svrha je takvih ploča smanjenje vlastite težine. Primjenjuju se kad su debljine ploča veće od 70 cm (sl. 10). Šupljine mogu biti okrugle ili bilo kojeg drugog oblika. Statički proračun provodi se kao da su pune, uz uvjet da su poprečna rebra izvedena na međusobnom razmaku manjem od 7 m. Šupljine se izvode pomoću limenih ili kartonskih cijevi s izolacijom. Potrebno ih je usidriti da ih uzgon ne izbací iz njihova položaja (sl. 11).

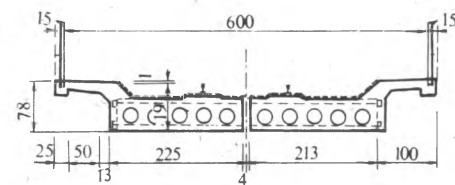


Sl. 10. Šuplja ploča

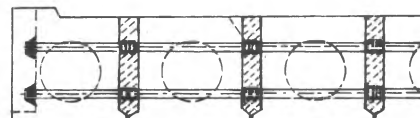


Sl. 11. Sidrjenje cijevi za izvedbu šupljina u pločama

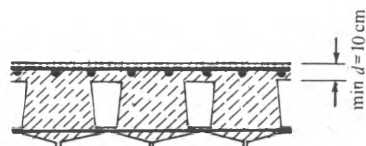
Montažna ploča. Danas se nastoji ostvariti industrijska građnja mostova. Prednost je takve izvedbe visoka kvaliteta, ušteda na oplati i skeli, brza građnja i slobodan gabarit ispod mosta za vrijeme gradnje. Izrađuju se od armiranog i od prednapregnutog betona prema rasponu i raspoloživim sredstvima za montažu (sl. 12). Montažna građnja osobito je razvijena u SSSR. Ploče se sastoje od užih dijelova čitave duljine. Međusobno se spajaju tako da se između njih ostavlja slobodan prostor širine 15...20 cm, koji se naknadno ispunja betonom (sl. 13). Drugi je način izvedbe, da se elementi tokom proizvodnje betoniraju tako da prethodni čini oplatu za sljedeći element. Istim se redom ugrađuju u mostnu konstrukciju. Međusobno su povezani na ležajima i u sredini kon-



Sl. 12. Montažna šuplja ploča za željeznički most



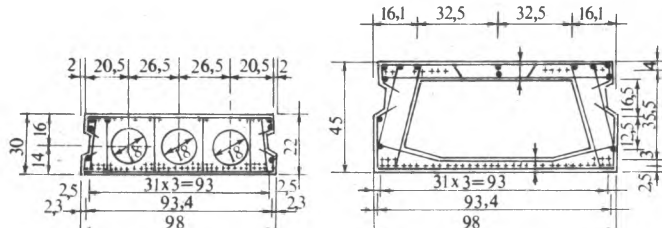
Sl. 13. Spajanje montažnih elemenata ploče



Sl. 14. Polumontažna izvedba ploče

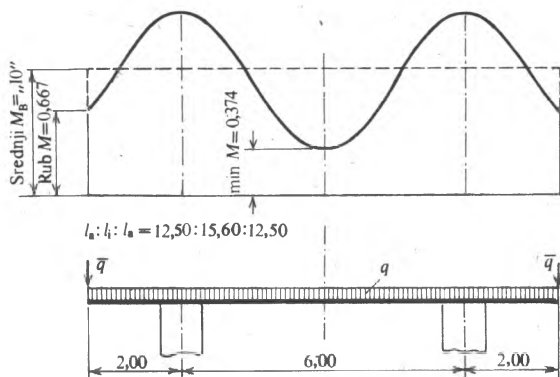
strukcije poprečnim kabelnim užetima. Mogu biti i bez tih veza, samo s uzdužnim zglobovima. Treći je način izrade nosača u obliku obrnutog slova T. Poslije njihove montaže, betonira se gornji dio ploče (sl. 14).

Suplje ploče izvode se u vrlo različitim oblicima (sl. 15).



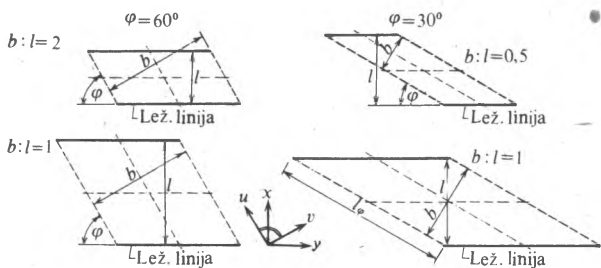
Sl. 15. Poprečni presjeci dvaju montažnih elemenata šupljih ploča

Kontinuirane ploče leže bez poprečnih spojnica na oba upornjaka, te na jednom ili više stupova. Iz statičkih razloga povoljno je da rasponi krajnjih polja iznose 80% od raspona srednjih polja. Proračunavaju se kao ploče ako je omjer širine i raspona manji od 2,5. Na temelju pokusa na modelima utvrđilo se da poprečna raspodjela ležajnih momenata, već prema tipu oslanjanja, jako varira (sl. 16).

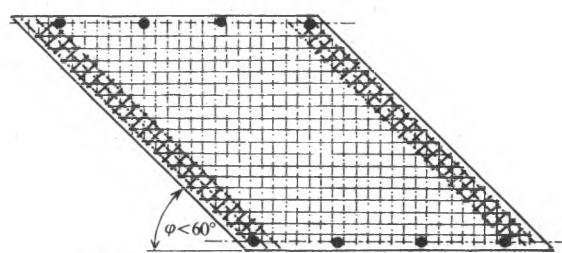


Sl. 16. Poprečna raspodjela ležajnih momenata u uzdužnom smislu kad je greda poduprta sa dva stupa

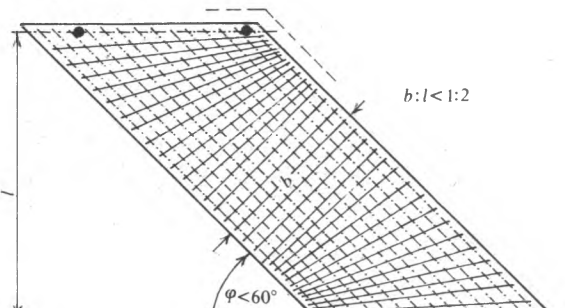
Kose ploče karakterizirane su kutom zakošenja φ te omjerom širine ploče b i raspona l (sl. 17). Za $\varphi > 60^\circ$ i $b/l \geq 0,5$ treba staviti armaturu paralelno s rubovima. Kad je $\varphi < 60^\circ$,



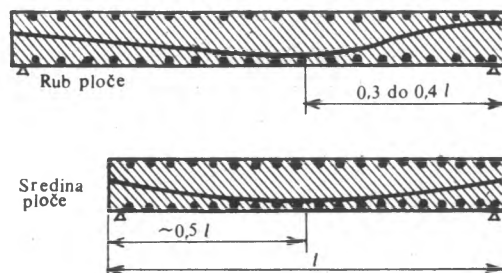
Sl. 17. Karakteristike kosih ploča



Sl. 18. Donja armatura ploče kad je kut $\varphi < 60^\circ$



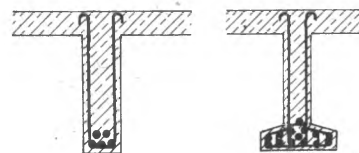
Sl. 19. Armatura uske ploče



Sl. 20. Smještaj kabala na rubu i u sredini kose ploče ($\varphi < 60^\circ$)

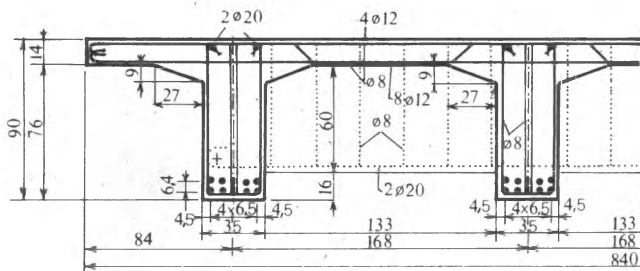
stavlja se glavna armatura okomito na liniju ležaja ili paralelno sa slobodnim rubovima, što ovisi o širini ploče, a razdjelna armatura okomito na glavnu (sl. 18). Slobodne rubove treba pojačati uzdužnom armaturom i vilicama. U uske ploče od prednapregnutog betona kabli se stavljaju paralelno sa slobodnim rubom, a poprečni okomito na njih (sl. 19). Kad je $\alpha < 60^\circ$, srednji se kabli postavljaju parabolično, dok oni uz slobodni rub mijenjaju zakrivljenost (zbog momenata upetosti u tupim kutovima ploče) (sl. 20).

Rebrasti presjeci. Poprečni presjek rebrastih nosača sastoji se od jednog ili više rebara međusobno povezanih kolovoznom pločom i poprečnim nosačima. To su vrlo ekonomične konstrukcije, osobito kad se pojavljuju pozitivni momenti. Gornja ploča služi ne samo za prijenos opterećenja u poprečnom smjeru na rebra, nego je ujedno sastavni dio gornjeg pojasa. Povoljna su svojstva takvih mostova relativno male količine betona, i čelika, odnosno kabala, mala težina koja opterećuje donji stroj, te mogućnost montažne gradnje. Mana im je komplikiranija oplata i armatura. Hrbat (sl. 21) mora biti što tanji,

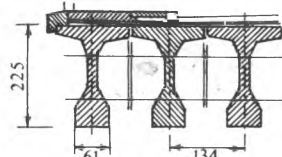


Sl. 21. Hrbat prednapregnutih betonskih nosača

koliko to dozvoljava debљina kabala, jer potrebna armatura nije ovisna o njegovoj debљini, i jer je opasnost od pukotina manja nego kad je hrbat debeo. Jačina donjeg pojasa za mostove od prednapregnutog betona mora biti tako odabrana da ne nastanu u njemu prevelika tlačna naprezanja, jer bi se zbog puzanja konstrukcija dizala u luku prema gore. U kontinuiranim nosačima najveći su negativni momenti, zbog kojih nastaje veliko tlačno naprezanje u donjem dijelu hrpta. Zbog toga se hrbat u donjem dijelu često proširuje u pojasc ili ploču. Kad se betonira na gradilištu, povoljniji je presjek bez proširenog pojasa. On se, međutim, isplati tek kad su nosači viši. Kad ima tri i više rebara, postavlja se poprečni nosač u sredinu, a kad su rebara vitka, dva poprečna nosača u trećinama raspona. Uzdužni nosači, koji su betonirani na gradilištu, nemaju proširenje donjeg pojasa (sl. 22), dok se montažni nosači izvode



Sl. 22. Uzdužni nosači bez proširenja donjeg pojasa



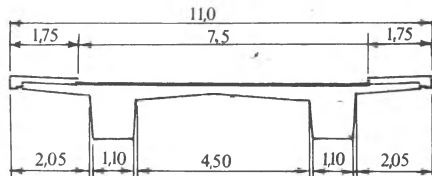
Sl. 23. Nosač s proširenim donjim pojasmom

s proširenim donjim pojasmom (sl. 23). Kadakad se izrađuje i kolovozna ploča od montažnih elemenata.

Rebrasti mostovi od armiranog betona danas se vrlo rijetko grade, jer su mostovi od prednapregnutog betona ekonomičniji. Upotreboom prednapregnutog betona smanjuje se opasnost od pojave pukotina, što osigurava njihovu trajnost. Osim toga, potrebno je manje materijala, pa su moguće vtične konstrukcije s malom konstruktivnom visinom.

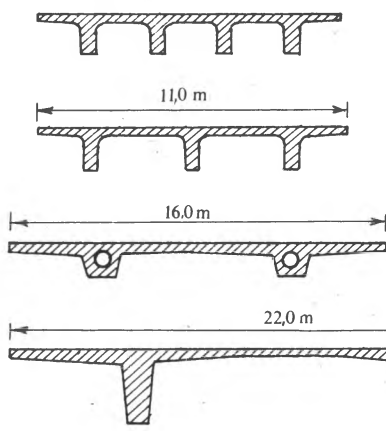
Ploča s jednim rebrrom primjenjuje se za pješačke mostove. Veliku pažnju treba tada posvetiti sprečavanju pojave pukotina, pa zbog toga valja ugraditi tanju armaturu.

Ploča s dva rebra najjednostavniji je i vrlo ekonomičan tip rebrastih mostova (sl. 24). Primjenjuje se za raspone od 20...35 m. Potrošnja betona iznosi $\sim 0,6 \text{ m}^3/\text{m}^2$ površine mosta. Rebra su napregnuta na savijanje i torziju. Poprečni nosači stavlju se samo uz upornjake na krajevima konstrukcije. Ako se poprečni nosači ugrade u polja između stupova, odnosno između upornjaka i stupova, poprečna se raspodjela opterećenja poboljšava, ali se komplikira gradnja.



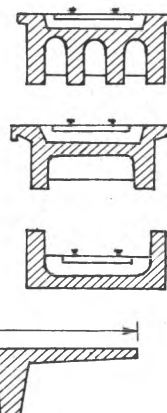
Sl. 24. Ploča sa dva rebra

Cestovni mostovi



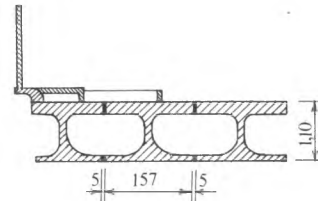
Sl. 25. Razvitak ploča s rebrima

Željeznički mostovi

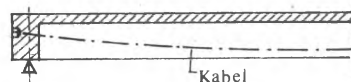


Ploča s više rebara. Tendencija razvoja upotrebe poprečnih presjeka ide u smjeru jednostavnosti izvedbe i smanjenja broja rebara (sl. 25). Za konstrukcije betonirane na gradilištu broj rebara ovisi o raspoloživoj konstruktivnoj visini. Što je, naime, manja visina, potrebno je više rebara. Za montažne konstrukcije, osim toga, broj rebara ovisi i o težini pojedinog nosača. Naime, što je teži nosač, potrebna je snažnija lansirna rešetka ili dizalica za njegovo ugrađivanje. Broj rebara, naravno, ovisi i o širini mosta. U nas se većinom primjenjuje montažna gradnja kad se most gradi od prednapregnutog betona. Za raspone 20...35 m i za mostove široke ~ 12 m upotrebljavaju se obično po 4 glavna nosača. Za raspone veće od 35 m povoljnije je rješenje sa 3 glavna nosača, ali tada su nosači teži. Mana je presjeka s malo rebara u tome što kolovozna ploča postaje deblja i teža (zbog povećanja raspona). Za velike raspone, veće od 8 m, potrebno je kolovoznu ploču poprečno prednapregnuti.

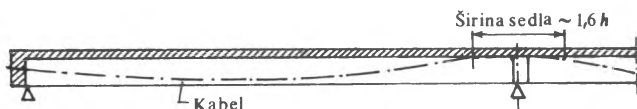
Presjeci s mnogo rebara, od montažnih nosača, primjenjuju se za raspone manje od 25 m (sl. 26). Kad se upotrebljavaju proste grede, treba kabele u sredini polja smjestiti što niže (sl. 27). Kabele u kontinuiranim nosačima valja voditi u poljima po paraboli, a iznad ležaja treba ih smjestiti što više (sl. 28). Radi osiguranja od pukotina treba predvidjeti dovoljno meke armature manjeg promjera.



Sl. 26. Montažni nosači

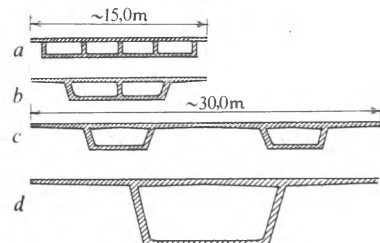


Sl. 27. Smještaj kabela za prednaprejanje u nosaču oslonjenom na dva ležaja



Sl. 28. Smještaj kabela u kontinuiranom nosaču

Sandučasti presjeci primjenjuju se skoro jedino za mostove s rasponom većim od 40 m, a kad su mostovi u krivini, i za raspone veće od 20 m. Oni su, naime, osobito pogodni za mostove u krivini zbog svoje relativno velike torzijske krutosti. Također su vrlo prikladni za prednapregnute kontinuirane nosače, jer donji pojasci, a pogotovo gornji imaju znatnu širinu.



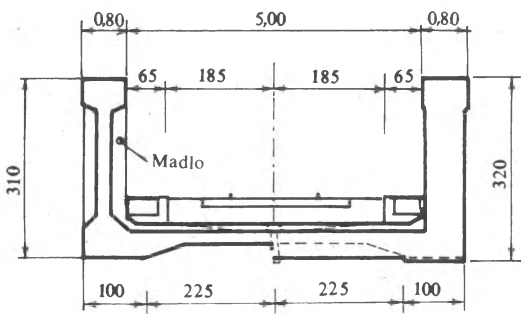
Sl. 29. Razvitak sandučastih nosača

Osim toga, debljina pojasnih ploča može se jednostavno prilagoditi momentima, a kabeli i armatura mogu se lako smjestiti u vlačni pojasci. Razvoj upotrebe poprečnih presjeka pokazuje da se upotrebljavaju sve jednostavniji presjeci (sl. 29). Pogodni su također za promjenljive širine, jer se sanduk i konzolne ploče mogu bez poteškoća širiti. Prednost je sandučastih pre-

sjeka, osim toga, u tome što nastaju male deformacije zbog puzanja, jer su naprezanja mala, pa su zbog toga osobito pogodni za konstrukcije od prednapregnutog betona. Za niske konstruktivne visine i velike širine primjenjuju se višecelijasti presjeci.

Iz estetskih i ekonomskih razloga hrptovi se obično zakosuju; nagib iznosi $10\cdots 25\%$. Minimalna je debљina donje ploče 12 cm, a debљina rebara 20 cm, uvećana za promjer zaštitne cijevi kabela. Debљina kolovozne ploče, određena na temelju proračuna, uvijek zadovoljava, ali ne smije biti tanja od 18 cm. Obično nije potrebno ugrađivati poprečne dijagrame osim na ležajima. Sandučasti presjeci primjenjuju se za konstrukcije betonirane na gradilištu i za montažne konstrukcije sastavljene od segmenata.

Koritasti presjeci imaju kolovoznu konstrukciju upuštenu između dva glavna nosača (sl. 30). Dobra im je strana da imaju malu konstruktivnu visinu, a manja im je mala tlačna zona glavnih nosača. Danas se primjenjuju za željezničke mostove, a za cestovne mostove samo izuzetno.

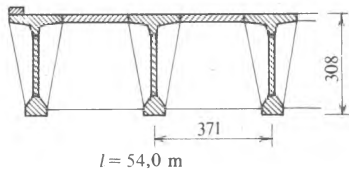


Sl. 30. Konstrukcija s upuštenim kolovozom

Montažni i polumontažni mostovi. Gradnja montažnih mostova započela je poslije drugoga svjetskog rata. Nastali su kao rezultat nastojanja da se štedi skela i oplata, da se skratiti vrijeme građenja, da se može graditi bez obzira na vrijeme i godišnje doba i da se podigne kvaliteta gradnje. Racionalna primjena montažnih objekata uključuje tipizaciju, gdje god je to moguće. Za montažnu gradnju osobito su pogodni dugački mostovi s jednakim rasponima. Veličina elemenata ovisi o postojećim gabaritima na putu od tvornice do gradilišta. Njihova težina, pak, ovisi o raspoloživim dizalicama i mogućnostima transporta. Montažni elementi mogu se izradivati na gradilištu ili u centralno smještenoj tvornici koja može posluživati više gradilišta. Ako se elementi izrađuju u tvornici, moraju se dopremati postojećim suhozemnim ili vodenim putovima. Ako se mogu upotrijebiti vodenim putovima, elementi mogu biti znatno teži. Pri gradnji mosta Oosterschelde (Nizozemska), npr., najteži elementi imali su 600 t; dopremani su vodenim putem, a montirani pomoću plovne dizalice.

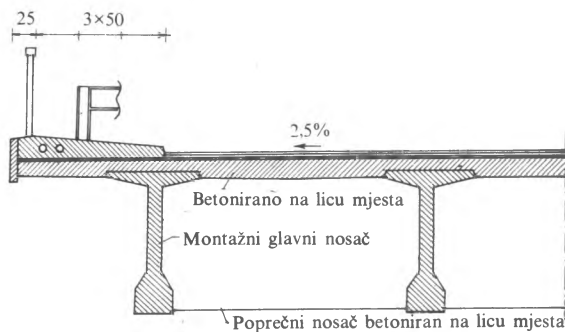
Razvitak takvih mostova započeo je u Francuskoj. Tipizacija je postigla visoku razinu u SSSR, ČSSR i Mađarskoj, gdje su izrađeni tipovi do raspona od 30 m, a u Poljskoj do raspona od 18 m. Montažni nosači rade se većinom od prednapregnutog betona i različitih presjeka. Za manje raspone to su pločaste izvedbe, eventualno s rupama. Za veće raspone, radi smanjenja težine, izrađuju se uglavnom od I-profilja (sl. 31). Gornji po-

jas je obično širi od donjega, a to je ujedno kolovozna ploča ako su nosači poredani jedan uz drugi ili samo njen dio ako su nosači razmaknuti (sl. 32). Montažni i polumontažni mostovi



Sl. 32. Razmaknuti montažni nosači

mogu se bez većih teškoća graditi i na kosim prijelazima i krivinama. Kad je most u krivini, vanjski se tlocrtni rubovi rade u krivini ili poligonalno. Razlika između montažnih i polumontažnih mostova je u tome što se montažni sastavljaju samo od montažnih dijelova, dok se polumontažni grade djelomično od montažnih elemenata, a ostali se dijelovi betoniraju na gradilištu (sl. 33). Kad se gradi montažno, gotovi uzdužni elementi stavljaju se jedan uz drugi, te se poprečno povezuju.

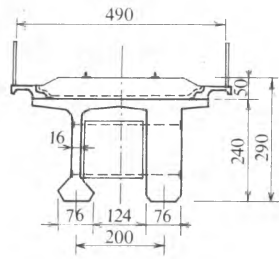


Sl. 33. Poprečni presjek polumontažnog mosta

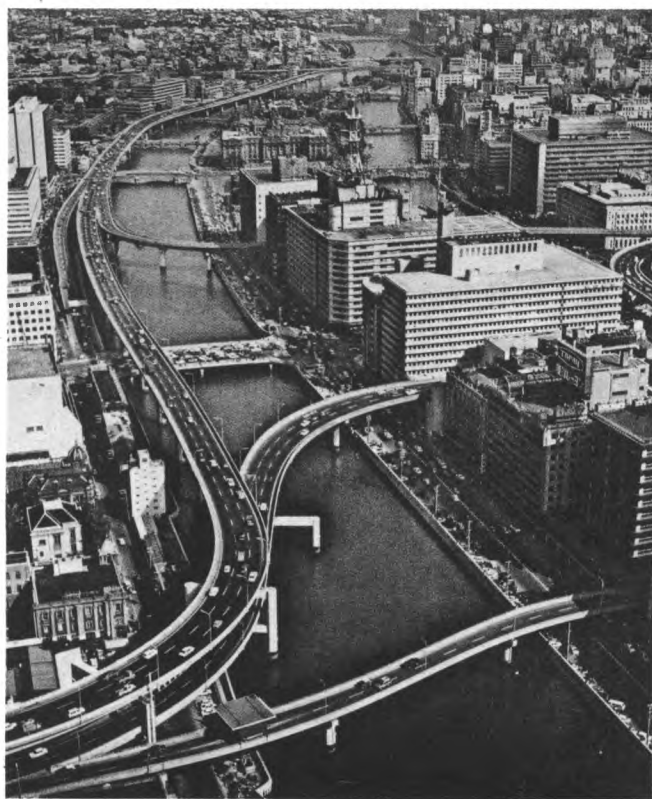
Takvi se elementi mogu i razmaknuti, ali se tada na njih sastavljaju gotovi elementi kolovozne ploče. Polumontažni mostovi imaju montažne glavne nosače, dok se kolovozna ploča i poprečni nosači betoniraju na gradilištu. Takvi se mostovi obično sastoje od izostatičnih sustava pločastog ili roštiljnog tipa. Dobra im je strana jednostavnost gradnje. Mane su: mogućnost racionalne primjene samo do raspona od 40 m, ograničene težine elemenata (zbog transportnih sredstava), potreba ugrađivanja poprečnih spojnica u kolniku, te neekonomičnost izostatičnih sustava s obzirom na kontinuirane. U posljednje vrijeme poprečne se spojnice izbjegavaju povezivanjem susjednih konstrukcija s kontinuiranim kolovoznim pločama. Takvo rješenje ima također svoje mane, a to su lom nivelete iznad stupova i mogućnost pojave pukotina na takvim pločama, koje su izložene velikim naprezanjima. Katkada se spomenuti izostatični sustavi pretvaraju u kontinuirane stvaranjem kontinuiteta. Čini se da je mnogo jednostavnije taj kontinuitet uspostaviti izvedbom u armiranom betonu, jer se taj proces znatno komplicira s prednapregnutim kabelima.

Da se izbjegnu spomenute mane, primjenjuje se izradba mostova u segmentima. Obično su takvi segmenti kratki s punim presjekom. Njihova duljina ovisi o kapacitetu transportnih sredstava. Segmenti se sastavljaju posebnim postupkom u kontinuirane mostove. Tada raspon nije bitan, te je, prema tome, moguće pomoći segmenata graditi mostove s velikim i malim rasponima. Segmenti su sandučastog presjeka.

Visoke ceste. Cestovni promet u velikim gradovima posljednjih desetljeća toliko je narastao da je bilo potrebno iznad postojećih ulica graditi nove ceste. Da se takvim cestama ne bi odijelile gradske četvrti, sastavljaju se na mostove koji se nazivaju visoke ceste (sl. 34). Često su visoke ceste dulje građevine. One su važan faktor u rješavanju gradskih križanja i prometa. S obzirom na troškove građenja, visoke su ceste najskuplji dio takvih građevina, a nasipi najjeftiniji. Međutim, odluka o tome da li treba graditi visoku cestu ili nasip, nije



Sl. 31. Željeznički most sa I-nosačima

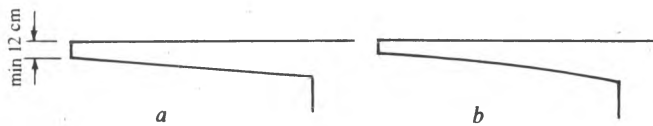


Sl. 34. Primjer visoke ceste

obično ekonomsko pitanje, već prometno-tehnički, estetski, urbanistički, socijalni i kulturni zahtjev. Visoke ceste moraju biti skladno uklopljene u ambijent kojim prolaze. Stoga je važno da su one vitke i lagane, što nije teško postići jer su to mostovi s rasponima 20...40 m. Najčešće su to građevine od armiranog betona. Posebna se pažnja posvećuje rasvjeti, osobito na križanjima.

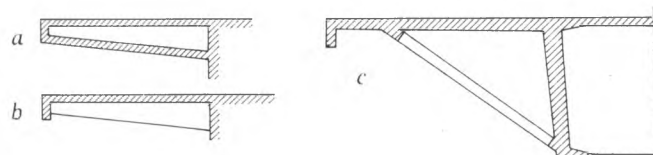
Konstruktivni elementi

Konzole, pješačke staze, vijenci. Konzole se za manje raspone izvode s konstantnom ili promjenljivom debljinom koja se može mijenjati linearno ili parabolički (sl. 35). Minimalna debljina na kraju konzole od armiranog betona iznosi 12 cm,



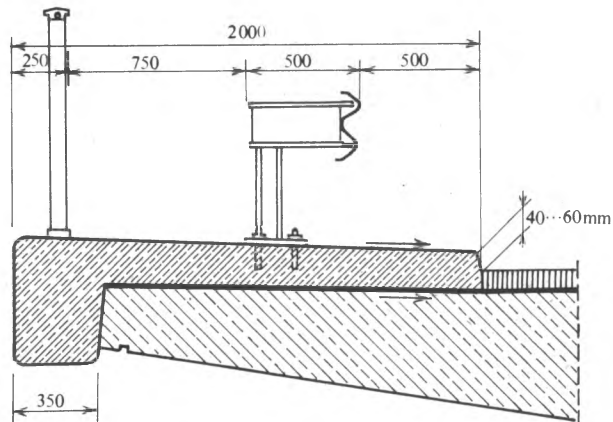
Sl. 35. Konzole manjeg raspona. a s linearnim, b s paraboličnim pojačanjem

a konzole od prednapregnutog betona 16 cm (radi usidrenja kabela). Za veće raspone mogu se izraditi sa šupljim presegom (sl. 36a), s poprečnim nosačima (sl. 36b) i s kosnicima (sl. 36c). U statičkom pogledu konzola ima dvije funkcije: prva, prijenos opterećenja u poprečnom smjeru na glavne nosače, i druga, da služi kao dio gornjeg pojasa glavnog nosača. Za nisive ploče raspon konzole iznosi 1...1,5 m, a za rebraste i



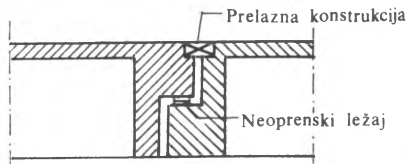
Sl. 36. Konzole većeg raspona. a šuplja konzola, b s poprečnim nosačima, c s kosnikom

sandučaste presjeke iznosi do 5 m. Na konzole se stavlja armirani beton pješačkih staza. Hodnik se na cestama s brzim prometom zaštićuje s unutrašnje strane elastičnim obojnicima, a s vanjske čeličnom ogradom. Za ceste s malim prometom i u naseljima nisu potrebni obojnici. Na hodniku s većim prometom stavlja se lijevani asfalt debljine 2 cm. Hodnik je izgrađen s poprečnim padom od 1...2% prema sredini mosta. Često se ispod hodnika stavljaju cijevi za smještaj energetskih i komunikacijskih kabela. Vjenac je ukras mosta i stoga mu se posvećuje posebna pažnja. Najljepši su vijenci iz montažnih elemenata. Međutim, oni se često izrađuju zajedno s betonom hodnika (sl. 37). Vjenac se postavlja na kraju gradnje kad je spuštena skela.



Sl. 37. Pješačka staza s vijencem

Zglobovi se po mogućnosti izbjegavaju, jer su to slaba mjesta u konstrukciji. Ne samo da je njihova izrada teška već je i održavanje skupo. Razlikuju se trajni (Gerberov nosač, sl. 38) i privremeni zglobovi, koji se naknadno zatvaraju. Proračunavaju se kao i kratke konzole, a ležaji se odabiru sa što manjim visinama. Na mjestu zglobova momenti u konstrukciji jednaki su nuli, pa djeluje samo poprečna sila.

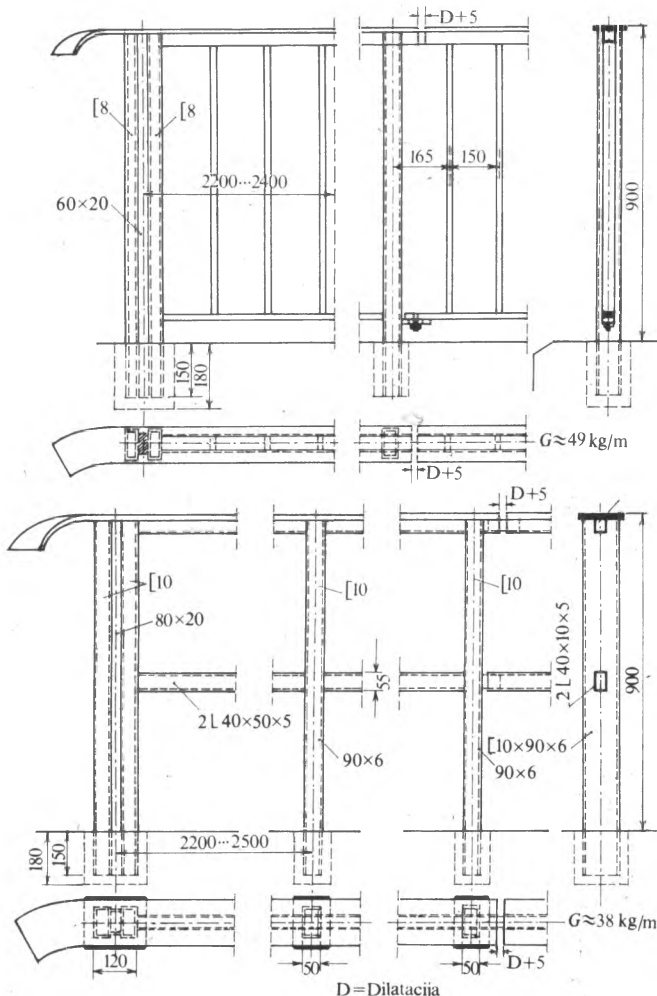


Sl. 38. Zglob na Gerberovu nosaču

Ograde na mostovima su većinom čelične. Dobra im je strana da su malih dimenzija i providne, a osim toga lako se montiraju. Ograda na mostu također je estetski element, pa se mora lijepo oblikovati i pažljivo ugraditi. Ima različitih tipova ograda (sl. 39). Na gradskim mostovima postavljaju se teže ograde, koje služe ne samo za sigurnost prolaznika već i za sigurnost vozila. Na otvorenim cestama ograde su lakše jer se tamo ugrađuju obojnici. Visina je ograde 0,9...1,1 m. Ispuna može biti vertikalna ili horizontalna. Ljepša je isputna s vertikalnim sprljcima. Razmak stupaca iznosi 1,2...2,5 m.

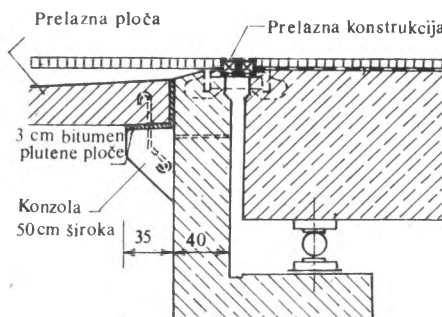
Obojnici služe za sigurnost vozila i sprečavaju ih da poprečno sidu s površine kolnika. Moraju biti tako konstruirani da ne odbace vozilo prilikom udara prema sredini kolnika i da postepeno preuzmu kinetičku energiju vozila. U nas se na cestama upotrebljava Neherov tip obojnika. U Francuskoj se primjenjuje obojnik koji se sastoji od betonskih elemenata povezanih uzdužnim prednapregnutim kabelom, a elementi su oslonjeni preko betonskih stupica na površinu hodnika. Ako vozilo udari u ogradu, ona se pomiče u poprečnom smjeru. Tom se pomicanju suprotstavlja trenje između stupica i poda sve dok se pomicanje ne zaustavi.

Prijelazna ploča. Nasip se iza upornjaka slijede, te tamo nastaju uleknuća koja su opasna za promet. Ta se uleknuća



Sl. 39. Dva tipa čelične ogradi

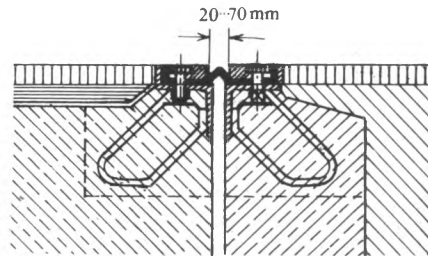
mogu spriječiti pomoću prijelaznih armiranobetonskih ploča (sl. 40) koje leže jednim krajem na upornjaku, a drugim na nasipu. Njihova duljina ovisi o očekivanom slijeganju i potrebama prometa. Nagib ploče ne bi smio biti veći od 1:200 na običnim cestama, a na auto-cestama najviše 1:350.



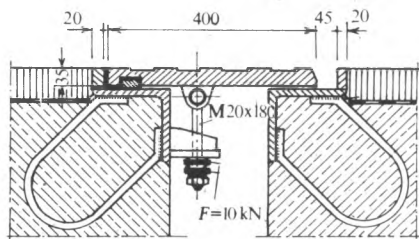
Sl. 40. Prijelazna ploča

Prijelazne konstrukcije. Zbog promjena temperature, stezanja i puzanja betona nosiva konstrukcija se rasteže i steže, te stvara veći ili manji otvor između svojih krajeva i upornjaka. Takvi se otvori premošćuju prijelaznim konstrukcijama. Njihov izbor ovisi o veličini rastezanja, odnosno stezanja. Prilikom prijelaza teških vozila prijelazne konstrukcije izložene su velikim dinamičkim udarima, a osim toga zbog trenja nastaju u njima velike sile. Zbog toga je važno da se dobro usidre i ugrade tako da nema ni najmanjih razinskih razlika. U praksi su se pokazale kao pogodne vodonepropusne prijelazne konstrukcije

(sl. 41). Osim njih, primjenjuju se i vodonepropusne čelične prijelazne konstrukcije (sl. 42). Ispod njih treba ugraditi žljbove za odvođenje vode koja prodire kroz njih. U SAD upotrebljavaju se prijelazne konstrukcije Transflex. Izrađene su od profilirane gume s vulkaniziranim čeličnim limovima. Debljina im je 55...130 mm. Mogu se upotrijebiti na mjestima gdje rastezanje nije veće od 300 mm.

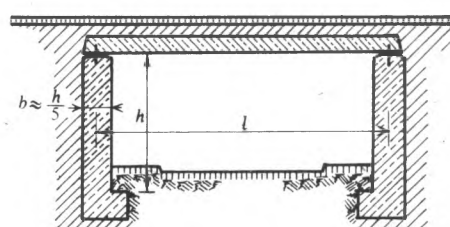


Sl. 41. Vodonepropusna prijelazna konstrukcija



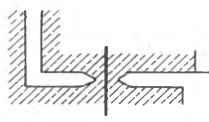
Sl. 42. Čelična prijelazna konstrukcija

Ležaji služe za prijenos vertikalne i horizontalne sile na upornjake i stupove, te za osiguranje mesta njihova djelovanja. Ležaji su nepokretni i pokretni. Nepokretni ležaji su nepomični, te preuzimaju na sebe, osim vertikalnih, sve horizontalne sile (kočna sila, sila otpora, sile trenja s pokretnih ležaja, vjetar, seizmičke sile). Budući da nosiva konstrukcija dilatira, potrebno je da su ostali ležaji pokretni. Oni prenose samo vertikalno opterećenje. Most preko jednog polja ima na nižoj strani nepokretni, a na višoj pokretni ležaj. Na malim mostovima raspona do 16 m mogu se na oba kraja izvesti nepokretni ležaji (sl. 43).

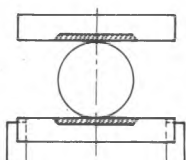


Sl. 43. Nepokretni ležaji za raspon 16 m

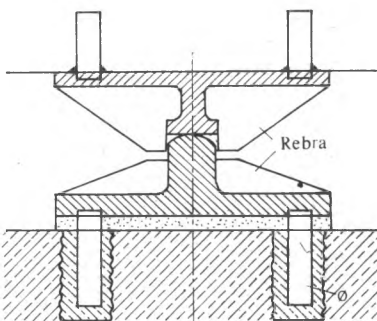
Razlikuju se linjski ležaji, koji preuzimaju sile na gornju i donju ploču na cijeloj duljini, i točkasti, koji preuzimaju djelovanje sile u točki. Točkasti se upotrebljavaju za široke mostove gdje je savijanje znatno i u poprečnom smjeru. Tada donja ili gornja ploča mora biti obrađena u obliku kuglinog odsječka. Linjski ležaji imaju jednu od ploča obrađenu u obliku odsječka valjka. Nejjednostavniji nepomični ležaj jest Freyssinetov armiranobetonski ležaj (sl. 44). Primjenjuje se i za vrlo velike mostove s reakcijom većom od 10 MN. Prije su se često ugradivali ležaji od lijevanog željeza (sl. 45), oni su, međutim, skupi i visoki. Mnogo su niži ležaji Corroweld (sl. 46), imaju na dodirnim plohama ugrađene slojeve od visokovrijednog čelika, zbog čega su dozvoljeni mnogo viši pritisci. Razvoj sintetskih materijala otpornih na starenje omogućio je izradbu novih vrsta ležaja, koji su skoro potpuno istisnuli čelične. Za klizne ležaje danas se više ne upotrebljava grafit već teflon. On ima vrlo nizak koeficijent trenja (0,03...0,05), koji opada



Sl. 44. Betonski ležaj

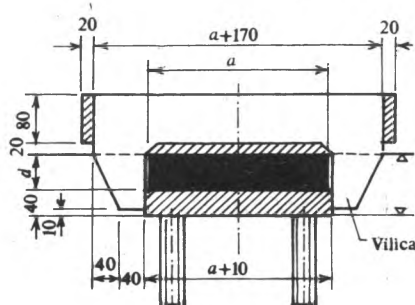


Sl. 46. Corroweldov ležaj



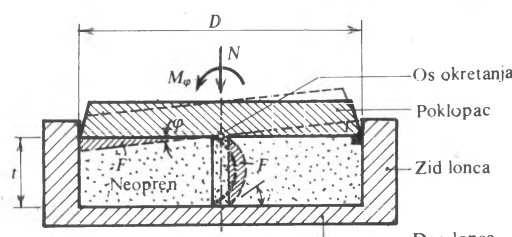
Sl. 45. Ležaj od lijevanog željeza

s povećanjem tlaka. Maksimalno dozvoljeno opterećenje iznosi $30 \dots 45 \text{ N/cm}^2$. Elastomerni ležaji nastaju vezivanjem čeličnih ploča sa slojevima neoprena. Izrađuju se od slojeva debljine 5-8 mm, od čega otpada 2-5 mm na ploču, a ostalo na neopren. Svaka tvrtka izdaje kataloge u kojima su podaci o dimenzijama ležaja i njihovim tehničkim karakteristikama. Oni su svestrano pokretni, no mogu se pretvoriti u nepokretnе ugradnjom čeličnih vilica (sl. 47). Zbog njihove elastičnosti koja se ostvaruje promjenom debljine, ležaji dozvoljavaju zaokretanje konstrukcije. Nepokretni neoprenski ležaji tzv. lonac-ležaji (rubber pot bearing) sastoje se od čeličnog lonca u kojem se nalazi neopren. Volumen neoprena uvijek ostaje konstantan.

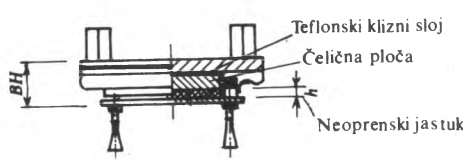


Sl. 47. Nepokretni neoprenski ležaj

Iznad njega nalazi se precizno rađena čelična ploča. Ležaj se zakreće spuštanjem poklopca na jednoj i dizanjem na drugoj strani (sl. 48). Izrađuju se također klizni ležaji s teflonom kao kliznim slojem (sl. 49). Klizne površine mažu se, radi smanjenja trenja, silikonskom mašču. Trajnost tih ležaja iznosi više od 50 godina. Mogu se izraditi kao pokretni u jednom ili dva smjera. Dalji je razvitak takvih ležaja njihova kombinacija s malim valjcima. E. Schönhöfer razvio je svestrano pokretni ležaj, koji se sastoji od mnogo kuglica promjera 2,0 cm od

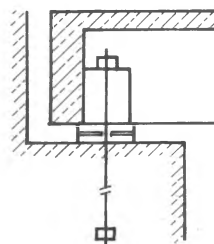


Sl. 48. Osnova djelovanja neoprenskog lonac-ležaja



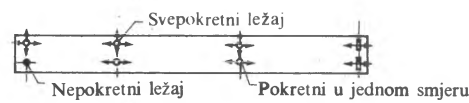
Sl. 49. Neoprenski lonac-ležaj

visokovrijednog čelika, smještenih u čeličnu kutiju ispunjenu mašču. Na kuglice oslanja se gornja ploča. Vrijedno je još spomenuti čelične ležaje sustava Pendel, te ležaje u obliku kalote. Za negativne reakcije izvode se posebni ležaji (sl. 50).

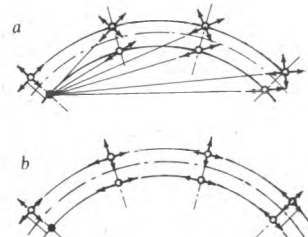


Sl. 50. Ležaj za negativnu reakciju

Oslanjanje mosta. Za mostove s više polja nepokretni se ležaji postavljaju na srednji stup ili na jedan od upornjaka. Ostali ležaji su pokretni u jednom ili u dva smjera. Široki mostovi imaju na jednoj strani nepokretni ležaj i ostale pokretnе u jednom smjeru, a na drugoj svih su ležaji pokretni u svim smjerovima (sl. 51). Uski most u pravcu ne treba ležaje pokretnе u svim smjerovima. Ležaji mostova u krivini mogu se smjestiti polarno polazeći od nepokretnog ležaja (sl. 52a), ili tangencijalno (sl. 52b). U statičkom pogledu bolje je polarno rješenje jer nema sila prisile. Jednostavnija je, međutim, ugradba tangencijalno smještenih ležaja. Mana im je da se u ležajima javljaju sile prisile koje ne dozvoljavaju konstrukciji da se pomiče slobodno, već samo kroz određene točke (ležaje).



Sl. 51. Razmještaj ležaja

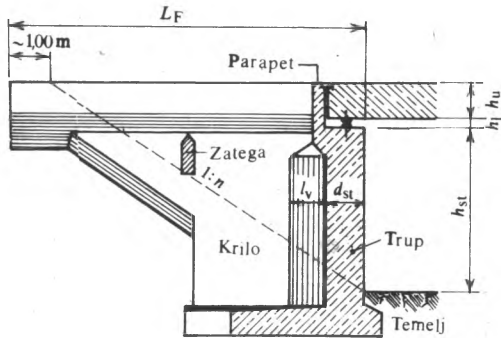


Sl. 52. Smještaj ležaja na mostu u krivini. a polarni, b tangencijalni smještaj ležaja

Donji stroj

Upornjak služi da prenese vertikalno i horizontalno opterećenje s konstrukcije na tlo, te da zajedno s krilima pridržava nasip prilaznih rampi. Zatvara s jedne strane nasip prema mostu, a s druge podupire kraj nosive konstrukcije. Nekad su se upornjaci izrađivali od kamena ili cigle. Danas se većinom izrađuju od armiranog betona. U praksi postoji bogati izbor rješenja. Na rješenje utječe i smještaj mosta (most u gradu ili na otvorenoj prometnici). Ako je most u gradu, rješenje treba biti bogatije. Upornjaci moraju zadovoljiti i estetskim zahtjevima, s obzirom na odnos masa, vanjski izgled i uklapanje u okoliš. Tada su upornjaci i znatno komplikiraniji, jer osim osnovnim funkcijama mogu služiti kao spremišta, zasunske komore, dučani, prostorije za vodove itd. U njih su obično ukomponirane stepenice za komunikaciju između mosta i donjih prometnika. Za male mostove raspona manjeg od 16 m, odnosno manjeg od 25 m, kad su potrebni mali temelji i kad tlo nije prevrdo, postavljaju se nepokretni zglobovi na oba upornjaka. Nosiva konstrukcija tada preuzima dio potiska zemlje te ga prenosi na drugi upornjak. Upornjaci se tada

računaju kao nosači koji su dolje ćupeti, a gore zglobovno oslojeni. Tako se postiže velika ušteda betona i armature. Sastavni dijelovi upornjaka jesu temelj, trup ili stup upornjaka, ležišna klupa, kvaderi, parapetni zid, krila, te eventualne zatege (sl. 53).

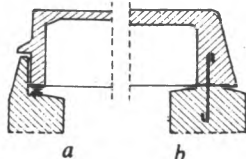


Sl. 53. Upornjak

Temelji mogu biti plitko ili duboko fundirani. Duboko fundirani temelji rade se većinom na bušenim armiranobeton-skim pilotima, a i na zabijenim pilotima, zdencima i kesonima.

Trup upornjaka obično je armiran obetonska stijena. Umjesto trupa postavlja se, kad su upornjaci utopljeni u nasipu, dva ili više stupova, što ovisi o širini mosta.

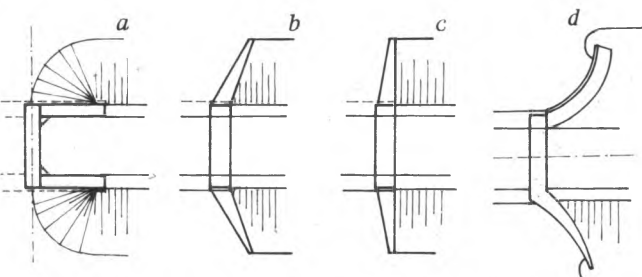
Za mostove manjih raspona nije potreban parapet (sl. 54). Katkada se parapetni zid stavlja do ispod kolovozne ploče.



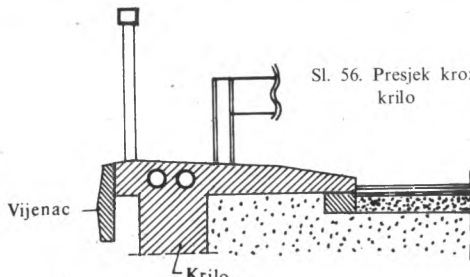
Sl. 54. Upornjak s niskim parapetom (a) i bez njega (b).

Gornja površina ležišne klupe ima, radi odvodnje, lagani pad prema parapetu, uz koga je rigol.

Iz estetskih razloga krila se rade većinom paralelno. Za manje mostove, propuste ili u specijalnim okolnostima krila mogu biti kosa, okomita ili lučna (sl. 55). Često se izrađuju viseća krila, koja su vrlo ekonomična zbog malih potrebnih količina materijala. Kad su paralelna krila dugačka, dobro ih je spojnicom odvojiti od trupa upornjaka. Da se smanje dimenzije krila, primjenjuju se za uske mostove horizontalne zatege.



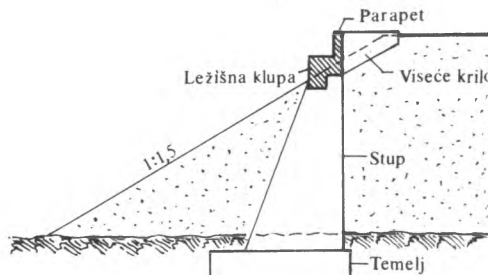
Sl. 55. Vrste krila. *a* paralelna, *b* kosa, *c* okomita, *d* lučna krila



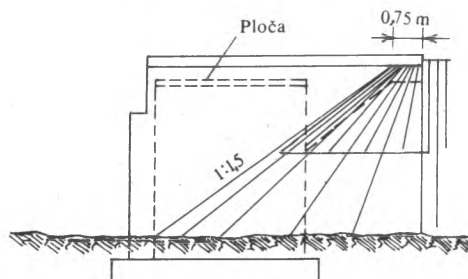
Sl. 56. Presjek kroz

Budući da pješačke staze, ograde, odbojnici i zaštitne trake, eventualno različiti vodovi, prelaze preko krila, presjeci se krila moraju adekvatno oblikovati (sl. 56).

Krajnji stupovi okvirnih mostova ujedno su i upornjaci. Za neke mostove, te nadvožnjake iznad auto-cesta i cesta, gdje je veoma važna vidljivost, postavljaju se upornjaci koji se skoro čitavom visinom nalaze u nasipu (sl. 57). Takvo rješenje ne samo da osigurava veću vidljivost već i prozračnost, a građevina postaje vitkija i laganija. Upornjak se tada sastoji od temelja, koji može biti samac ili ploča, dvaju ili više stupova, ležišne grede, kvadera, parapeta i visećih krila. Prednost je takvih upornjaka u tome što trebaju malo betona, te su stoga lagani i jeftini. Mana im je da se nosiva konstrukcija toliko produljuje koliko je upornjak uvučen u nasip. Osim toga,

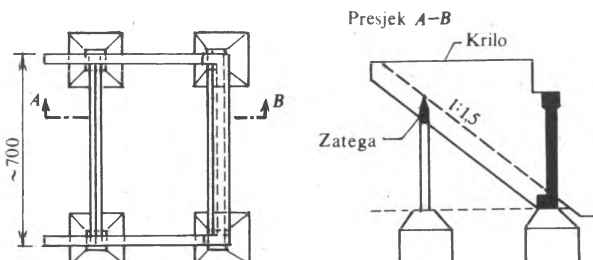


Sl. 57. Utopljeni upornjak

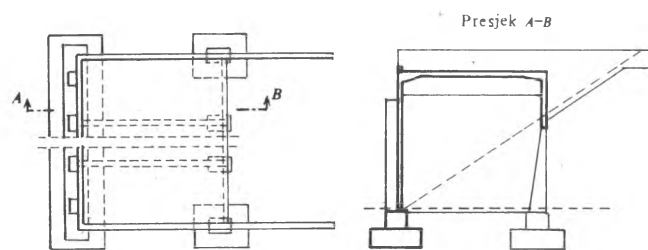


Sl. 58. Izvučeni upornjak

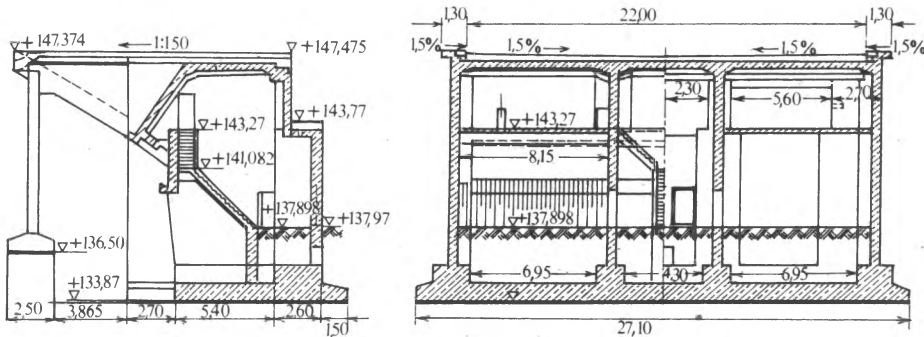
izrađuju se upornjaci kojima je zajedničko to što su izvučeni iz nasipa, tako da se prednja ploha upornjaka nalazi nešto ispred sastava stoča i terena (sl. 58). Razlikuje se otvoreni tip i zatvoren tip upornjaka. Prvi je odozgo otvoren, dok je drugi zatvoren kolovoznom pločom, koja ujedno povezuje međusobno oba krila i parapet. Nekad su otvoreni upornjaci bili masivni, bez armatura, s vrlo mnogo betona i velike težine. Danas se



Sl. 59. Otvoreni upornjak



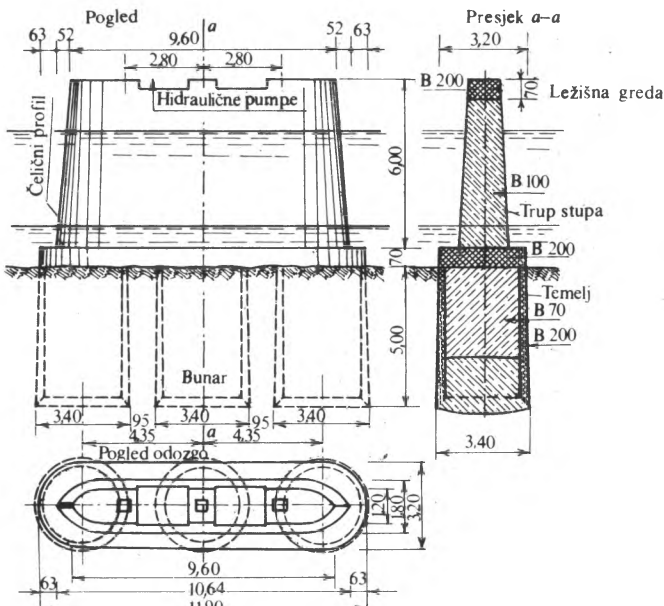
Sl. 60. Zatvoreni upornjak



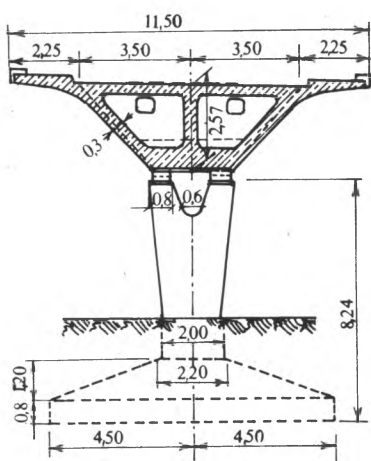
Sl. 61. Tornisterov upornjak

grade raščlanjeni upornjaci s tankim dimenzijsama elemenata od armiranog betona (sl. 59). Kad su dulja krila, primjenjuju se poprečne zatege radi smanjenja momenata u krilima od zemljinih potiska. Zatvoreni upornjaci (sl. 60) imaju prednost nad otvorenima, jer na njih djeluje mnogo manji pritisak tla u osi mosta i na krilima. Upornjaci Tornister (sl. 61) pripadaju kategoriji zatvorenih upornjaka. Da se smanji duljina krila, prave se zidići koji podupiru čunjeve upornjaka.

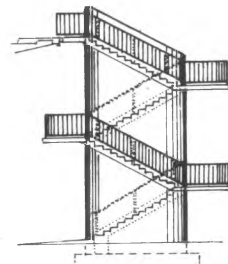
Za komunikaciju između mostova na cestama s brzim prometom i ostalim prometnicama koje oni prelaze, služe posebne stepenice (sl. 62).



Sl. 63 Stup temeljen na bunarima



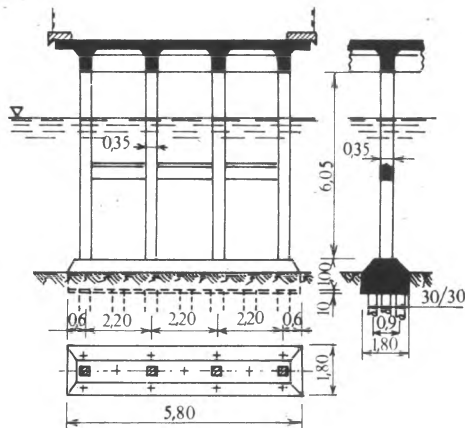
Sl. 64. Jednodijelni stup



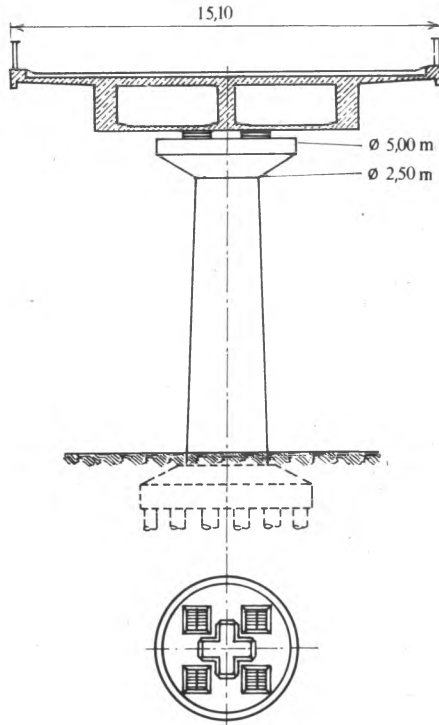
Sl. 62. Stepenice na upornjaku

Stupovi služe da prenesu vertikalno i horizontalno opterećenje s konstrukcije na tlo. Izrađuju se od betona ili najčešće, od armiranog betona. Sastavni su dijelovi stupišta temelj, stup, ležišna greda i kvader (sl. 63).

Oblik temelja zavisi o dubini temeljenja i nosivosti tla, o vrsti temeljenja (piloti, bunari, kesoni), te eventualno o dubini vode. Stupiste se moze sastojati od jednog (sl. 64) ili dva zida, odnosno jednog ili više stupova (sl. 65). Na plovnim rijekama,

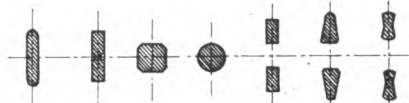


Sl. 65. Stupište sa četiri stupa



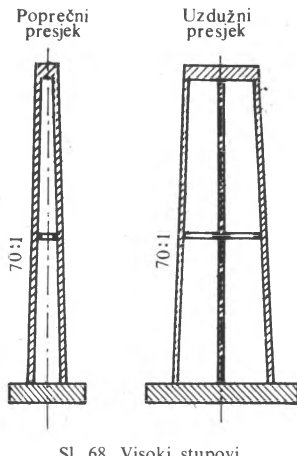
Sl. 66. Jaki jednodijelni stup

gdje je moguć udar brodova u stup ili na rijekama na kojima plovi led, grade se jaki jednodijelni stupovi (sl. 66). Plohe stupova mogu biti vertikalne, ili blago nagnute u jednom ili u oba smjera. Gdje voda nosi šljunak ili pijesak, valja plohe obložiti otpornim kamenom. Stupovi u rijekama, osobito brzim rijekama, treba da imaju hidrodinamički presjek da se oko njih ne bi stvarali vrtlozi i da stvaraju što manji uspor. Zbog toga imaju presjeke uzvodno i nizvodno zaobljene ili šiljaste (sl. 67).



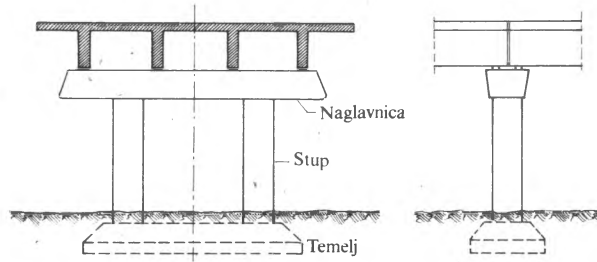
Sl. 67. Presjeci stupova i stupišta

U poplavnim područjima i kad su visine malene ne preporučuje se graditi jednodijelne široke stupove, jer djeluju teško i zaklanjavaju vidič. Bolje djeluju stupišta s uskim jednodijelnim stupom ili s dvije uske stijene. Visoki stupovi vijadukata zbog statičkih razloga većinom su jednodijelni i šuplji s jednom ili više komora (sl. 68). Debljina stijenki iznosi $20\cdots 30$ cm. Vertikalna armatura osigurava se protiv izvijanja s kukama u obliku slova S. Vanjske plohe izrađuju se u nagibu $\sim 1:70$. Radi jednostavnosti često su i vertikalne. Stupovi se ukrućuju poprečnim okvirima, koji ujedno služe kao podešti. Kad se grade stupišta sa stupovima, nastoji se što više ograničiti broj stupova u poprečnom presjeku. Zbog toga se odabire dva ili najviše tri stupa u jednom stupištu. Kad se grade torzijsko krute nosive konstrukcije, može se odabrati jedan stup, koji svojom krutošću na savijanje preuzima dio torzijskih momenata. Stupovi mogu imati raznovrsne presjeke, koji su konstantni ili se mijenjaju prema visini stupa.



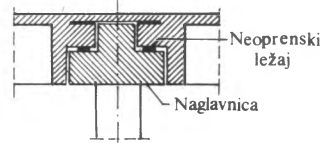
Sl. 68. Visoki stupovi

S montažnom gradnjom razvili su se novi oblici stupova. Njihova je bit u primjeni naglavnice, koja je kruto vezana s jednim ili više stupova. Naglavnica, koja može biti i montažna,

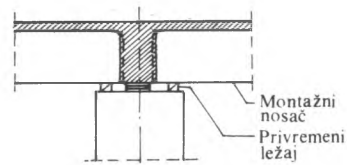


Sl. 69. Naglavnica ispod nosača

postavlja se često ispod uzdužnih nosača (sl. 69). Ljepše je rješenje, međutim, kad je naglavnica upuštena u konstrukciju (sl. 70). Kad se upotrebljavaju privremeni ležaji za nosače dvaju

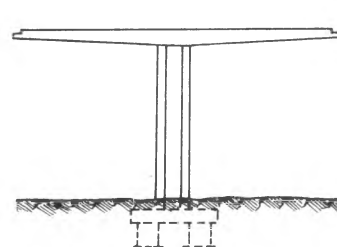


Sl. 70. Naglavnica upuštena u nosač

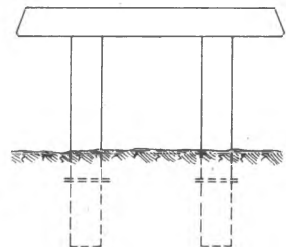


Sl. 71. Uspostavljanje kontinuiteta između susjednih montažnih konstrukcija

polja, može poprečni nosač služiti i kao naglavnica. Takvo se rješenje primjenjuje kad se izostatični pretvaraju u kontinuirane sustave (sl. 71). U monolitnim konstrukcijama često poprečni nosač iznad stupa ima i ulogu naglavnice. U Italiji se dosta primjenjuju konzolni stolovi (sl. 72). Naglavnica, koja je kruto povezana sa stupom, proširuje se na obje strane tako da rasponi montažnih konstrukcija postaju kraći i nosači lakši, što olakšava njihovu montažu. Dobra je strana toga rješenja jednostavnost gradnje, a mana spojnice u kolniku, te veći utrošak betona i armature.



Sl. 72. Konzolni stol



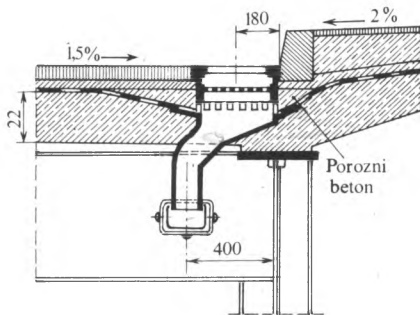
Sl. 73. Produljenje pilota u stup

U okvirnim mostovima nosiva konstrukcija i stupovi monolitno su povezani. Stupovi su katkada okvirne konstrukcije u poprečnom smislu. Kad su mostovi temeljeni na pilotima, oni se ponekad produljuju do naglavnice, te tako postaju stupovi (sl. 73). Naglavnice i kvaderi armiraju se posebnom armaturom.

Temeljenje. Za izbor ekonomičnog temeljenja bitni su sljedeći uvjeti: dubina nosivog tla i njegova svojstva (dopušteno naprezanje, koeficijent trenja, slijeganje itd.), svojstva slojeva ispod nosivog tla i njihova stišljivost, i raspoloživo vrijeme za temeljenje. Pri temeljenju mostova primjenjuje se plitko temeljenje, temeljenje na pilotima, bunarima i kesonima. Najeffektivnije i najjednostavnije je plitko fundiranje, ako nosivo tlo leži plitko i ima nosivost od najmanje 10 N/cm^2 . Inače, danas se za duboko temeljenje upotrebljavaju većinom piloti, osobito bušeni piloti, s promjerom $50\cdots 250$ cm. Temeljenje na bunarima i kesonima primjenjuje se u izuzetnim okolnostima i za velike mostove.

Odvodnja. Pravilo je da se voda odvede s građevine najkratćim putem. Voda je neprijatelj građevina, osobito kad se zimi pomiješa sa solju kojom se posipavaju ceste. Za dobru odvodnju poprečni pad na mostu mora iznositi najmanje 2%. Voda se skuplja pomoću poprečnih i uzdužnih nagiba u slivnike, a odatle neposredno na tlo ili žljebovima do kanalizacije, vodotoka i sl. Slivnik površine $300\cdots 400 \text{ mm}^2$ može odvesti vodu sa 400 m^2 površine mosta. Kad je poprečni nagib 2%, međusobni razmak slivnika ovisi o uzdužnom nagibu: za uzdužni pad 0,2...0,5% razmak treba da iznosi $5\cdots 10$ m, za uzdužni pad 0,5...1% razmak iznosi $10\cdots 25$ m, i za pad veći od 1% razmak je $20\cdots 25$ m. Slivnici moraju biti osposobljeni da

prime, osim oborina s kolnika, i vodu koja je prodrla do izolacije. Razlikuju se slivnici na kolniku uz rubnjak i oni ugrađeni u rubnjake (sl. 74). Voda iz žljebova odvodi se vertikalnim cijevima uz stup ili upornjak. Procjedna voda koja se skuplja na gornjoj površini izolacije odvodi se posebnim slivnicima promjera 50 mm. Na približno 70 m² površine postavlja se jedan takav slivnik. Voda s upornjaka odvodi se na njegovoj stražnjoj plohi, gdje su predviđeni posebni betonski rigoli. Odатle se voda posebnom cijevi promjera 150 mm protiče u kanalizaciju, na okolni teren ili na kolnik ceste.



Sl. 74. Slivnik ugrađen u rubnjak

Izolacija. Budući da ni lijevani asfalt nije nepropustan, nosive konstrukcije moraju se zaštiti od agresivnih voda. Kao materijal koji se stavlja između aluminijskih i bakrenih folija, te folija od sintetskih materijala najbolje se pokazao mastiks. Nanosi se u debljinu od 10–15 mm na parnu branu od staklenog voala (staklenog pletiva). Zapaženo je, međutim, da stakleni voal djeluje kao drenaža i raznosi štetne materijale. Zato neki stručnjaci preporučuju da se umjesto voala postavi sloj epoksidne smole. Da se smanji tlak pare ispod izolacije, ugrađuju se plastične cjevčice promjera 20 mm, i to jedna cjevčica na 7 m² površine kolnika. Plohe upornjaka i stupova, koje su u dodiru s tlom također se zaštićuju izolacijom, koja se sastoji od jednog hladnog i dva vruća premaza. Izolacija se zaštićuje slojem cigle i procjednim slojem od šljunka i grubog pijeska.

Gradnja grednih mostova

Predviđeni način gradnje mnogo utječe na dispoziciju, poprečni presjek, te na iznos troškova građenja mostova. Do polovice ovog stoljeća masivni mostovi gradili su se skoro jedino na drvenim skelama, a betoniralo se na gradilištu. Zbog pomanjkanja drveta i radne snage, te skupih i često vrlo komplikiranih skela, mostograditelji su morali pronalaziti druga rješenja da bi zamijenili konvencionalne skele. Za gradnju manjih mostova na suhom, s uspjehom se upotrebljavaju skele od čeličnih cijevi. Kombinacije jarmova od čeličnih cijevi, te čeličnih valjanih ili rešetkastih nosača pokazale su se također kao vrlo ekonomična rješenja. Međutim, ponekad upotreba takvih skela može biti neprikladna, kao npr. pri prijelazu dubokih jaruga, vodenih tokova, osobito ako se radi o plavnom putu. Takve skele mogu imati negativan ekološki utjecaj na okoliš i mogu sprečavati kretanje životinja. S razvitkom upotrebe prednapregnutog betona, razvijale su se i metode građenja koje su imale zajednički cilj što više pojednostavniti, pojestiniti i ubrzati gradnju. Novi postupci brzo su se razvijali, pa taj razvoj još i danas traje. Čini se da za sada nema i da uskoro neće biti novih i revolucionarnih ideja u gradnji mostova, te da se napredak masivnih mostova očituje u napretku tehnologije građenja. Za srednje i velike raspone razvilo se građenje nosivih konstrukcija sa segmentima. Takvo građenje uklanja sve spomenute mane betoniranja na čvrstim skelama.

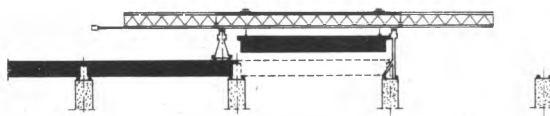
Metode izradbe mogu se svrstati u dvije grupe. U nekim zemljama više se gradi s gotovim segmentima, u drugima sa segmentima betoniranim na gradilištu, no u većini zemalja primjenjuju se obje metode, što ovisi o lokalnim prilikama. Prednost izradbe s gotovim segmentima očituje se u njihovoj

kvaliteti i brzini izradbe. Mana je da se zahtijeva puno prednaprezanje i velika preciznost izradbe, da meka armatura ne prolazi preko spojnica, da se sučene plohe moraju premaživati epoksidnim smolama, te da je teža doprema jer se radi o teškim elementima. Kad se segmenti betoniraju na gradilištu, nema spomenutih nedostataka, ali mane su takva postupka slabija kvaliteta betona, jer se betonira na gradilištu, i manja brzina izradbe.

Postupci s montažnim (gotovim) elementima. Mostovi malih raspona katkada se grade montažno s gotovim elementima. Takvi elementi mogu biti nosač, dio kolovozne ploče ili čitava konstrukcija jednog polja. Preko jezera Portchartrain (SAD) izgrađen je takav most dug 38 km, koji ima raspone konstrukcije od 17 m. To su izostatične konstrukcije s poprečnim spojnicama iznad stupova, koje su montirane pomoću plovne dizalice. U eri obnove poslije drugoga svjetskog rata Francuzi su gradili montažne i polumontažne mostove. Gotovi nosači i ostali elementi na niskim mostovima montiraju se pomoću autodizalice (sl. 75), a na visokim mostovima pomoću čeličnih lansirnih rešetki (sl. 76). Takva izradba mostova racionalna je do raspona od oko 40 m.



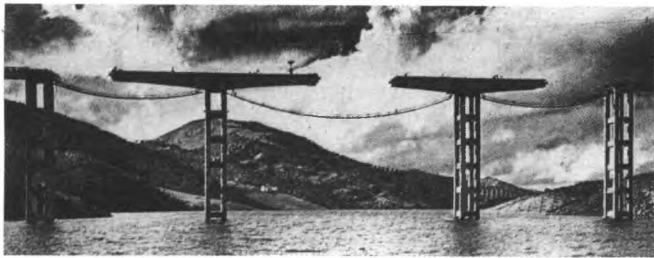
Sl. 75. Montaža nosača



Sl. 76. Montaža nosača pomoću lansirne rešetke

Za veće raspone elementi postaju preteški, te je tada pogodnije ugrađivanje segmenata. Segmenti se izrađuju obično u punom presjeku, male duljine. Betoniraju se na gradilištu ili u tvornici, tako da je čelo prethodnog elementa opala sljedećeg elementa. Segmenti se ugrađuju istim redom kojim su betonirani. Spomenuti ciklus se ponavlja do završetka izradbe svih segmenata. Veličina i težina elemenata ovisi o jačini dizalice, o troškovima za oplate, o gabaritu i o dozvoljenom opterećenju ceste. Težina je elemenata u stalnom porastu. Tako je npr. segment duljine 25 m za most preko Seine u Choisy le Roi kod Pariza, građen 1962. godine, težio 28 t, dok je segment mosta Saint Cloud, sagrađen 1972. godine, duljine 2,25 m težio 146 t. Prije montaže namažu se čone plohe segmenata epoksidnim premazom. Segmenti se prednaprežu nakon njihove montaže u definitivni položaj. Metode izradbe segmenata opisat će se u sljedećim dijelovima članka, jer principijelno nema razlike da li se radi o gotovim segmentima ili segmentima betoniranim na gradilištu.

Balansni postupak vrlo je pogodan za građenje mostova s malo polja i velikim srednjim rasponima (sl. 77). Sastoji se u



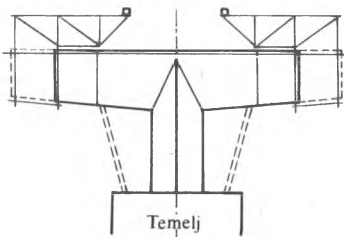
Sl. 77. Primjer balansnog postupka

konzolnoj izradbi nosive konstrukcije pomoću segmenata na principu vase. Počinje se obično od prvog stupa konzolno na obje strane, držeći ravnotežu, dok konstrukcija ne stigne s jedne strane do sredine raspona, a s druge strane do upornjaka. Taj se postupak ponavlja do završetka mosta. Prilikom izrade segmenata može se dogoditi da je jedna konzola jače opterećena od druge. Razliku momenata s obje strane mora tada preuzeti stup, na koji se usidri gornja konstrukcija privremenim sidrima, ako nije kruto spojena sa stupovima. Druga je mogućnost da se stabilnost postigne privremenim poduporama s jedne ili s obje strane (sl. 78). Tok gradnje je sljedeći: poslije izrade

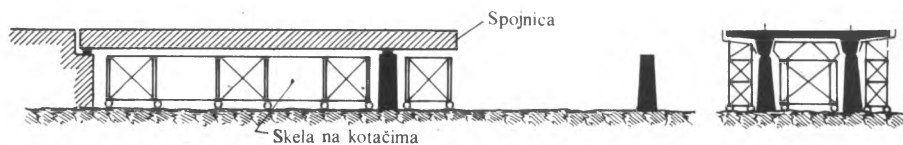
prednaprezanja te da uzdužna meka armatura prelazi spojnice, koje tako mogu bespriječno prenositi posmična i torzijska naprezanja.

Balansni postupak s lansirnom konstrukcijom. U primjeru balansnog postupka pojavljuju se poteškoće zbog vertikalnog transporta materijala i ljudi kod svakog stupa. Te se manjkavosti uklanjanjuju upotrebom lansirne konstrukcije (sl. 80). Tada su košare obješene na lansirni nosač zajedno sa svježe betoniranim segmentom. Nakon njegova očvršćenja i prednaprezanja obje košare putuju za jedan segment dalje. Postupak se ponavlja sve dok se nosiva konstrukcija ne spoji s jedne strane s već gotovom konstrukcijom, a s druge strane dok ne dođe do sredine otvora. Tako je također omogućeno da se duljina segmenta poveća. Lansirna konstrukcija služi i za horizontalni transport. Spomenuti postupak pokazao se vrlo prikladan za mostove s mnogo otvora, koji su veći od 50 m.

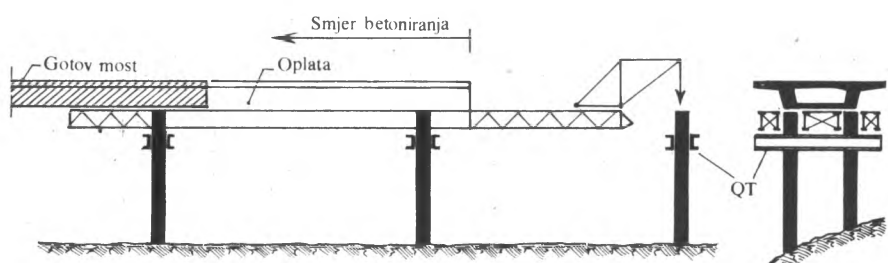
Izvedba po poljima. Ako je niveleta relativno niska i teren ravan, prikladne su pomicne skele (sl. 81). Takav je postupak ekonomičan kad most ima više od tri polja. Betonira se čitavo polje i dio sljedećeg polja do mjesta gdje je moment nula. Pošto je izvršeno prednaprezanje, skela se spušta i odvozi u drugo polje, gdje se postupak ponavlja. Kad su stupovi viši,



Sl. 78. Balansni postupak s poduporama



Sl. 81. Skela na kotačima

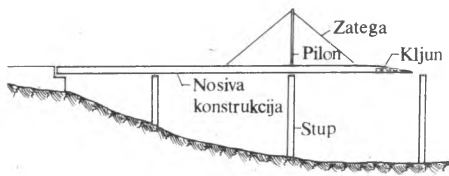


Sl. 82. Izvedba s lansirnom rešetkom ispod mosta

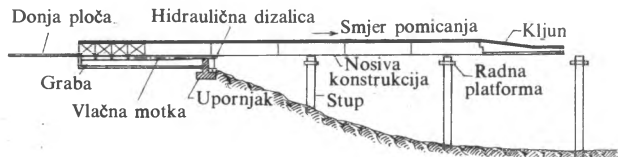
stupa i dijela nosive konstrukcije, montiraju se na oba kraja posebne košare s opatatom. Tada se betoniraju segmenti na obje strane stupa, te nakon njihova očvršćenja i prednaprezanja razmiču se košare za duljinu jednog segmenta, pa se postupak ponavlja. U nekim zemljama ne dozvoljavaju se konzole zbog opasnosti od povećanja progiba, već se sustav konzola dodatnim kabelima pretvara u kontinuirani nosač. Kad su nosači jednakе visine, može moment konzole preuzeti privremeni pilon i kosi kabel (sl. 79). Prednost je balansnog postupka s betoniranjem segmenata na gradilištu da se dozvoljava ograničeno

povoljnija je izvedba po poljima s lansirnom konstrukcijom (sl. 82). Lansirna rešetka nalazi se ispod buduće nosive konstrukcije, a oslonjena je na poprečne nosače pričvršćene na stupove. Preko tih nosača gura se lansirna konstrukcija u sljedeće polje. Opisani postupci povoljni su za raspone do 50 m.

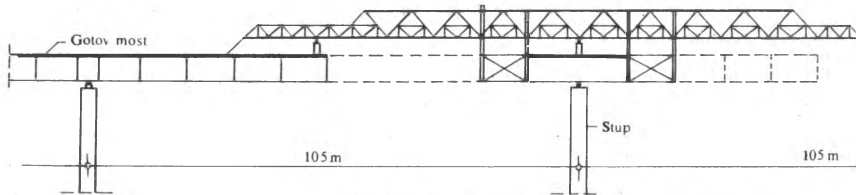
Potiskivanje (sl. 83). Na nasipu iza upornjaka betonira se dio nosive konstrukcije duljine 10...30 m. Poslije otvrdnuća i centričnog prednaprezanja konstrukcija se preko teflonskih ležaja potiskuje naprijed pomoću hidrauličnih pumpi. Na čelu je



Sl. 79. Smanjenje momenta konzole pomoću zatega



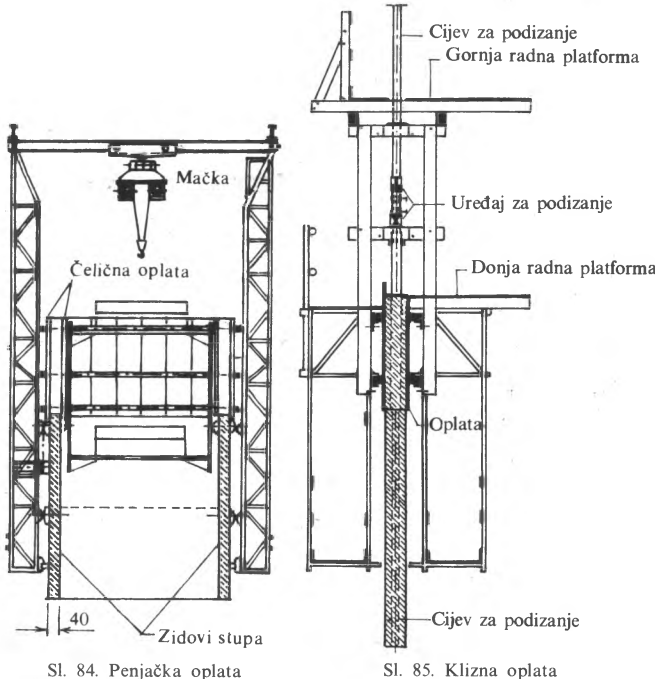
Sl. 83. Postupak potiskivanja



Sl. 80. Balansni postupak pomoću lansirne rešetke

pričvršćen čelični kljun da bi se smanjili momenti konzole. Sljedeći dio betonira se neposredno na stražnje čelo prethodnog elementa, te se postupak ponavlja dok nije konstrukcija završena i dok se ne nađe u svom konačnom položaju. Tada se prednaprežu preostali potrebni kabeli. Postupak je ekonomičan za mostove duljine veće od 150 m, s najmanje 3 raspona. Polja mogu biti duga 30-120 m, ali ne smiju biti suviše različitih duljina. Na velikim konzolama momenti se mogu smanjiti pomoću pilona s kosim kabelima. Postupak se može primijeniti i na mostove konstantne zakrivljenosti.

Visoki stupovi mogu se betonirati na dva načina, i to pomoću klizne i pomoću penjačke oplate. Obje se metode osnivaju na primjeni mehaniziranih oplatnih sustava (v. *Građevne oplate*, TE 6, str. 212). Njihova je prednost u smanjenju troškova i znatnom skraćenju vremena građenja s obzirom na konvencionalnu izvedbu. Pri upotrebi penjačke oplate betonira se u odsjecima, a oplatni su elementi jednake visine. Poslije dovršetka donjeg odsječka, premještaju se oplatni elementi za betoniranje sljedećeg odsječka (sl. 84). Primjenom toga postupka nastaju horizontalne spojnice. Postupak s kliznom oplatom

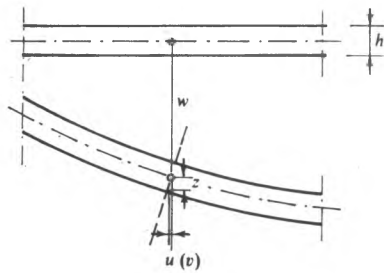


(sl. 85) teče kontinuirano, bez prekida, a ne pojavljuju se spojnice. Mana je toga postupka da se betoniranje ne smije prekidati ni za vrijeme praznika. Brzina hoda ovisi o vezanju betona, te iznosi do 30 cm na sat. Spomenuti postupci su ekonomični za betoniranje stupova veće visine od 10 m, jer je mnogo vremena potrebno za montiranje i demontiranje uređaja.

Metode proračuna

Ploče. Osnovni je zadatak proračuna da se odredi djelovanje koncentriranog tereta na ploču, koja može biti izotropna ili anizotropna, prosta ili kontinuirana greda, te konstantnog ili promjenljivog presjeka. Za više koncentriranih tereta vrijedi zakon superpozicije. Osnova teorije ploča počiva na pretpostavkama da je njena debljina, s obzirom na raspon, malena, da je materijal izotropan i elastičan, da je omjer progiba i njene debljine malen. Te pretpostavke nisu sasvim ispunjene za armiranebetonske ploče. Ipak, spomenute pretpostavke daju prihvatljivo rješenje. Pomoću metode konačnih elemenata, te upotrebom elektroničkih računala moguće je odrediti sile u bilo kojem presjeku ploče nepravilnih oblika, debljina i oslanjanja, te s rupama i oslabljenjima.

Veza između opterećenja P i vertikalnog pomaka w elastične izotropne ploče (sl. 86), koja ima jednaku krutost u oba smjera (x, y), može se odrediti pomoću diferencijalne jednadžbe



Sl. 86. Vertikalni pomak ploče

$$\frac{P}{N} = \frac{\partial^4 w}{\partial x^4} + 2 \frac{\partial^4 w}{\partial x^2 \partial y^2} + \frac{\partial^4 w}{\partial y^4}, \quad (1)$$

gdje je

$$N = \frac{EJ}{1 - \mu^2}, \quad (2)$$

E modul elastičnosti, J moment tromosti, a μ Poissonov koefficijent. Momenti iznose

$$\begin{aligned} M_x &= -N \left(\frac{\partial^2 w}{\partial x^2} + \frac{\partial^2 w}{\partial y^2} \right), \\ M_y &= -N \left(\frac{\partial^2 w}{\partial y^2} + \mu \frac{\partial^2 w}{\partial x^2} \right), \\ M_{xy} &= -(1 - \mu)N \frac{\partial^2 w}{\partial x y}, \end{aligned} \quad (3)$$

pa se za kut φ definiran relacijom

$$\tan 2\varphi = \frac{2M_{xy}}{M_x - M_y} \quad (4)$$

dobivaju glavni momenti

$$M_n = \frac{1}{2}(M_x + M_y) \pm \frac{1}{2}\sqrt{(M_x - M_y)^2 + 4M_{xy}^2}, \quad (5)$$

$$M_n \varphi = \pm \sqrt{(M_x - M_y)^2 + 4M_{xy}^2}. \quad (6)$$

Općenito rješenje dobiva se iz rubnih uvjeta. Prilikom proračuna plohe savijanja metodom rubnih uvjeta treba naći opći integral $w = w_0 + w$ jednostavne funkcije, kako bi se integral w homogene jednadžbe mogao brzo izračunati. Rješenje je postignuto kad je pronađen partikularni integral w_0 koji zadovoljava diferencijalnu jednadžbu (1). Tada se w razvija iz nekog reda, a w_0 se određuje promatranjem ploče.

Za proračun kolovoznih ploča mogu se upotrijebiti tablice C. Massoneta, M. Pigeauda, H. Rüschha, E. Bittnera i H. F. Olsena. Momenti na pločama mostova na auto-cestama najjednostavnije se proračunavaju pomoću Rüschovih tablica, koje su izrađene na osnovi DIN 1072.

Proračun je kontinuiranih kolovoznih ploča, u oba smjera (x, y), komplikiran, jer je teško uzeti u obzir sve utjecaje. Osim toga, radi se o višestrukoj statičkoj neodređenosti, te ako bi se pojavila neka preopterećenja, naprezanja bi se preložila na susjedne dijelove. Zbog toga se dopušta približni proračun kontinuiteta s popravnim koeficijentima.

Konzolne ploče mogu se proračunati prema H. Rüschu ili H. Hombergu za konstantnu i promjenljivu debljinu ploče. Rüschove tablice ne mogu se upotrijebiti ako omjer polja nije veći od 1:0,8.

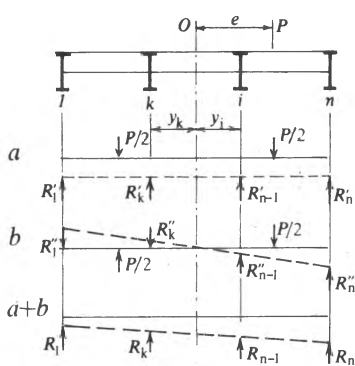
Za proračun kontinuiranih ploča, koje su ujedno glavni nosivi sustav, H. Rüsch je razvio postupak pomoću kojega se mogu približno izračunati rezne sile. Proračuna se jednostavno ili obostrano upeti nosač pomoću utjecajnih linija za čitavu širinu ploče i jednostrano, odnosno obostrano upeta ploča širine 1 m. Omjer momenata nosača prema ploči daje mjerodavnu širinu. Konačni momenti određuju se iz momenata kontinuiranog nosača pomnoženih sa $1/b$, gdje je b širina ploče. Promjenljivost momenta tromosti uzima se u obzir pri određivanju utjecajnih linija kontinuiranog nosača. G. Hoeland je izradio tablice

utjecajnih polja momenata iznad ležaja kontinuiranih ploča. Proste i kontinuirane ploče mogu se također proračunati i na temelju teorije roštilja. Radi jednostavnosti računa dozvoljeno je šuplje ploče računati kao pune, ako je predviđen dovoljan broj poprečnih nosača. Točan proračun takvih ploča zahtijeva velik računski posao.

Roštilji. Roštilji su konstrukcije u kojima je više uzdužnih nosača povezano s nekoliko poprečnih nosača (v. *Ploče i roštilji*). Mogu biti prosti položeni ili kontinuirani. Postoji mnogo metoda za njihov proračun. Y. Guyon je prvi razvio analizu roštilja na temelju teorije ploča. Pri tom je zanemario torzijsku krutost elemenata i zatim izradio sličnu analizu za izotropne ploče. C. Massonet je generalizirao Guyonovu analizu roštilja i ploča uključivši utjecaj torzije. Roštilj se može shvatiti kao ploča ojačana uzdužnim ili uzdužnim i poprečnim rebrima, ako su predviđeni poprečni nosači. Točan proračun takve ploče izvanredno je težak, te se stoga pojednostavljuje problem tako da se pretpostavlja da je ploča sastavljena od ortogonalno izvedenih nosača ili da je izvedena kao anizotropna ploča, koja ima različite krutosti u dva smjera. Prema prvoj pretpostavci uzima se u obzir sudjelovanje kolovozne ploče u savijanju, ali se mora zanemariti prijenos momenata torzije preko takve ploče, što može biti važno. Prema drugoj pretpostavci može se točno proračunati utjecaj torzije, ali se čini pogreška kad se računa da je krutost uzdužnih i poprečnih nosača jednolikoraspodijeljena.

Metoda proračuna prema prvoj pretpostavci. U čvoru, gdje su međusobno kruto vezani uzdužni i poprečni nosač, nastaje kod deformacije roštilja istodobno savijanje i torzija nosača. Budući da je utjecaj torzije mnogo manji, često se zanemaruje, pa se računa da u tim čvorovima postoji zglob. Time se veoma pojednostavljuje proračun. U tu kategoriju proračuna spada metoda sila, deformacijska metoda C. Ostenfelda i metoda vlastitih rješenja. Prilikom primjene poslijednje od spomenutih metoda pretpostavlja se da je u svakom čvoru nepomični ležaj, te se pomoću utjecajnih linija određuju momenti i reakcije u ležajima. Zatim se ležaji oslobođe i pusti da djeluju na roštilj reakcije s obrnutim predznakom. Osim spomenutih metoda postoji i metoda relaksacije, analogno postupku H. Crossa. Tada se pretpostavlja da su čvorovi najprije kruti, a zatim ih se osloboda. E. Melan i R. Schindler su objavili egzaktni proračun torzijsko mehaničkih roštilja (1942). H. Beer i F. Resinger su za rješenje roštilja s torzijsko krutim glavnim i poprečnim nosačima razvili deformacijsku metodu, kojom se iterativno određuju kutovi zbog savijanja, i torzije. Kasnije su proširili taj postupak i na kose roštilje. Prilog proračunu kosih roštilja dao je J. Starke.

Osim spomenutih točnjih, postoje i približne metode: Engesserova i M. Courbonova metoda. U tim metodama pretpostavlja se da su poprečni nosači beskonačno kruti. Sila P koja djeluje ekscentrično rastavlja se u dva sustava sila, i to simetrični i antisimetrični sa silama $P/2$ (sl. 87). U simetričnom



Sl. 87. Simetrični (a) i antisimetrični (b) sustav sila

sustavu nastaje paralelan pomak i sila R'_k koju preuzima nosač k proporcionalna je njegovoj krutosti:

$$R'_k = \frac{P J_k}{\sum_n J_k}, \quad (7)$$

gdje je J_k moment tromosti nosača. U antisimetričnom sustavu nastaje rotacija svih poprečnih nosača. Prema tome, pomaci su proporcionalni udaljenosti e od osi, a sila i momenat koje preuzimaju nosači iznosi

$$R''_k = \beta y_k J_k, \quad (8)$$

$$M = Pe = \beta \sum_n y_k^2 J_k, \quad (9)$$

gdje je y_k udaljenost od k -tog poprečnog nosača (sl. 87). Ako se vrijednost β odredi iz relacije (9) i uvrsti u (8), dobiva se

$$R''_k = Pe \frac{y_k J_k}{\sum_n y_k^2 J_k}, \quad (10)$$

pa je ukupna sila

$$R_k = R'_k + R''_k = \frac{P J_k}{\sum_n J_k} \left(1 + \frac{e \sum_n y_k^2 J_k}{\sum_n y_k^2 J_k} \right). \quad (11)$$

Ako se postavi da je

$$r_{ke} = \frac{J_k}{\sum_n J_k} \left(1 + \frac{e \sum_n y_k^2 J_k}{\sum_n y_k^2 J_k} \right), \quad (12)$$

dobiva se

$$R_k = r_{ke} P. \quad (13)$$

r_{ke} je koeficijent poprečne raspodjele na nosač k , koja se dobiva kad sila $P = 1$ prelazi preko poprečnog nosača.

Kad su svi nosači jednakih, izraz (11) prelazi u oblik

$$R_k = \frac{P}{n} \left(1 + 3 \frac{n+1-2k}{n+1} \frac{e}{b} \right), \quad (14)$$

gdje je k redni broj nosača za koji se traži utjecajna linija, a b polovica širine poprečnog nosača. Tada je koeficijent poprečne raspodjele

$$r_{ke} = \frac{1}{n} \left(1 + 3 \frac{n+1-2k}{n+1} \frac{e}{b} \right). \quad (15)$$

Leonhardtova metoda. Zanemareni su torzijska krutost nosača i smičuće veze između kolovozne ploče i nosača. Uzete su u obzir kao prekobrojne sile u čvorovima između uzdužnih i poprečnih nosača. Računa se kao torzijsko mekana konstrukcija.

Pri tom se računa s krutošću roštilja

$$z_1 = \frac{c}{n^3}, \quad (16)$$

gdje je

$$c = \frac{J_p}{J_u} \quad \text{i} \quad n = \frac{2b}{l}, \quad (17)$$

u kojima je J_p moment tromosti poprečnog nosača, J_u moment tromosti uzdužnog nosača, b duljina poprečnog, a l raspon uzdužnog nosača.

F. Leonhardt je izračunao vrijednosti koeficijenata poprečne raspodjele za roštilje sa 3...8 nosača, kad krajnji nosači mogu biti i pojačani. Koeficijenti služe za proračun momenta M koji se sastoji od dva dijela. Prvi dio M_0 je moment prosti položenog uzdužnog nosača bez poprečnog nosača, a M^1 je moment kontinuiranog uzdužnog nosača koji leži na poprečnom nosaču. Moment glasi:

$$M = M_0 + M^1 r_{ek}. \quad (18)$$

To vrijedi uz pretpostavku da je jedan poprečni nosač u sredini polja. Može se, međutim, proširiti na više poprečnih nosača i jednako međusobno razmaknutih tako da se računa s idealnim poprečnim nosačem u sredini, koji ima i puta veći moment tromosti. Povećanje momenta tromosti iznosi:

- za 2 poprečna nosača $i = 1$,
 za 3 i 4 poprečna nosača $i = 1,6$,
 za 5 i 6 poprečnih nosača $i = 2,0$.

Tada je roštiljna krutost $z_2 = iz_1$. Na kontinuirane nosače može se također primijeniti postupak sa zamjenom poprečnih nosača jednim poprečnim nosačem u sredini polja. Pri tom se moment tromačnosti glavnog nosača određuje pomoću faktora K . Taj je faktor

$$K = \frac{\delta_a}{\delta'_a}, \quad (19)$$

gdje je δ_a progib slobodno položenog glavnog nosača, a δ'_a progib kontinuiranog glavnog nosača. Tada se za jedan poprečni nosač u sredini roštiljna krutost određuje iz izraza

$$z_3 = \frac{z_1}{K}, \quad (20)$$

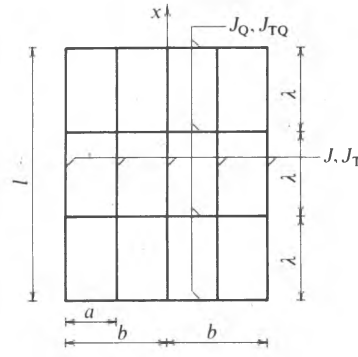
a za više poprečnih nosača u poljima iz relacije

$$z_4 = \frac{iz_1}{K}. \quad (21)$$

Hombergov postupak omogućuje točan proračun ravnih, slobodno položenih i kontinuiranih roštilja bez torzijske krutosti i s torzijsko krutim glavnim nosačima. Tada se najprije promatra torzijsko mehanički roštilj i uvode se između glavnih i poprečnih nosača u čvorovima sile kao statički prekobrojne veličine. Utjecajne površine roštilja računaju se uvođenjem grupa tereta. Nastaju jednadžbe elastičnosti s međusobno neovisnim grupama jednadžbi, koje imaju neke odnose s jednadžbama elastičnosti kontinuiranog nosača za glavni nosač i elastično popustljivih ležaja za poprečni nosač. Time je sveden proračun na poznate sustave. Pri tom se pretpostavlja da je za torzijsko mehanički roštilje moment tromačnosti konstantan za glavne i poprečne nosače. H. Homberg je proširio taj postupak na torzijsko krute roštilje. Tako se račun svodi na kontinuirani nosač s nepopustljivim oslanjanjem, iako se radi o elastično popustljivim nosaču s pokretnim oslanjanjem. Za kontinuirane roštilje postoje rješenja za sustave preko dva i tri otvora, međutim, za to je potreban velik računski napor. Opisanim postupkom mogu se računati i ortotropne ploče uz pretpostavku da postoji beskonačno mnogo nosača.

Trostov postupak. U već opisanim postupcima, pretpostavlja se da se opterećenja prenose samo preko glavnih i poprečnih nosača. Trost, međutim, uvađa u proračun ne samo poprečni nosač već i kolovoznu ploču. Da bi se dobili jasni statički odnosi u kolovoznoj ploči, glavnim i poprečnim nosačima, odvajaju se poprečni nosači od kolovozne ploče, što dotad nije bilo u praksi. Tako armatura u ploči postaje jednostavnija, jer nema negativnih momenata u uzdužnom smjeru. Proračun reznih sila provodi se pomoću statike i Fourierove analize. Statički prekobrojne veličine su momenti i poprečne sile kolovozne ploče i poprečnih nosača.

Postupak Guyon-Massoneta; metode proračuna prema drugoj pretpostavci — anizotropne ploče. Roštilj se može shvatiti kao ortotropna ploča ako se oba sustava uzdužnih i poprečnih nosača jednoliko rasporede po širini i duljini roštilja (sl. 88).



Sl. 88. Raspored nosača u roštilju

Specijalno, kad su krutosti na savijanje i torziju za glavni i poprečni nosač jednake, dobiva se izotropna ploča. Diferencijalna jednadžba ortotropne ploče glasi:

$$B_x \frac{\partial^4 w}{\partial x^4} + 2H \frac{\partial^4 w}{\partial x^2 \partial y^2} + B_y \frac{\partial^4 w}{\partial y^4} = p(x, y), \quad (22)$$

gdje je p prosječno opterećenje na jedinicu površine, a

$$B_x = \frac{EJ}{a}; \quad B_y = \frac{EJ_Q}{\lambda}; \quad 2H = G \left(\frac{J_T}{a} + \frac{J_{TQ}}{\lambda} \right). \quad (23)$$

Parametar je torzijske krutosti

$$\alpha = \frac{G \left(\frac{J_T}{a} + \frac{J_{TQ}}{\lambda} \right)}{2E \sqrt{\frac{JJ_Q}{a\lambda}}}, \quad (24)$$

a parametar krutosti savijanja

$$\vartheta = \frac{b}{l} \sqrt{\frac{J\lambda}{JJ_Q a}}. \quad (25)$$

Y. Guyon je riješio diferencijalnu jednadžbu (22) za prosto položenu ploču bez torzijske krutosti ($\alpha = 0$) za sinusno linijsko opterećenje ($p_A = A \sin \frac{\pi x}{l}$). C. Massonet je proširio proračun na torzijski krutu ploču sa $\alpha = 1$. Za $\alpha = 0$ dobiva se koeficijent poprečne raspodjele K_0 , a za $\alpha = 1$ K_1 . Međuvrijednosti se interpoliraju prema sljedećem izrazu:

$$K = K_0 + (K_1 - K_0) \sqrt{\alpha}, \quad (26)$$

gdje je K omjer stvarnog progiba glavnog nosača roštilja w i progiba w_0 za jednoliko rasprostrto opterećenje na idealnoj širini $2b = am$, odnosno na m glavnih nosača (srednji progib). Izraz za moment uzdužnog nosača glasi

$$M = \frac{K}{m} P m_{0x}, \quad (27)$$

gdje je m_{0x} uplivnica za moment savijanja na mjestu x statički određenog glavnog nosača zbog djelovanja sile $P = 1/m$ (gdje je m broj glavnih nosača). Postupak se može primijeniti i na kontinuirane nosače, kad treba izračunati vrijednosti:

$$\vartheta_x = \vartheta \sqrt{\alpha} \quad \text{i} \quad \alpha_x = \frac{\alpha}{\sqrt{\alpha}}, \quad (28)$$

gdje je $\alpha = c/48$ omjer progiba proste grede i kontinuiranog nosača, a c koeficijent progiba kontinuiranog nosača, koji se može dobiti iz izraza

$$\delta = \frac{l^2}{EJ} \frac{1}{c}. \quad (29)$$

Ta je metoda vrlo dobra jer uzima u obzir torzijske krutosti nosača, no manje joj je da se ne može primijeniti na kose roštilje. C. Massonet je izradio tablice i dijagrame za određivanje K_0 i K_1 uz različite vrijednosti α i ϑ . Taj se postupak primjenjuje i na kontinuirane roštilje.

Ploče ojačane sa dva rebra. H. Homberg je razvio teoriju proračuna poprečne raspodjele naprezanja roštilja, kojom je obuhvaćena i ploča s dva rebra. Razvijena je uz pomoć pojma vlastite funkcije opterećenja. Dobivaju se, na temelju kontinuirane ploče promjenljivih visina, utjecajne plohe koje omogućuju optimalno dimenzioniranje konstrukcije. S. Grasshoff je izradio utjecajne plohe za ležajni moment s unutrašnje strane grede.

Približni proračun sandučastih presjeka (sl. 89). Sandučasti presjeci proračunavaju se metodom statike štapa. Jednočelijski sanduk tretira se kao štap sa svojim krutostima na savijanje i torziju. Vrlo velika torzijska krutost karakteristika je sandučastih presjeka, pa je zbog toga u takvim presjecima najbolja poprečna raspodjela opterećenja.

Prema Bredtovu stavku posmična sila T za te presjeke iznosi

$$T = \tau t \quad (30)$$

gdje je t debljina stijenke, a τ posmično naprezanje. Ako se uvrsti izraz za posmično naprezanje, dobiva se

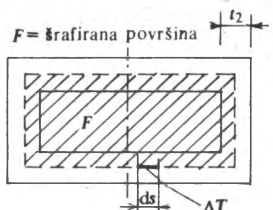
$$T = 2Ft\vartheta G, \quad (31)$$

gdje je

$$\vartheta = \frac{M_D}{GJ_D}, \quad (32)$$

M_D moment torzije, J_D torzijski moment tromosti, G modul smicanja, a F šrafirana površina na sl. 89. Ukupni torzijski moment iznosi

$$M_D = 2Ft\tau. \quad (33)$$

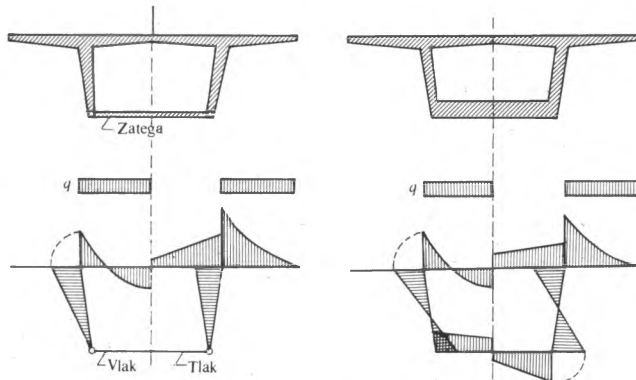


Sl. 89. Uz proračun sandučastog preseka

Kad se računa torzija, uzima se krutost za torziju prema Bredtovoj formuli s koeficijentom smanjenja $0,8 \dots 0,9$ (što je određeno pokusima). Ako se primjeni Bredtov stavak i uspostavi ravnoteža posmičnih sila unutar pojedinih celija, dobiva se, uz pretpostavku da je $t = \text{const.}$, matrica s toliko prekobrojnih nepoznanica koliko ima celija. Matrica glasi:

$$\begin{bmatrix} \delta_{11} & \delta_{12} & \dots \\ \delta_{21} & \delta_{22} & \delta_{23} \\ \delta_{32} & \delta_{33} & \delta_{34} \\ \vdots & \vdots & \vdots \\ \delta_{n,n-1} & \delta_{n,n} \end{bmatrix} \cdot \begin{bmatrix} T_1 \\ T_2 \\ T_3 \\ \vdots \\ T_n \end{bmatrix} = \begin{bmatrix} \delta_{10} \\ \delta_{20} \\ \delta_{30} \\ \vdots \\ \delta_{n0} \end{bmatrix} \quad (34)$$

Iz matrice (34) mogu se izračunati nepoznate sile $T_1 \dots T_n$, i zatim posmična naprezanja $\tau_1 \dots \tau_n$. Za srednja rebra međusobno se poništavaju posmične sile. Kolovozna ploča proračunava se kao rebrasti presjek, s razlikom da ima veću upetost. Stupanj napetosti dobiva se uz pretpostavku da je sanduk zatvoren okvir. Ako je donja ploča tanka, može se shvatiti kao zatega koja hrptove međusobno povezuje (sl. 90). Ako je donja

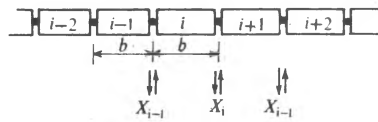


Sl. 90. Momenti tanke donje ploče sa zategom

Sl. 91. Momenti debele donje ploče

ploča debela, tada su hrptovi u nju uklješteni (sl. 91). A. Stein je razradio jednostavan postupak za proračun posmičnih naprezanja u uzdužnom i poprečnom smjeru koja nastaju zbog deformacija jednoćelijskog presjeka s dijafragmom i bez nje. Postupak se temelji na analogiji s nosačem na elastičnoj podlozi.

Red nosača. Sustav u kojem su montažni nosači poredani jedni uz druge bez čvrste međusobne veze naziva se red nosača (sl. 92). Za proračun se pretpostavlja da se opterećenje raspodjeljuje preko zglobova. Pri tom raspodjela ovisi o omjeru čvrstoće na savijanje i čvrstoće na torziju pojedinih elemenata.



Sl. 92. Statički sustav reda nosača

Ako se pretpostave poprečne sile u spojnicama kao statički neodređene veličine i razviju u Fourierove redove, one zadovoljavaju jednadžbu

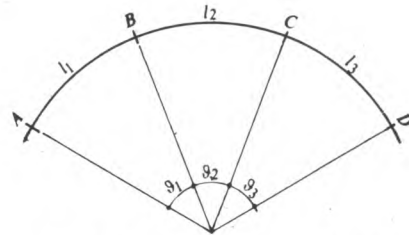
$$-X_{i-1}(1-\beta) + 2X_i(1+\beta) - X_{i+1}(1-\beta) = P_i - P_{i+1}, \quad (35)$$

u kojoj je

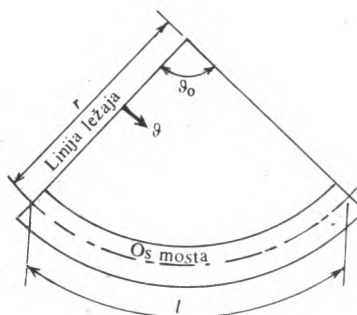
$$\beta = \frac{EJ_b}{4GJ_t} \frac{b^2}{l^2} (n\pi)^2, \quad (36)$$

gdje je EJ_b krutost na savijanje elementa, GJ_t torzijska krutost, b razmak zglobova, l raspon elemenata, a n red prirodnih brojeva $1, 2, 3, \dots$. Svrishodno je takve elemente prednapregnuti, jer se u armiranim konstrukcijama brzo doseže dopuštena granica posmičnih naprezanja.

Mostovi u krivini. Teorija mostova u krivini (sl. 93), koju je izradio J. Courbon, sastoji se od tri dijela. Prvi se osniva na Bresseovoj formuli za nosače s ravnim središnjim vlaknom koji su opterećeni okomitno na ravninu srednjeg vlakna. Pomoću tih formula mogu se proračunati komponente pomaka nekog presjeka kao funkcija posmičnih sila, momenata savijanja i torzije uzduž središnjeg vlakna. Drugi dio obrađuje proračun kružnih mostova s jednim ili više kontinuiranih raspona. Momenti savijanja mogu se izračunati neovisno o momentima torzije, pomoći statičkih jednadžbi ili pomoći jednadžbi triju momenata, kojima koeficijenti ovise o krutosti na savijanje i torziju nosača.



Sl. 93. Kutovi i lukovi mosta u krivini



Sl. 94. Tlocrt mosta u krivini

Kad su mali kutni otvori $\phi = l/r$ (sl. 94), uvode se korekcije uz pretpostavku da su nosači ravni. Treći dio teorije proširuje dio rezultata dobivenih u drugom dijelu na košarastu krivinu. U praksi se većinom radi o malo zakrivljenim mostovima ($\phi \leq 0,2$). Takvi mostovi računaju se kao ravni s tim da se izračunati momenti i sile množe popravnim koeficijentom.

Veoma zakrivljeni mostovi mogu biti pješački ili mostovi na serpentinama. Zbog krvine u simetričnim presjecima javlja se torzija djelovanjem stalnog opterećenja. Potrebno je, zbog toga, upotrijebiti presjeke krute na torziju, kako bi se smanjila torzijska naprezanja. Krajevi nosivih konstrukcija polazu se torzijski kruto na ležaje. Omjeri momenata savijanja i torzije, te razlike između ravnih konstrukcija i konstrukcija u krivini mogu se za proste gredе lako odrediti. Ako je, naime, $\frac{\text{krutost na savijanje}}{\text{krutost na torziju}} = \varrho$, tada su deformacije ovisne samo o tom omjeru. Za ravnomjerno raspodijeljeno opterećenje (indeks p) dobiva se približni izraz

$$\max M_{(p)}^T \approx \frac{\varrho_0}{\pi} \max M_{(p)}^S \quad (37)$$

a za ravnomjerno raspodijeljene momente torzije (indeks mt) izraz

$$\max M_{(mt)}^S \approx \frac{\varrho_0}{\pi} \max M_{(mt)}^T, \quad (38)$$

gdje je M^T moment torzije, M^S moment savijanja, a ϱ_0 središnji kut krivine (sl. 94). Sličnost izraza (37) i (38) omogućuje ocjenu momenata savijanja i torzije, koji su bitni za dimenzioniranje konstrukcije. Za malo zakrivljene nosače (indeks k) dobivaju se uvođenjem uvjeta oslanjanja sljedeći izrazi za momente savijanja i torzije

$$M_{(k)}^S \leq M_{(r)}^S \left(1 + \frac{\varrho_0^2}{\pi^2} \right), \quad (39)$$

$$M_{(k)}^T \leq M_{(r)}^T \left(1 + \frac{\varrho_0^2}{\pi^2} \right), \quad (40)$$

gdje su $M_{(r)}^S$ i $M_{(r)}^T$ momenti ravnog nosača. Pogreška iznosi ~3%.

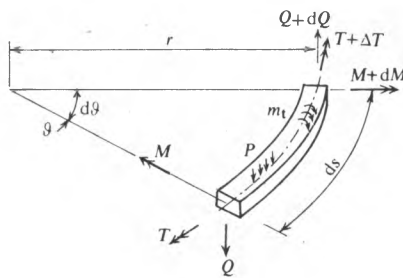
Za kontinuirane gredе jednadžbe ravnoteže glase (sl. 95)

$$\frac{dQ}{ds} + p = 0, \quad (41)$$

$$\frac{dM}{ds} - \frac{T}{r} = 0, \quad (42)$$

$$\frac{dT}{ds} + \frac{M}{r} = -m_t. \quad (43)$$

Tim jednadžbama prikazan je utjecaj krivine i torzije na savijanje ravnog nosača. Moment torzije je maksimalan kad je moment savijanja nula. To nastupa, npr., na ležaju proste gredе. Iz izraza (42) i (43) slijedi da su znatno smanjeni torzijski momenti kontinuiranih nosača. Torzijski momenti mogu se smanjiti ekscentričnim postavljanjem srednjih stupova.

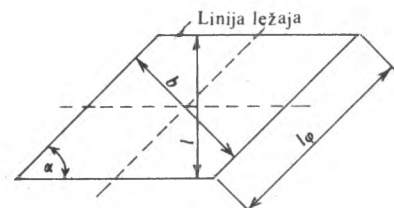


Sl. 95. Vanjske i unutrašnje sile na element mosta u krivini

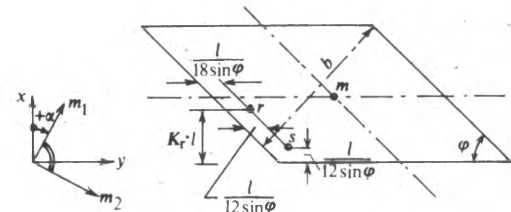
Problemi proračuna zakrivljenih nosača obrađeni su u djelima R. Dobrowskog, G. Rakowskog i R. Soleckog, M. Vredena, M. Schulza i drugih.

Kosi mostovi. U nosivoj konstrukciji kosi mostova (sl. 96) nastaju torzijski momenti, čime se u vlačnoj zoni povećavaju glavna vlačna, odnosno u tlačnoj zoni glavna tlačna naprezanja.

Smjer glavnih naprezanja obično se razlikuje od smjera armature, što je nepovoljno s obzirom na mogućnost pojave pukotina. Kad je kut skretanja mosta α (sl. 96) manji od 60° , povoljno je provesti, osim uzdužnog, i poprečno prednaprezanje.



Sl. 96. Kosi most



Sl. 97. Mjerodavne točke za dimenzioniranje kosih grednih mostova

H. Homberg odredio je mjerodavne točke za dimenzioniranje kosih ploča (sl. 97). U točki m pojavljuje se maksimalni moment u polju; u točki r maksimalni moment u polju uzduž slobodnog ruba, a u točki s minimalni moment u blizini tupog kuta zbog upetosti. Spomenuti momenti mogu se smanjiti primjenom ležaja koji se može pokretati u svim smjerovima. Što je manji kut α , nastaju u tupom ugлу na rubu veća tlačna naprezanja. U linjskom ležaju iza tlačnih naprezanja prema sredini nastaju vlačna naprezanja koja nastoje podići ploču, čime se smanjuju momenti upetosti. Isto djelovanje ima popustljivi ležaj na kraju. Visoki rubni pritisci i veliki momenti upetosti na tupim uglavima kosih ploča mogu se smanjiti povećanim razmakom pojedinačnih ležaja.

Ploče nepravilnog oblika računaju se metodom konačnih elemenata ili pomoću modela. Kosi mostovi s rebrastim presjekom mogu se dovoljno točno računati kao pravokutni kad je kut $\alpha \geq 60^\circ$. Samo na tupom ugлу treba se krajnji ležaj dimenzionirati s dodatkom od $1/\sin\alpha$. Za manje vrijednosti α nastaju različiti progib glavnih nosača, zbog čega nastaju u hrptovima torzijski momenti, što ovisi o omjeru torzijske krutosti i krutosti na savijanje glavnih nosača. Spomenuti momenti su momenti prisile, koji se smanjuju prijelazom u granično stanje, tj. nastankom pukotina. Za sandučaste presjeke najbolje je ležaje staviti u sredinu ili okomito na os konstrukcije. Ako to nije moguće, tada je često bolje samo jedan ležaj postaviti u tupom ugлу, a u šiljatom ugлу poduprijeti ploču malim gumenim ležajem.

Minimalna meka armatura. Dimenzije elemenata mostova određuju se prema sličnim izvedbama i iskustvu. Poslije proračuna reznih sila i presjeka kabela za prednaprezanje kontroliraju se naprezanja u svim karakterističnim presjecima. Osim proračuna naprezanja, treba također proračunati sigurnost od pojave loma djelovanjem momenata i poprečnih sila, te sigurnost od pojave pukotina. Za trajnost građevine važno je da konstrukcija ima što manje i što sitnije pukotine. To se može postići ugradnjom dovoljne količine meke armature. Ta armatura ne smije imati preveliki promjer i preveliki međusobni razmak. Za proračun takve armature treba uzeti u obzir ne samo opterećenje i prednaprezanje već i temperaturu i sticanje. Potrebno je također proračunati progib od stalnog opterećenja, pri čemu treba uzeti u obzir puzanje, kako bi se moglo odrediti nadvišenje ili upuštanje. Minimalnu armaturu treba proračunati prema postojećim propisima. F. Leonhardt smatra da ona mora imati toliki presjek da ne bude napregnuti preko granice velikih produljenja kad nastaju pukotine.

Minimalne vrijednosti karakterističnih omjera iznose:

$$\text{za centrični tlak: } \min \mu_z = \frac{f_{ct}}{f_s} = \frac{0,24 f_{cc}^{2/3}}{f_s}, \quad (44)$$

$$\text{za savijanje i uzdužni tlak: } \min \mu_z = 0,4 \frac{f_{ct}}{f_s}, \quad (45)$$

gdje je f_s granica velikih produljenja armature, f_{ct} vlačna čvrstoća betona, a f_{cc} tlačna čvrstoća betonske kocke.

Upornjaci. Na upornjak djeluje vlastita težina, akcija stalnog i pokretnog opterećenja s nosive konstrukcije, uzdužne horizontalne sile (kočna sila, otpor ležaja, trenje), uzgon, aktivni tlak zemlje s djelovanjem pokretnog opterećenja i bez tog djelovanja. Upornjak treba ispitati na sljedeća opterećenja: a) najveća akcija s nosive konstrukcije, b) najmanja akcija i aktivni potisak zemlje s pokretnim opterećenjem iza upornjaka i c) kombinacije opterećenja koje nastaju od djelovanja horizontalnih sile, uzgona, temperature, vjetra itd.

Stupovi. Na stup djeluje vlastita težina, akcija stalnog i pokretnog opterećenja s nosive konstrukcije, uzdužne horizontalne sile (kočna sila, otpor ležaja, trenje, vjetar na stupove, potres), poprečne horizontalne sile (centrifugalna sila, vjetar, potres), uzgon. Osim toga treba računati s pomakom pokretnih ležaja zbog djelovanja temperature, stezanja i puzanja. Stupove treba proračunati za najnepovoljnije kombinacije spomenutih opterećenja i na izvijanje.

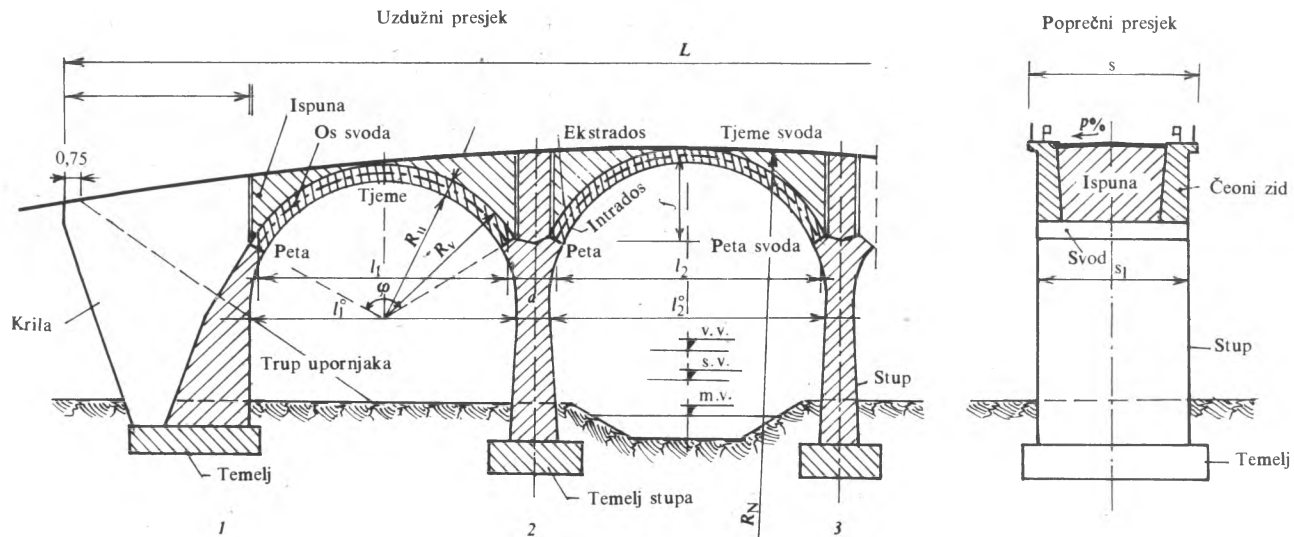
Visoki stupovi. Pri proračunu visokih stupova potrebno je osobito kontrolirati stabilnost. Naime, pri proračunu vitkih elemenata na koje djeluje normalna sila i moment valja uzeti u obzir i deformirani oblik osi pritisnutog elementa. Ta se promjena utvrđuje uzimajući u obzir i dugotrajne utjecaje. Za konstantne presjeke postoje u literaturi gotova rješenja. Proračun promjenljivih presjeka razvio je Vianello. Njegov dokaz sigurnosti od izbočenja osniva se na iteracijskom postupku.

Najprije se prepostavlja linija savijanja, koja se podudara s elastičnom linijom, što se dobije kao momentna linija momenta (Makrov stavak). Budući da se to nikada ne postiže u prvom pokušaju, treba tako dugo pokušavati dok se ne postigne dovoljna točnost.

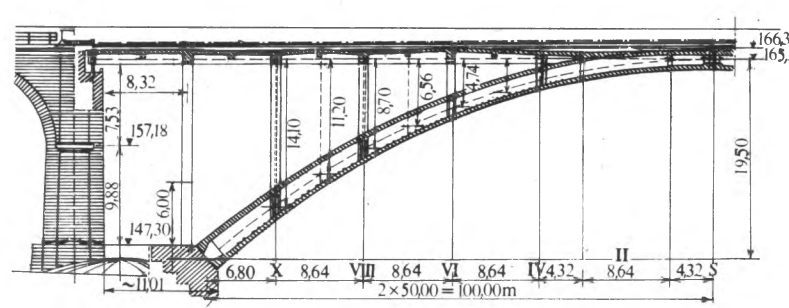
Budući da je Vianellov postupak nepraktičan i dugotrajan, Quast je dao jednadžbe za proračun sila u armiranobetonским presjecima stupova s promjenljivim oblikom. Cilj njegovog rada je dokaz nosivosti prema graničnim stanjima. Stabilnost stupova s kotrljajućim ležajevima ispitivali su W. Zies i Liermann. Spomenuti ležajevi povoljno djeluju na stabilnost stupova, budući da kod deformiranog stupa nastaje moment i nagnuće gornje površine, što smanjuje moment savijanja u stupu.

LUČNI MOSTOVI

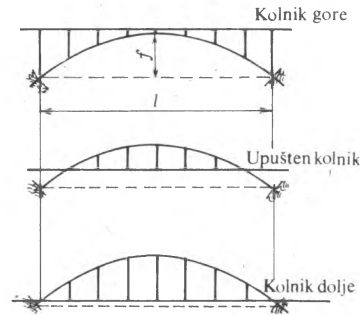
Lučni su mostovi konstrukcije kojima je osnovni nosivi sustav luk ili svod (v. Lukovi TE 7, str. 564). Luk i svod razlikuju se prema širini: luk je male, a svod veće širine. Sastavni dijelovi lučnog mosta (sl. 98) malog raspona jesu svod, čoni zidovi, upornjaci i ispuna između čeonih zidova. Iznad svoda često se izvode tzv. štedni otvori. Luk ima tjeme, petu, donju površinu (intrados), gornju površinu (ekstrados), čelo, širinu, raspon l i strelicu f , stinjenost f/l , smjelost I^2/f . Mostovi većih raspona raščlanjenog su tipa (sl. 99). Sastoje se od svodova ili lukova, stupaca, kolovožne konstrukcije, zglobova i upornjaka. Kolovožna konstrukcija može biti luk, ploča ili rebrasta konstrukcija. Stupci su kvadratnoga, okruglog ili pravokutnog presjeka. Lučni se mostovi danas grade od armiranog betona, jer se tako smanjuje potrebna količina betona, a armatura preuzima nepovoljne utjecaje stezanja, puzanja i promjene temperature. Osnovni statički sustavi jesu upeti, dvozglobni i trozglobni luk, a grade se kao lukovi sa sponom, kao Nielsenov luk i kao lučni zid. Ako je dovoljna građevna visina, postavlja se kolnik iznad luka. Ako visina nije dovoljna, kolnik može biti upušten ili smješten ispod luka.



Sl. 98. Svođeni most. l_1 krajnji raspon luka (svoda), l_2 srednji raspon luka, l_1^0 krajnji otvor, l_2^0 srednji otvor, L duljina mosta, f strelica luka, f/l stinjenost luka, I^2/f smjelost luka, S širina mosta, R_y polumjer ekstradosa, R_u polumjer intradosa, R_N polumjer zaobljenja nivele, S_1 širina luka

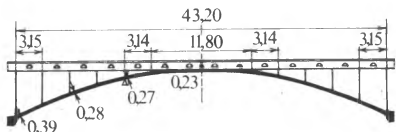


Sl. 99. Tip raščlanjenog lučnog mosta

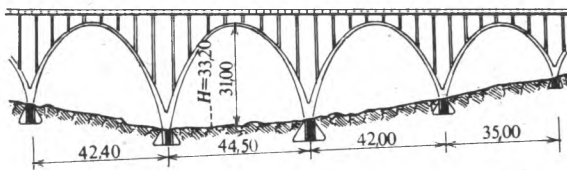


Sl. 100. Upeti luk

Upeti lukovi (sl. 100) najjednostavniji su i najjeftiniji, jer nemaju skupih zglobova, pa niti smeta ako donji dio luka dođe pod vodu. Visina im se većinom povećava idući od tjemena prema peti. R. Vallette, francuski inženjer, predlaže kao ekonomičnije rješenje luk u obliku srpa. Tada su momenti u peti znatno manji i više izjednačeni s momentima u ostalim presjecima. R. Maillart je sagradio vitki luk, koji je preuzeo samo osne sile, dok momente preuzima kruta kolovozna konstrukcija (sl. 101). Najčešće je luk krut, a kolovozna konstrukcija mekana, pa luk preuzima i osne sile i momente. Ako su kolovozna konstrukcija i luk vrlo kruti, tada se momenti prenose na oba elementa u odnosu njihovih krutosti. Za dulje mostove izvode se lukovi u nizu (sl. 102). Tada se horizontalni potisci od stalnog opterećenja susjednih lukova poništavaju, ako su im isti rasponi, i na stupove djeluju samo vertikalne akcije. Imamo izvedbu kad iznad lukova nema stupića, već se luk i kolovozna konstrukcija spajaju u tjemenu. Tada luk ima ulogu razupore.

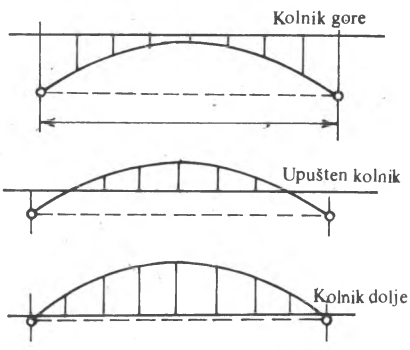


Sl. 101. Vitki luk s krutom kolovoznom konstrukcijom



Sl. 102. Lukovi u nizu

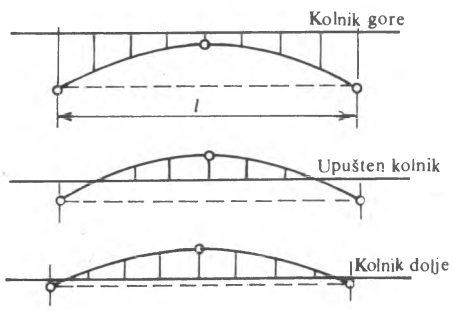
Dvozglobni lukovi (sl. 103) primjenjuju se za mostove s velikom stinjenosti (velika vrijednost omjera streljice f i raspona l). Dodatni momenti zbog skupljanja i puzanja tada su najmanji.



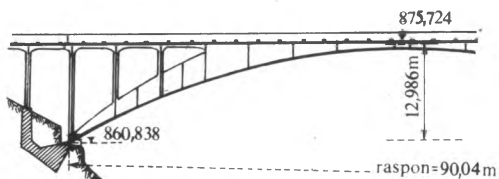
Sl. 103. Dvozglobni luk

Zglobovi su smješteni u petama luka. Debljina luka je konstantna ili se povećava idući prema tjemenu, analogno anvelopi maksimalnog momenta. Kolnik može biti iznad luka, upušten i ispod luka. Kad je kolnik iznad luka, kolovozna konstrukcija počiva na stupovima, kad je kolnik upušten, kolovozna je konstrukcija dijelom na stupovima a dijelom je objesena na vješaljkama, a kad je kolnik ispod luka, cijela je konstrukcija na vješaljkama. Stupovi i vješaljke su obično vertikalni, ali mogu biti i kosi.

Trozglobni luk (sl. 104) pogodan je za male građevne visine, te kad postoji opasnost od slijeganja upornjaka i stupova. Zglobovi su smješteni u obje pete i u tjemenu luka. Budući da je sustav statički određen, znatno su smanjeni dodatni momenti zbog stezanja, promjene temperature i razmicanja upornjaka. Visina presjeka luka je konstantna ili se mijenja kao npr. u Maillartovim lukovima, gdje je najveća visina u



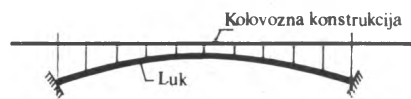
Sl. 104. Trozglobni luk



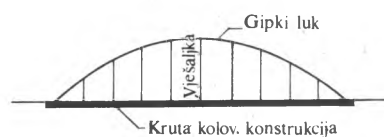
Sl. 105. Maillartov trozglobni luk

četvrtinama luka (sl. 105). Često se zglobovi u peti pomiču prema sredini polja. Tada upornjaci dobivaju konzole, kojima duljina iznosi 2,5...4% od raspona.

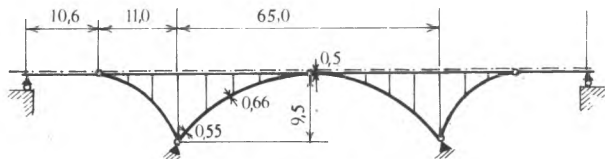
Luk sa sponom gradi se sa sva tri položaja kolnika. Bit je toga sustava da potisak luka preuzima spona, koja je obično smještena unutar kolovoznih nosača. Zbog toga na ležaje djeluju samo vertikalne akcije, pa je zato luk sa sponom pogodan kad su stupovi visoki ili kad je tlo slabo. Mogu se graditi kao upeti, sa dva ili tri zgloba. Prema potrebi gradi se kruti luk i mekana kolovozna konstrukcija (sl. 106), mekani luk i kruta kolovozna konstrukcija (taj se sustav naziva Langerova greda, sl. 107), te kruti luk i kruta kolovozna konstrukcija.



Sl. 106. Kruti luk s gipkom kolovoznom konstrukcijom



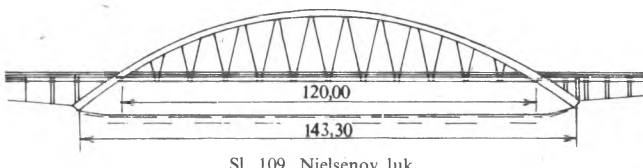
Sl. 107. Langerova greda



Sl. 108. Luk sa zategom iznad njega

Kad je kolnik upušten i kad se kolnik nalazi ispod luka, armatura je zatege smještena u rubne nosače. Vješaljke su obično od armiranog betona, no mogu biti također od čelika ili od prednapregnutog betona. Ako su od armiranog betona, betoniraju se naknadno nakon otpuštanja skele, da beton ne bi pucao zbog vlačnih naprezanja. Ako je kolnik iznad luka, zatega se smješta unutar kolovoznih nosača (sl. 108). Nekoliko takvih mostova izgrađeno je u SSSR.

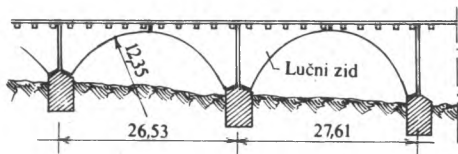
Nielsenov luk, sustav s kosim vješaljkama, naziva se po pronalazaču Nielsenu (sl. 109). U takvoj konstrukciji momenti iznose $q^2/250$, dok u konstrukciji s vertikalnim vješaljkama $q^2/64$, što je četiri puta više. Ušteda betona iznosi 15%.



Sl. 109. Nielsenov luk

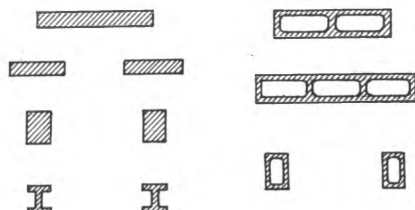
Varijanta je takva rješenja da je kolnik u sredini raspona razdvojen zgloboom; tada se potisna sila prenosi na upornjake.

Mostovi s lučnim zidovima u statičkom su pogledu kombinacija luka i zida. Sastoje se od dva ili više vertikalnih lučnih zidova povezanih pločom s gornje strane (sl. 110). Zbog toga se takav sustav primjenjuje samo s kolnikom iznad luka. U prošlosti su građeni lučni mostovi s krutom armaturom, koja je ujedno služila kao skela. Montažna gradnja lučnih mostova do sada se rijetko primjenjivala, osim u SSSR.



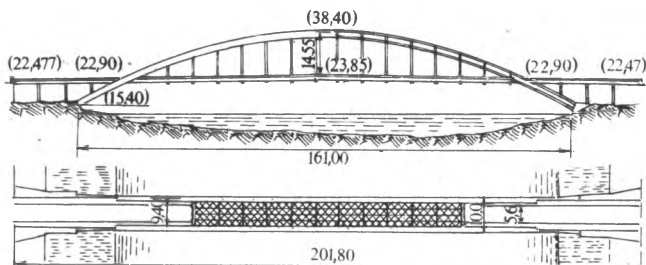
Sl. 110. Most s lučnim zidovima

Poprečni presjeci lukova odlikuju se raznovrsnošću. Zanimljivo je da su F. Hennebique i kasnije R. Maillart stvorili prototipove mostova koji se i danas grade. Do pojave armiranog betona primjenjivani su puni presjeci jednaki širini mosta. Razvitkom armiranobetonских mostova presjek je raščlanjivan (sl. 111). Tako su nastala dva ili više blizanaca svoda ili luka.



Sl. 111. Neki presjeci lukova lučnih mostova

Korak dalje su šuplji presjeci s jednom ili više čelija, što ovisi o širini mosta. Svi su veliki svodovi i lukovi šupljeg presjeka. Debljina svodova iznosi $1/60 \dots 1/100$ raspona. Pri odabiranju debljine lukova valja paziti na stabilnost. Luk se može izviniti u vertikalnoj ili, ako je uzak, u horizontalnoj ravni. Zbog toga širina jednodijelnih svodova ne bi smjela biti manja od $1/20$ duljine mosta, a svodova blizanaca manja od $1/32$ duljine. Ušteda betona postiže se lučnim nosačima male širine. Zbog male bočne krutosti potrebno je između takvih lukova ugraditi vjetrovne sprege u obliku rešetkastih nosača (sl. 112).



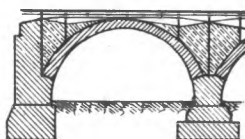
Sl. 112. Most preko rijeke Seine (La Roche Guyon)

Debljina lukova jednostavnih sustava iznosi $1/40 \dots 1/60$ duljine mosta, te je veća nego za svodove. Kad se izvodi Nielsenov luk i Langerova greda, debljina luka može iznositi i $1/120$ duljine luka.

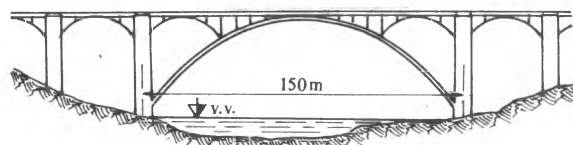
Konstruktivni elementi

Kolovozna konstrukcija iznad svoda, odnosno luka može biti puna ili raščlanjena.

Kad je kolovozna konstrukcija puna, između čeonih zidova nalazi se dobro nabijena zemlja ili mršavi beton (sl. 113). Iznad ispune stavlja se kolnik od tvrdo lijevanog asfalta u dva sloja, na betonskoj podlozi ako je ispuna zemljana. Debljina čeonih zidova može se smanjiti ugradbom zatega. Puna kolovozna konstrukcija primjenjivala se od nastanka svodenih mostova do pojave armiranog betona. Danas se tako grade manji mostovi i propusti. Da se smanji težina, svodovi su se olakšavali štednim otvorima u obliku malih svodova.

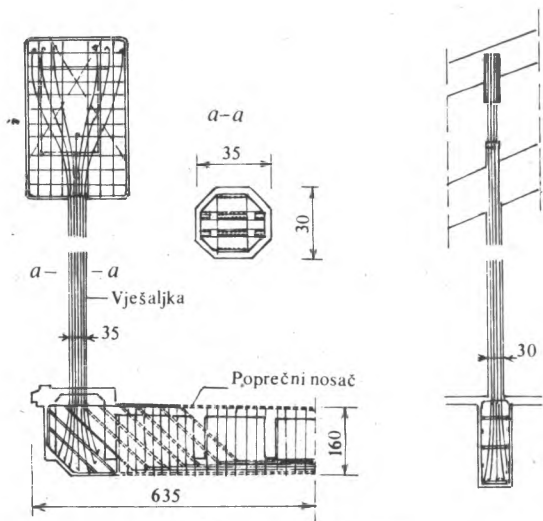


Sl. 113. Svoden most s ispunom



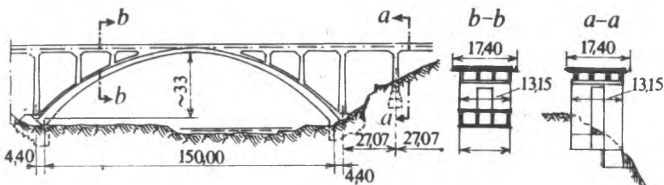
Sl. 114. Most preko Vltave u Podolsku

Raščlanjena kolovozna konstrukcija sastoji se od ploče ili rebraste konstrukcije poduprte stupovima. Katkada se umjesto grednih sustava grade svodovi (sl. 114). Stupovi mogu biti zidovi po čitavoj širini svoda ili više stupova okrugloga, kvadratnoga, pravokutnog i drugačijih presjeka. Ploča može biti puna ili sa šupljinama, što ovisi o njenu rasponu. Rebrasta konstrukcija primjenjuje se za veće raspone. Može biti betonirana na gradilištu ili montažna, odnosno polumontana. Sastoje se od kolovozne ploče, uzdužnih rebara i poprečnih nosača. Kad su lukovi ili svodovi široko razmaknuti, potrebni su jaki poprečni nosači na koje se oslanja sustav podužnih nosača. Tada se na stupove prenose momenti, jer poprečni nosači i stupovi sačinjavaju okvirne konstrukcije. Osim toga, u tim okvirima mogu nastati znatne sile i momenti zbog nejednolikog ugiba lukova pri asimetričnom opterećenju. U statičkom pogledu stupovi mogu biti zglobno oslonjeni i dolje i gore, dolje upeti, a gore zglobno vezani kolovoznom konstrukcijom, ili i dolje i gore upeti. Kad se kolnik nalazi ispod luka, kolovozna konstrukcija ovisi o tipu rasponske konstrukcije. Ako je luk krut, a kolovozna konstrukcija gipka, primjenjuju se često poprečni nosači ovješeni vješaljkama o lukove (sl. 115).



Sl. 115. Poprečni nosač i vješaljke

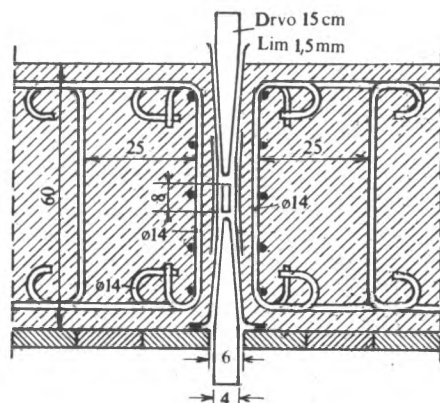
Uzdužni nosači oslanjaju se na poprečne nosače i nose kolovoznu ploču. Krajnji uzdužni nosači ujedno su zatege lukova. Kad je luk gibak s uzdužnim nosačima velike krutosti, poprečni nosači oslanjaju se na uzdužne, a kolovozna ploča na poprečne nosače. Širi mostovi imaju iz ekonomskih razloga još i uzdužne nosače (sl. 116).



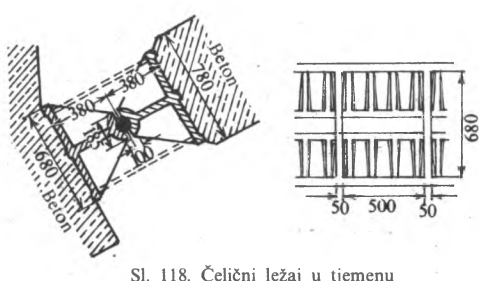
Sl. 116. Lučni most s uzdužnim kolovoznim nosačima

Kad su lukovi međusobno vezani prečkama, prečke, vješaljke i poprečni nosač čine zatvoreni okvir. Ako lukovi nisu spojeni prečkama, vješaljke i poprečni nosač čine okvir otvoren prema gore. Razmaci vješaljki ovisni su o rasponu nosivog luka. Može biti i više od deset polja. Izbor kolovozne konstrukcije ovisi o konstruktivnim, ekonomskim, izvedbenim i estetskim razlozima.

Zglobovi se grade u tjemenu i u petama lukova. Oni do-puštaju zakrete elemenata lukova i određuju mjesto potporne linije. Katkad se u upete svodove ugrađuju privremeni zglobovi da bi se svod za vrijeme gradnje mogao pokretati bez dodatnih momenata i da bi se smanjio utjecaj stezanja. Tada se nakon spuštanja skele zglobovi zatvaraju. Prije su se gradili zglobovi od kamena i betona. Danas se grade većinom od armiranog betona (sl. 117) i čelika (sl. 118). Za važnije objekte



Sl. 117. Armiranobetonski zglob s olovom za manje sile

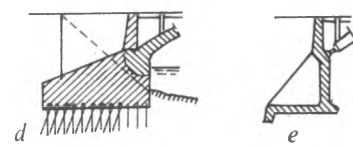
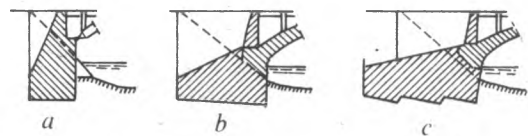


Sl. 118. Čelični ležaj u tjemenu

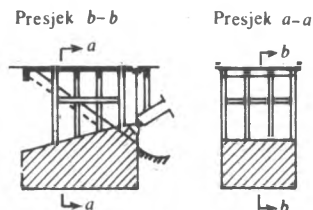
upotrebljavaju se čelični zglobovi, jer imaju najmanju ekscentričnost. S obzirom na točnost centriranja bolji su zglobovi sa svornjakom od valjkastih zglobova.

Upornjaci lučnih mostova (sl. 119) preuzimaju vertikalne i horizontalne akcije od lukova, te ih prenaju na tlo. Njihove dimenzije ovise o iznosu sila, kvaliteti tla i dubini temeljenja. Donja ploha temelja obično je horizontalna ili blago nagnuta da bi se povećala stabilnost prema klizanju. Preko donje plohe

prenaša se vertikalna akcija na tlo, a preko vertikalne plohe i trenja (na donjoj plohi) horizontalna akcija. Pri izboru oblika upornjaka treba, također, kontrolirati stabilnost prema prevrtanju. Upornjaci su od masivnog betona, a izrađuju se i laki upornjaci od armiranog betona. Kad je nosivo tlo na većoj dubini, izrađuju se katkada šuplji upornjaci (sl. 120). Krila su obično paralelna. Između njih se ispunjuje prostor dobro nabajenom zemljom. Iznad temelja može se izgraditi i šuplja armiranobetonska konstrukcija s rebrastom kolovoznom konstrukcijom.



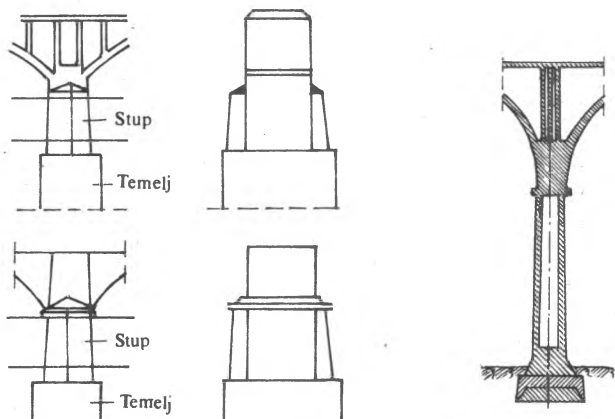
Sl. 119. Nekoliko tipova upornjaka



Sl. 120. Šuplji upornjaci

Duljina masivnih upornjaka iznosi u slabijem tlu $1/3 \dots 1/5$ raspona, već prema stinjenosti luka, a u boljem tlu duljina se upornjaka smanjuje na $1/8 \dots 1/10$ raspona.

Stupovi lučnih mostova bili su nekad masivni, komplikiranih presjeka i promjenljivih nagiba ploha (sl. 121). U težnji za racionalnošću, njihovi oblici kasnije postaju jednostavniji, prilagođeni načinu gradnje, tj. kliznoj ili penjačkoj oplati kad se grade visoki stupovi, odnosno običnoj oplati kad se grade niski stupovi. Na njihove dimenzije utječu akcije s lukova, odnos pokretnog i stalnog opterećenja, visina peta lukova iznad terena, oblik stupa, kvaliteta tla i estetski zahtjevi. Kad su susjedni svodovi različitih raspona, sa strane većeg raspona djeluje veća horizontalna sila. To može zahtijevati asimetrični oblik temelja, dok se stup oblikuje simetrično. Presjeci stupova mogu biti puni ili šuplji. Ako se grade od masivnog betona, mogu imati velike dimenzije zbog znatnih horizontalnih sila. Stupovi od armiranog betona imaju znatno manje dimenzije (sl. 122).



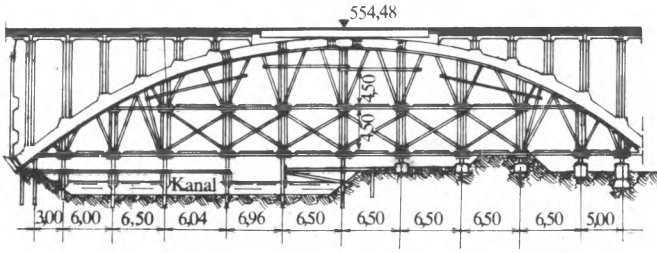
Sl. 121. Stupovi za lučne mostove

Sl. 122. Armiranobeton-ski šuplji stup

Proračun stupova mora obuhvatiti osim njihova dimenzioniranja i sigurnost od prevrtanja i klizanja.

Gradnja lučnih mostova

Najteži i najopasniji dio gradnje lučnih mostova jest gradnja skele. Donedavno gradili su se lučni mostovi na skeli koja se nalazila ispod luka. Skela se sastojala od temeljnih pilota, podupirača, kliješta, nosivih greda i oplate (sl. 123). Pri gradnji



Sl. 123. Drvena skela za gradnju lučnog mosta

kamenih mostova namještali su se na skelu klesanci određenim redom i vezom. U spojnice se stavljao mort, a nekada i olovo, ili su se tako precizno obrađivale spojnica da su klesanci ležali neposredno jedan na drugome. Tokom gradnje betonskih mostova lukovi su se betonirali u lamelama određenim redom, a između lamela ostavljao se razmak, koji se ispunjava betonom tek kad se skela slegla. Napredak u gradnji lučnih mostova ostvaren je gradnjom mosta preko rijeke Elorn kod Plougastela u Bretanji kad je M. E. Freyssinet (1879—1962) izveo lučnu skelu bez podupirača. Iskoristio ju je tri puta, tako da je svaki put uplovio s njom u otvor, jer je tokom plovidbe bila oslođena na pontone (sl. 124). Za gradnju mosta Caille (Francuska)



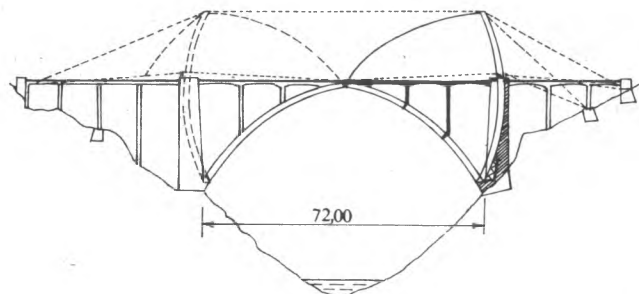
Sl. 124. Ploveća skela za most kod Plougastela

upotrebljena je također lučna skela, ali je bila ovješena u toku gradnje o nosive kabele. Takve skele često su vrhunska dostignuća u drvenim konstrukcijama. Osim drvenih skele, upotrebljavaju se katkada i metalne skele.

Kad su se gradili mostovi na auto-cesti Caracas-La Guaira u Venezueli, Freyssinet je dao ideju da se izgrade armirano-

betonski lukovi pomoću skela ovješenih o kabele. Ta je metoda iskorištavana i za gradnju čeličnih lukova. Po završetku betoniranja prvog odsječka, montirala se skela drugog odsječka ovješena o nove kabele i betonirao se taj odsječak. Postupak bi se ponavljao do srednjeg dijela skele, koji je bio izgrađen na dnu uvale i podignut na svoje mjesto.

Za gradnju velikog luka betonskog mosta preko Dunava kod Novog Sada izvedena je lučna skela od gotovih armirabetonskih elemenata. Za gradnju šibenskog (sl. 125) i paškog mosta projektant je upotrijebio čeličnu skelu duljine 27 m, koja je bila ovješena o čelične kabele. Nakon završenoga betoniranja krajevi očvrslih lamela prihvaćali su se novim zategama, skela se zatim premještala naprijed i ovjesila se o nove kabele. Postupak se ponavljao do završetka luka. Zanimljiva je lučna skela (sl. 126), koja ima dvije polovice od kojih se svaka gradi u vertikalnom položaju da bi se nakon što su izgrađene spustile pomoću zatega prema sredini, gdje se spajaju u cjelinu.

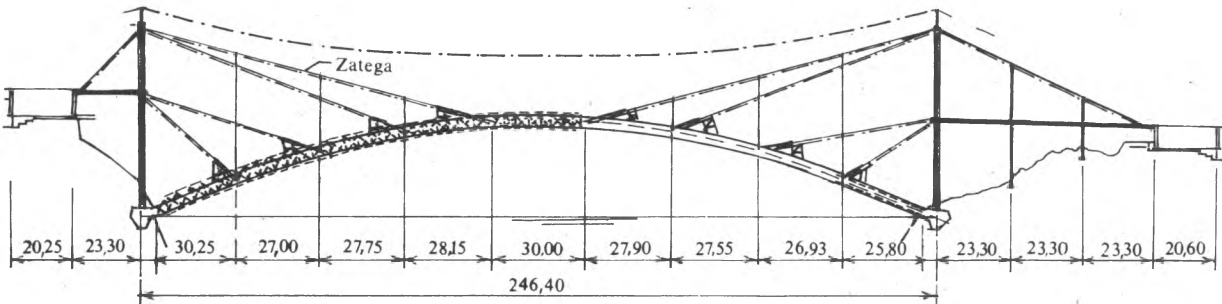


Sl. 126. Vertikalna izvedba polovice luka i spuštanje u konačni položaj

Metode proračuna

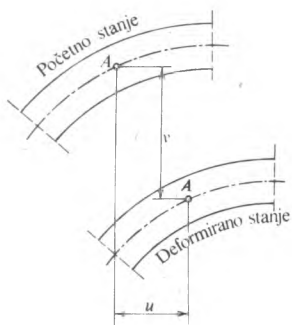
Luk je osnovni nosivi element lučnih mostova. Njegova je glavna karakteristika da u njemu pretežno djeluje tlak, za razliku od višećih mostova gdje je glavni nosivi element uže napregnuto na vlast. Proračun mostova manjih i srednjih raspona provodi se prema približnoj teoriji, dok se za proračun velikih raspona primjenjuje stroga teorija. Da se isključi utjecaj momenata u luku od utjecaja težine, računa se da je os luka potporna linija, koja se dobiva kao verižni poligon za stalno opterećenje. Takvi se momenti ne mogu potpuno eliminirati, jer se luk deformira zbog elastičnosti i plastičnosti materijala, pa zbog toga nastaju dodatni momenti. Međutim, najveći momenti u luku nastaju djelovanjem pokretnog opterećenja. Prema približnoj teoriji dobivaju se momenti i za 25% manji od stvarnih, pa je takva teorija na strani nesigurnosti. Budući da omjer naprezanja od pokretnog i stalnog opterećenja iznosi najviše 0,24, što ovisi o tipu konstrukcije, rasponu i strelici, nastaje pogreška otprilike 6%, koja se može u praksi tolerirati.

Proračunom sigurnosti s obzirom na izvijanje uzimaju se u obzir i pomaci luka v i u prema sl. 127 (točnija teorija). Za vrlo položite lukove dovoljno je računati samo s vertikalnim deformacijama v . Na ponašanje betonskih konstrukcija mnogo utječe plastičnost betona. Naime, djelovanjem sile u dužem razdoblju nastaje plastična deformacija, koja se naziva

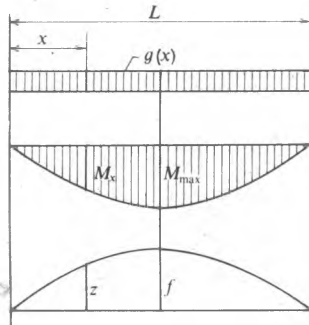


Sl. 125. Konzolna izvedba šibenskog mosta

puzanjem. Puzanje utječe na naprezanje u luku. Za proračun u plastičnom području razlikuju se približna i točnija teorija. Kad se računa djelovanje kritičnih tereta, plastične deformacije ne utječu na izvijanje, jer ono nije ovisno o vremenu.



Sl. 127. Početno i deformirano stanje luka



Sl. 128. Opterećenje $g(x)$, moment M_x i potporna linija $z(x)$

Os luka je linija koja spaja težišta presjeka luka. Optimalna os luka poklapa se s potpornom linijom. Ta se linija proračunava uz pretpostavku da je greda ili konzola statički određena.

Moment stavnog opterećenja u presjeku x (sl. 128) iznosi

$$M(x) = M_0 + H_g z(x), \quad (46)$$

gdje je M_0 moment proste grede, H_g horizontalna komponenta reakcije, a z ordinata luka. Pri poklapanju osi luka s potpornom linijom dobiva se ordinata potporne linije iz relacije

$$z(x) = -\frac{M_0(x)}{H_g}. \quad (47)$$

Maksimalna je horizontalna reakcija kad je $z\left(\frac{1}{2}\right) = f$, $M_0\left(\frac{1}{2}\right) = M_{0\max}$ pa je

$$H_{g\max} = -\frac{M_{0\max}}{f}, \quad (48)$$

gdje je f strelica luka.

Za stalno kontinuirano opterećenje izveo je Legay jednadžbu osi luka. Ordinate osi luka mogu se odrediti pomoću tablice A. Strassnera, F. Köglera i drugih. Radi boljeg izjednačenja maksimalnih i minimalnih momenata koji nastaju djelovanjem pokretnog opterećenja, stezanja i razmicanja upornjaka, katkada se odabire oblik luka koji se razlikuje od potporne linije. To obično nije svrshishodno, jer se time samo premještaju nejednakosti raspodijeljeni momenti od tjemena na obližnje presjekte na osmini raspona, što proizlazi iz točnije teorije.

Linija momenta inercije presjeka luka je optimalna kad se linija momenta otpora W_x poklapa s linijom maksimalnih momenata. Tada su, naime, naprezanja u svakom presjeku približno jednaka. Iz tog uvjeta dobiva se izraz za liniju momenta inercije

$$J_x = J_s \sqrt{\left(\frac{M_s}{M_x}\right)^3}, \quad (49)$$

gdje je J_x moment inercije u presjeku x , J_s moment inercije u tjemenu luka, M_s moment savijanja u tjemenu, a M_x moment savijanja u presjeku x . Da se olakša integracija za poprečno statički neodređene sustave, A. Ritter je izveo za upeti luk sljedeći izraz za liniju momenata inercije:

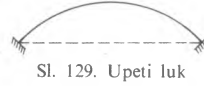
$$\frac{J_s}{J_z \cos \varphi_z} = 1 - (1-n)\xi, \quad (50)$$

gdje je J_s moment inercije u tjemenu luka, J_z moment inercije u presjeku koji odgovara ordinati z , φ_z nagib tangente na luk u točki z prema horizontali, n koeficijent ovisan o omjeru stavnog i pokretnog opterećenja (za cestovne mostove $n = 0,3$,

a za željezničke mostove $n = 0,20 \dots 0,25$), dok je ξ omjer između udaljenosti točke z od tjemena luka i polovice raspona luka.

Osim toga, postoje prijedlozi i drugih autora (npr. R. Valette) za određivanje linije momenata luka.

Upeti luk. To je tri puta statički neodređen sustav (sl. 129). Prikladan je kad je omjer strelice f i duljine l veći od $1/6 \dots 1/7$. Kad je, naime, taj omjer manji, pojavljuju se veliki dodatni momenti zbog elastičnog skraćenja luka, stezanja, razmicanja oslonaca i promjene temperature.



Sl. 129. Upeti luk

Jednadžbe elastičnosti za upeti luk u matričnom obliku glase

$$\begin{bmatrix} \delta_{11} & \delta_{12} & \delta_{13} \\ \delta_{21} & \delta_{22} & \delta_{23} \\ \delta_{31} & \delta_{32} & \delta_{33} \end{bmatrix} \cdot \begin{bmatrix} X_1 \\ X_2 \\ X_3 \end{bmatrix} = \begin{bmatrix} \delta_{10} \\ \delta_{20} \\ \delta_{30} \end{bmatrix} \quad (51)$$

u kojima su δ pomaci, a X sile u elastičnom težištu. Opći je izraz za pomake

$$\delta_{ik} = \int_s \frac{M_i M_k}{EJ(x)} ds + \int_s \frac{N_i N_k}{EF(x)} ds, \quad (52)$$

gdje su M_i i M_k momenti savijanja, N_i i N_k vertikalne sile u promatranih točkama, E modul elastičnosti, J moment inercije, F presjek, a ds element luka. Primjenom elastičnog težišta dobivaju se tri međusobno neovisne jednadžbe:

$$X_1 \delta_{11} + \delta_{10} = 0, \quad X_2 \delta_{22} + \delta_{20} = 0, \quad X_3 \delta_{33} + \delta_{30} = 0, \quad (53)$$

a elastično težište određuje se iz uvjeta $\delta_{12} = \delta_{21} = \delta_{23} = \delta_{32} = \delta_{13} = \delta_{31} = 0$.

Djelovanje vlastite težine, stezanja, razmicanja oslonaca i promjene temperature. Da se postigne veća računska točnost, računa se pri proračunu luka za spomenuta opterećenja da je potporna linija statički određena sustav, pa stoga nema momenata. Smanjenje horizontalne komponente (H_e) zbog stlačivanja luka iznosi

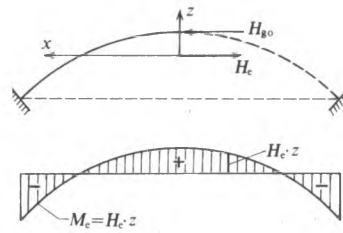
$$H_e = -\frac{\delta_{10}}{\delta_{11}} = -H_{g0} \frac{\int ds''}{\int_{J_c}^{} \cos^2 \beta \int z^2 ds' + \int \cos^2 \varphi ds''}, \quad (54)$$

gdje je H_{g0} horizontalna komponenta reakcije od stavnog opterećenja, J_c moment tromosti u odabranom presjeku, F_c površina odabranog presjeka, ds razmak promatranih presjeka, z ordinata težišta promatranih presjeka, φ nagib tangente na luk u promatranoj presjeku, a β nagib ordinata kroz tjeme luka (kad je luk simetričan, $\beta = 0$), dok su

$$ds' = \frac{J_c}{J} ds, \quad ds'' = \frac{F_c}{F} ds, \quad (55)$$

gdje su J i F moment inercije i površina presjeka promatranoj presjeku.

Sila H_e djeluje u elastičnom težištu, pa stoga momenti od vlastite težine izgledaju kao momenti upete grede (sl. 130). Uz pretpostavku da je luk paraboličan za omjer $f/l = 1/6$ dobiva se $H_e \approx -0,005 H_{g0}$. To znači da se $\sim 0,5\%$ vlastite težine



Sl. 130. Momentna linija sile H_e

prenosi grednim, a ostatak lučnim djelovanjem. Kad je manja strelica f , dobiva se veća vrijednost za H_e . Može se, dakle, zaključiti da nisu pogodni položiti upeti lukovi.

Pomak δ_{a0} zbog stezanja betona, promjene temperature i razmicanja upornjaka iznosi

$$\delta_{a0} = (w_s \pm w_r) Tl + \Delta l, \quad (56)$$

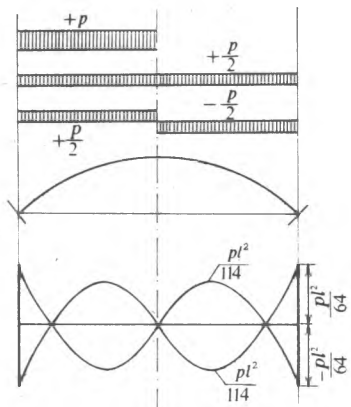
gdje je w_s koeficijent stezanja betona, w_r koeficijent rastezanja, odnosno stezanje betona pri promjeni temperature T , l raspon luka, a Δl razmicanje upornjaka. Prema tome, smanjenje je horizontalne komponente reakcije luka

$$H_s \pm H_T + H_w = -EF_c \frac{(w_s \pm w_r) Tl + \Delta l}{\frac{F_c}{J_c} \cos^2 \beta \int z^2 ds' + \int \cos^2 \varphi ds''} \quad (57)$$

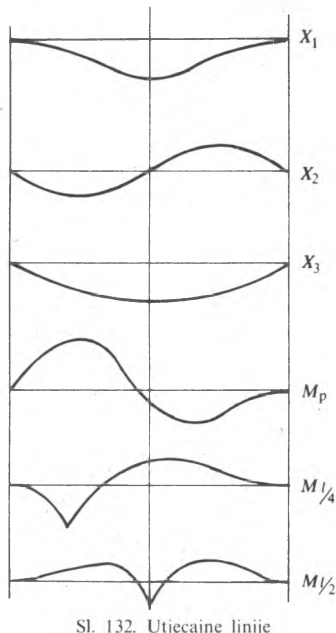
pa su dodatni momenti

$$M = -(H_e + H_s \pm H_T + H_w) z \cos \beta. \quad (58)$$

Djelovanje pokretnog opterećenja. Približan tok momenata u luku djelovanjem pokretnog opterećenja dobit će se kad se optereti polovica luka jednolikom raspodjeljenim opterećenjem p . To opterećenje zamijenit će se simetričnim $+p/2$ i antisimetričnim $\pm p$ (sl. 131). Od simetričnog opterećenja nema momenata u paraboličnom luku. Antisimetrično opterećenje ne provodi horizontalnu reakciju. Zbog toga nastali momenti odgovaraju onima za jednostavno upetu gredu s rasponom $l/2$. U tjemenu moment iznosi $\sim p l^2 / 64$, a u peti $\sim p l^2 / 114$. Točne su vrijednosti $p l^2 / 59$ i $p l^2 / 110$. Za proračun momenata od po-



Sl. 131. Momenati zgloba antisimetričnog opterećenja

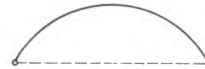


Sl. 132. Utjecajne linije

kretnog opterećenja upotrebljavaju se utjecajne linije statički prekobrojnih veličina X_1 , X_2 i X_3 . One se određuju iz matrice (51). Pri tom se upotrebljava Maxwellov poučak, te se članovi δ_{10} , δ_{20} i δ_{30} zamjenjuju sa δ_{01} , δ_{02} i δ_{03} . Oni predstavljaju linije progiba grede opterećene momentima $X_1 = 1$, $X_2 = 1$ i $X_3 = 1$. Utjecajne linije (sl. 132) dobiju se dijeljenjem δ_{01} , δ_{02} i δ_{03} sa δ_{11} , δ_{22} i δ_{33} , a utjecajne linije za momente dobiju se iz izraza

$$M = M_0 + X_1 M_1 + X_2 M_2 + X_3 M_3. \quad (59)$$

Dvozglobni luk (sl. 133) je jedanput statički neodređen sustav. Prikidan je kad je omjer strelice f i raspona l manji od $1/6 \dots 1/7$ i veći od $1/10 \dots 1/12$. Mostovi s dvozglobnim lukom komplikirani su u konstruktivnom pogledu zbog zglobova.



Sl. 133. Dvozglobni luk

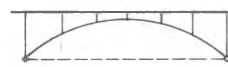
Osim toga, izradbe zglobova i njihovo održavanje poskupljuje građevinu. Kad je kolnik dolje i kad je on upušten, horizontalnu akciju preuzima zatega, a gornji i donji pojasci međusobno su spojeni vješaljkama. Budući da se ne mijenjaju razmaci između vlačnog i tlačnog pojasa, nema momenata zbog deformacija i, prema tome, ne postoji ni opasnost od izvijanja u ravni luka. Proračun momenata savijanja od vlastite težine polazi od statički određenog luka, jer je tada veća računska točnost.

Dvozglobni luk s kolnikom iznad luka (sl. 134) skraćuje se zbog pritiska. Jednadžba elastičnosti glasi

$$\delta_{10} + H_e \delta_{11} = 0, \quad (60)$$

gdje je δ_{10} pomak od stalnog opterećenja u smjeru sile H_e , a δ_{11} pomak djelovanjem sile $H_e = 1$. Smanjenje sile H_e zbog skraćenja luka iznosi

$$H_e = -\frac{\delta_{10}}{\delta_{11}} = -H_{g0} \frac{\int ds''}{\frac{F_c}{J_c} \int z^2 ds' + \int \cos^2 \varphi ds''}. \quad (61)$$



Sl. 134. Dvozglobni luk s kolnikom iznad luka

Značenje oznaka navedeno je uz relaciju (54). Za luk s omjerom $f/l = 10$ dobiva se $H_e = -0,005 H_{g0}$, što znači da 0,5% vlastite težine prenosi grednim djelovanjem. Ako se, međutim, tome doda djelovanje puzanja, promjene temperature i razmicanja oslonaca, nastaju momenti $M_e = H_e z$ koji imaju oblik potporne linije. Pomaci zbog spomenutih utjecaja određuju se prema relaciji (56), pa je smanjenje horizontalne komponente reakcije luka

$$H_s \pm H_T + H_w = -EF_c \frac{(w_s \pm w_r) Tl + \Delta l}{\frac{F_c}{J_c} \int z^2 ds' + \int \cos^2 \varphi ds''}. \quad (62)$$

Zbog smanjenja te komponente nastaju dodatni gredni momenti

$$M = (H_e + H_s \pm H_T + H_w) z. \quad (63)$$

Dvozglobni luk sa zategom i s upuštenim kolnikom ili kolnikom ispod luka. Horizontalna se akcija prihvata zategom, pa nema djelovanja razmicanja oslonaca. Sila H_e , međutim, postaje veća jer se skraćenju luka pribraja produljenje zatege, pa se djelovanje stalnog opterećenja izračunava iz relacije

$$H_e = -H_{g0} \frac{\int ds'' + kl}{\frac{F_c}{J_c} \int z^2 ds' + \int \cos^2 \varphi ds'' + kl}, \quad (64)$$

gdje je

$$k = \frac{EF_c}{E_c F_c}. \quad (65)$$

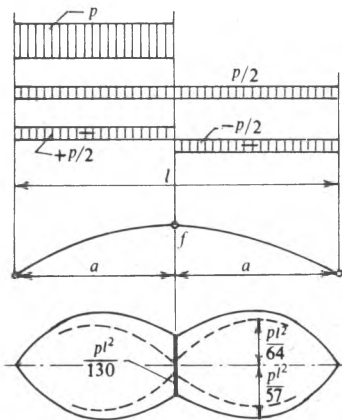
U relaciji (65) veličine s indeksom e odnose se na zategu. Za omjer $f/l = 1/6$ i čeličnu zategu ($\sigma_c = 21 \text{ kN/cm}^2$) dobiva se da je $H_e \approx -0,024 H_g$, što je za oko pet puta veće nego za dvozglobni luk s kolnikom iznad luka. Zbog stezanja betona i promjene temperature pojavljuju se dodatne horizontalne sile

$$H_s \pm H_T = -EJ_c \frac{(w_s \pm w) Tl}{\int_c^F z^2 ds' + \int \cos^2 \varphi ds'' + kl} \quad (66)$$

i dodatni momenti

$$M = (H_c + H_s \pm H_T)z. \quad (67)$$

Djelovanje pokretnog opterećenja. To se djelovanje određuje pomoću utjecajnih linija. Tako se dobiju momenti, koji iznose za parabolične lukove u tjemenu $M = \pm pl^2/130$, a u četvrtini raspona $M = \pm pl^2/64$ (sl. 135). Pri proračunu utjecajnih linija



Sl. 135. Momentna linija od antisimetričnog opterećenja $\pm p/2$

polazi se od statički određene grede, a ne od statički određenog luka, kako se računa utjecaj stalne težine. Utjecajna je linija za nepoznatu horizontalnu reakciju X_1

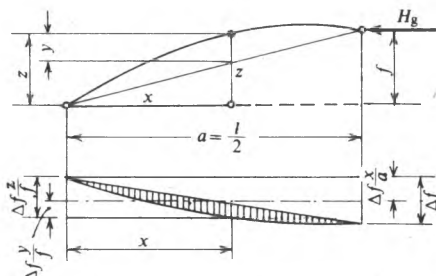
$$X_1 = \frac{\delta_{10}}{\delta_{11}} = -\frac{\delta'_{01}}{\delta_{11}}. \quad (68)$$

To znači da se utjecajna linija X_1 dobiva kao progibna linija za $X_1 = 1$ podijeljena sa δ_{11} . Korisno je računati s momentima jezgre, jer se tako eliminira utjecaj pripadnih normalnih sila.

Trozglobni luk statički je određen sustav. Prikladan je za vrlo spljoštene lukove koji imaju omjer $f/l = 1/10 \dots 1/12$.

Djelovanjem stalnog opterećenja, stezanja, promjene temperature, razmicanja upornjaka i puzanja os se luka deformira, zbog toga se tjeme spušta, te nastaju dodatni momenti u luku.

Svako horizontalno skraćenje polovice luka daje za a/f veće spuštanje tjemena luka, gdje je a polovica raspona, a f strelica luka (sl. 136). Tjeme se luka spušta zbog izmicanja



Sl. 136. Momentna linija zbog djelovanja Δf

oslonaca Δl za

$$\Delta f_w = \frac{a \Delta l}{2f}, \quad (69)$$

zbog promjene temperature T za

$$\Delta f_T = \pm w T \frac{a^2 + f^2}{f}, \quad (70)$$

zbog stezanja betona za

$$\Delta f_s = w_s T \frac{a^2 + f^2}{f}, \quad (71)$$

a zbog skraćenja luka za

$$\Delta f_E = \frac{H_g}{E F_c} \left[\frac{a}{f} \int \frac{F_c}{F(x) \cos \varphi} dx + \int \frac{F_c}{F(x) \cos \varphi} dy \right]. \quad (72)$$

Ukupno spuštanje tjemena iznosi

$$\Delta f = \Delta f_w + \Delta f_T + \Delta f_s + \Delta f_E, \quad (73)$$

a moment

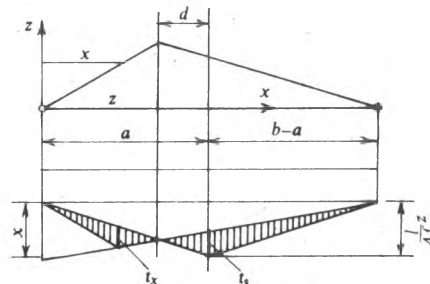
$$M = M_w + M_T + M_s + M_E = H_g \frac{y}{S} \Delta f. \quad (74)$$

Iz toga proizlazi da se s povećanjem ordinate y povećavaju i momenti. Dodatni se momenti smanjuju nadvišenjem luka pa je nakon spuštanja os luka jednaka potpornoj liniji. Spuštanje je luka, međutim, zbog puzanja vremenska funkcija, pa se ukupno spuštanje tjemena može prikazati funkcijom

$$\Delta f(t) = \Delta f_w + \Delta f_T + \Delta f_s \frac{\varphi(t)}{\varphi_m} + \Delta f_E [1 + \varphi(t)], \quad (75)$$

gdje je $\varphi(t)$ koeficijent puzanja u trenutku t . Očigledno je da je nemoguće oblikom luka koji je različit od potporne linije potpuno ukloniti momente koji nastaju spuštanjem tjemena. Uz malu sigurnost prema izvijanju bitno je da se poduzmu mјere da os luka zadrži oblik potporne linije. Razlog je u tome, što spomenuti momenti čine, kad se pređe iz približne teorije na strogu, deformacije koje dalje povećavaju momente.

Djelovanje pokretnog opterećenja izračunava se pomoću utjecajnih linija. U presjeku x (sl. 137) utjecajne linije se sastoje od



Sl. 137. Utjecajna linija momenta jezgre u peti luka

utjecajnih linija proste grede i djelovanja sile H . Za jednoliko raspodijeljeno opterećenje ekstremni momenti iznose:

$$M_{\max} = \frac{pl^2}{8} \left(\frac{2}{\eta + \xi} - 1 \right) \xi^2, \quad (76)$$

$$M_{\min} = -\frac{pl^2}{8} \eta \frac{\eta - \xi}{\eta + \xi}, \quad (77)$$

gdje su

$$\xi = 2 \frac{x}{l}, \quad \eta = \frac{z}{f}. \quad (78)$$

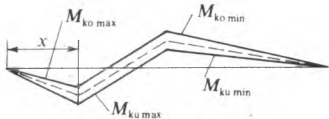
Momenti jezgre $M_{k0\min}$ i $M_{k0\max}$ mjerodavni su za proračun tlačnih naprezanja, a momenti $M_{ku\max}$ i $M_{ku\min}$ za proračun vlačnih naprezanja. Budući da momenti plohe mjerodavni za ta naprezanja nisu jednaki (sl. 138), oni se mogu izjednačiti ako se

potporna linija za vlastitu težinu podigne ili spusti za

$$\Delta y = \frac{M_{ku\max} + M_{ko\min}}{2H_g} \quad (79a)$$

ili za

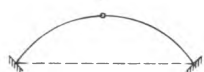
$$\Delta y = \frac{M_{ko\max} + M_{ku\min}}{2H_g} \quad (79b)$$



Sl. 138. Usporedba utjecajnih linija momenata u gornjoj i donjoj jezgri, te momenata u osi luka

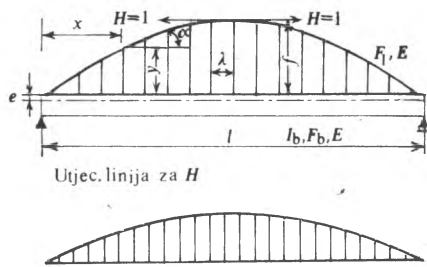
Kad su svodovi položiti i s velikim rasponima, tlačna su naprezanja velika. Da bi se ta naprezanja smanjila, provodi se opisano izjednačenje. Takav svod naziva se Engesserovim svodom. Kad su svodovi s malim rasponom ili s velikom strelicom, naprezanja su zbog vlastite težine mala, pa je potrebno izjednačiti vlačna naprezanja. Takav se svod naziva vlačnim svodom.

Jednozglobni svod (sl. 139) ne preporuča se za gradnju, jer točnija teorija pokazuje da zbog deformacije tjemena i četvrtine luka nastaju vrlo nepovoljni dodatni momenti.



Sl. 139. Jednozglobni luk

Langerova greda sastoji se od krute grede ojačane vitkim lukom (sl. 140). Sustav je unutrašnje grede jedanput statički



Sl. 140. Utjecajne linije za H i M_x na Langerovoj gredi

neodređen. Računa se s prekobrojnom silom H , koja se određuje iz relacije

$$H = - \frac{l^2 \left[\frac{l}{2}(\xi - \xi^2) + \frac{f}{3}(\xi - 2\xi^3 + \xi^4) \right]}{l \left(e^2 - \frac{2}{3}fe + \frac{1}{5}f^2 \right) + \frac{J_b l}{F_b} + \frac{E''_b J_b}{E'_b F_a} \sum \sec^2 \alpha_m} \quad (80)$$

gdje je l raspon luka, $\xi = \frac{x}{l}$, f strelica luka, e ekscentričnost priključka luka na težiste grede za ukrućenje, J_b moment inercije grede za ukrućenje, F_b površina presjeka grede za ukrućenje, F_a površina presjeka luka, E'_b modul elastičnosti betona luka (tlak), E''_b modul elastičnosti betona grede (vlak), a α_m

nagib tangente na luk u promatranoj presjeku. Momenti savijanja u gredi iznose:

$$\text{ležaj} \quad M_l = -He, \quad (81a)$$

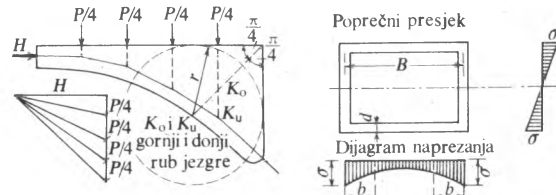
$$\text{presjek } x \quad M_x = M_{x0} - H(y + e), \quad (81b)$$

gdje je M_{x0} moment proste grede, a y vertikalna udaljenost od presjeka luka do linije djelovanja sile H . Sila je u vješljici

$$V_m = H \frac{8f\lambda}{l^2} \quad (82)$$

gdje je λ razmak vješljki. Prema tome, sile su u svim vješljikama jednake.

Lučni zidovi izvode se samo kao statički određeni sustavi s tri zgloba, jer su u statički neodređenim sustavima znatni utjecaji zbog promjene temperature, skupljanja betona i razmicanja upornjaka (zbog velike krutosti konstrukcije). Sile i momenti u presjecima računaju se kao za trozglobni luk. Naprezanja se pak računaju s nekim ograničenjima. H. Bay je ispitivao takve konstrukcije fotoelastičnim metodama i utvrdio da za njih ne vrijedi Navierova hipoteza o ravnim presjecima. Budući da uuglovi ne sudjeluju u radu presjeka, Bay preporučuje da se u proračun uzme samo dio presjeka omeden krugom (sl. 141).



Sl. 141. Djelovanje lučnog zida prema Bayu

Puzanje je plastični proces tokom kojega se beton skraćuje kad na njega duže vremena djeluje stalno opterećenje. Na temelju pokusa ustanovljeno je da za puzanje vrijedi Hookeov zakon. Prema tome, deformacije zbog puzanja proporcionalne su trajnim naprezanjima. Izraz za sporu deformaciju glasi

$$\epsilon_k = \frac{\sigma_b}{E_b} \varphi_t, \quad (83)$$

gdje je σ_b naprezanje betona, E_b modul elastičnosti betona, φ_t koeficijent puzanja u trenutku t . Za beton vrijedi

$$\varphi_t = \varphi_0 K_1 K_2, \quad (84)$$

gdje je φ_0 koeficijent puzanja za $t = \infty$, K_1 utjecaj stupnja otvrđivanja na puzanje, a K_2 utjecaj vremenskog toka puzanja i stezanja. Pri računu puzanja uzima se radi jednostavnosti da je E_b konstantno. Za smanjenje sile H zbog elastičnog skraćenja betona, stezanja i razmicanja oslonaca vrijede sljedeće relacije za upeti i dvozglobni luk:

$$H_e = - \frac{H_{g0}}{\delta_{11}} \int \frac{ds}{EF}, \quad H_s = - \frac{w_s Tl}{\delta_{11}}, \quad H_w = - \frac{\Delta l}{\delta_{11}}. \quad (85)$$

Zbog puzanja luk se skraćuje, i zato nastaje horizontalna reakcija $H(t)$ kao funkcija vremena t . Da se odredi ta reakcija, treba poći od sljedeće diferencijalne jednadžbe, koja se dobiva iz uvjeta da je za svaki vremenski razmak t promjena raspona luka jednaka nuli:

$$\begin{aligned} & \frac{w_s Tl d\varphi(t)}{\varphi_u} + H_{g0} \frac{d\varphi(t)}{dt} \int \frac{ds}{EF} + (H_e + H_w) \delta_{11} \frac{d\varphi(t)}{dt} + \\ & + H(t) \delta_{11} \frac{d\varphi(t)}{dt} + \frac{dH(t)}{dt} \delta_{11} = 0. \end{aligned} \quad (86)$$

Prvi član prikazuje utjecaj stezanja betona, a jer je stezanje afina krivulja puzanja, taj je član pomnožen sa $\frac{d\varphi(t)}{dt}$. Drugi

član predstavlja skraćenje raspona zbog centričnog puzanja, a dobiva se množenjem elastičnog skraćenja sa $\frac{d\varphi(t)}{dt}$. Treći član je elastična promjena raspona H_e i H_w za $t = 0$ pomnožena sa $\frac{d\varphi(t)}{dt}$ da se dobije plastična promjena. Reakcija $H(t)$ je veličina koju treba odrediti, a ona proizvodi elastičnu deformaciju $H(t)\delta_{11}$. Da se uzme u obzir utjecaj vremena, mora se množiti s $\frac{d\varphi(t)}{dt}$. S porastom $H(t)$ u vremenskom intervalu dt

za $dH(t)$ nastaje elastična deformacija $\frac{dH(t)}{dt}\delta_{11}$. Budući da je

$$H_e \delta_{11} = -H_{e0} \int \frac{ds}{EF} \quad (87a)$$

$$w_s Tl = -H_s \delta_{11}, \quad (87b)$$

diferencijalna jednadžba (86) postaje jednostavnija, pa je

$$\frac{dH(t)}{dt} + H(t) \frac{d\varphi(t)}{dt} + \left(H_w - \frac{H_s}{\varphi_u} \right) \frac{d\varphi(t)}{dt} = 0. \quad (88)$$

Rješenjem diferencijalne jednadžbe dobiva se

$$H(t) = \left(\frac{H_s}{\varphi_0} - H_w \right) (1 - e^{-\varphi(t)}). \quad (89)$$

U rješenju se ne pojavljuje sila H_e , pa, prema tome, puzanje nema utjecaja na silu H .

Stezanje se može odrediti iz relacije

$$H_s(t) = \frac{H_s}{\varphi_u} (1 - e^{-\varphi(t)}). \quad (90)$$

$H_s(t)$ postiže najveću vrijednost kad je $t = t_u$, odnosno $\varphi(t) = \varphi_u = m$. Koeficijent m može doseći vrijednost H , tj. plastične deformacije mogu s vremenom postati i četiri puta veće. Sila $H_s(t)$ može se prikazati kao funkcija koeficijenta m , i to pomoću faktora $k_s(m)$ kojim treba množiti stacionarnu vrijednost sile H_s . Faktor $k_s(m)$ ima sljedeće vrijednosti:

m	0	1	2	3	4
$k_s(m)$	1,000	0,632	0,433	0,317	0,245

Prema tome, puzanje veoma smanjuje silu i moment koji nastaju zbog stezanja.

Razmicanje oslonaca može se odrediti iz relacije

$$H_w(t) = H_w e^{-\varphi(t)}. \quad (91)$$

Uvođenjem koeficijenta m može se $H_w(t)$ prikazati kao funkcija tog koeficijenta, i to pomoću faktora $k_w(m)$ koji ima analogno značenje kao faktor $k_s(m)$. Faktor $k_w(m)$ ima sljedeće vrijednosti:

m	0	1	2	3	4
$k_w(m)$	1,000	0,368	0,135	0,050	0,018

Prema tome, momenti koji nastupaju razmicanjem oslonaca skoro potpuno isčezavaju kad je $m = 4$.

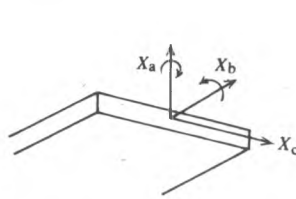
Za dvozglobni luk sa zategom dobiva se kao rješenje diferencijalne jednadžbe izraz

$$H(t) = \left(\frac{H_s}{\mu \varphi_0} - H_{ez} \right) (1 - e^{-\mu \varphi(t)}), \quad (92)$$

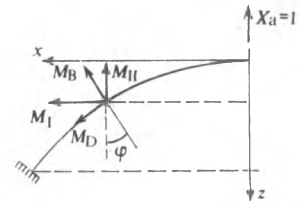
gdje je H_{ez} horizontalni potisak zbog produženja zatege. Iz (92) vidi se da se koeficijent puzanja tek neznatno mijenja.

Djelovanje sile okomito na os mosta. Te sile mogu nastati djelovanjem vjetra, centrifugalnih sile, horizontalnih udaraca na tračnice i seizmičkih sile. Analizirat će se samo djelovanje vjetra, jer je za ostale sile jednaka osnova proračuna. Poprečni presjek luka može biti pun ili šuplj s velikom torzijskom krutošću, sastavljen od dva ili više lukova s malom torzijskom krutošću.

Luk s velikom torzijskom krutošću. Pretpostavlja se simetrično opterećenje. Ako se luk presječe u sredini, dobivaju se tri statički neodređene veličine: X_a , X_b i X_c (sl. 142). Zbog simetrije luka torzijski je moment $X_b = 0$, što vrijedi i za poprečnu silu, pa je $H_e = 0$. Ostaje moment savijanja $X_a = \delta_{a0}/\delta_{11}$.



Sl. 142. Statički neodređene veličine



Sl. 143. Moment savijanja M_B i torzijski moment M_D

Najprije se proračunavaju M_B^0 i torzijski momenti M_D^0 na statički određenom sustavu, te se određuju u pojedinim presjecima momenți M_I^0 i M_{II}^0 od sile vjetra (sl. 143). Dobiva se

$$M_B^0 = M_I^0 \sin \varphi + M_{II}^0 \cos \varphi, \quad (93)$$

$$M_D^0 = M_I^0 \cos \varphi + M_{II}^0 \sin \varphi, \quad (94)$$

$$X_a = -\frac{\int M_B^0 \cos \varphi \frac{ds}{FJ_H} - \int M_D^0 \sin \varphi \frac{ds}{GJ_D}}{\int \cos^2 \varphi \frac{ds}{EJ_H} + \int \sin^2 \varphi \frac{ds}{GJ_D}}. \quad (95)$$

Proračun za vjetar nije potreban ako je omjer širine i raspona svoda veći od 1/10.

Luk s malom torzijskom krutošću. Obično se presjek sastoјi od dva luka međusobno spojena vjetrovnom spregom ili prečkama. Iz uvjeta ravnoteže sile dobiva se

$$N = \frac{Q}{b}, \quad (96)$$

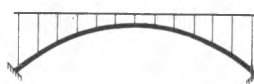
gdje je Q poprečna sila i b razmak lukova. Ta se sila rastavlja u okomitu i horizontalnu komponentu:

$$dH = \frac{Q}{b} dx, \quad dV = \frac{Q}{b} \tan \varphi dx. \quad (97)$$

Pomoću tih sile mogu se izračunati momenti savijanja u ravnini nosača. Na drugi luk djeluju sile s protivnim predznakom.

Konstrukcija kolnika iznad luka. Takvim smještanjem kolnika smanjuju se deformacije luka, pa prema tome luk i kolnik zajedno sudjeluju u prenošenju opterećenja.

Ispitivanja tih djelovanja pokazala su da izmjereni progibi iznose prosječno 60% od proračunskih, a naprezanja 50...75% od proračunskih. Što je kruća konstrukcija kolnika, to je veći njezin utjecaj na luk. Većinom se grade vrlo kruti lukovi i vitke kolovozne konstrukcije (sl. 114), pa je tada utjecaj kolnika mali. Međutim, može se izvesti vitki luk i vrlo kruta kolovozna



Sl. 144. Kruti luk i vitka kolovozna konstrukcija



Sl. 145. Vitki luk i kruta kolovozna konstrukcija

konstrukcija (sl. 145). Tada kolovozna konstrukcija preuzima momente, a luk osne sile. Kad su luk i kolovozna konstrukcija približno iste krutosti, nastaje složeno stanje s mnogo statički neodređenih veličina, što ovisi o broju stupica. Prije su se izbjegavala takva rješenja zbog opsežnosti proračuna. Danas je takav proračun moguć upotrebom elektroničkog računala. Sudjelovanje nosača kolnika u radu luka prednost je za luk, ali mana za kolovozne nosače i stupove, koji preuzimaju dodatne momente.

Stabilnost lučnih mostova potrebno je utvrditi, osobito kad su lukovi vitki. Stabilnost se određuje proračunom ravnog štapa iste krutosti. Duljina izvijanja toga štapa iznosi $l_k = l$, gdje je l raspon luka. Kritična sila iznosi

$$N_{kr} = \frac{H_{kr}}{\cos \varphi} = \frac{\pi^2 E J_{sr}}{(\alpha l)^2}. \quad (98)$$

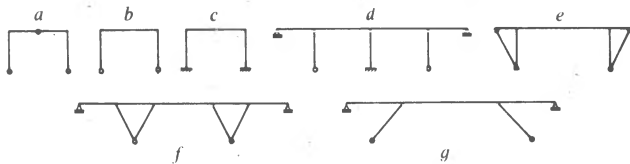
Za lukove s tjemenim zglobom mjerodavno je simetrično opterećenje (simetrično izvijanje), a za ostale lukove i svodove antisimetrično izvijanje. To je izvijanje mjerodavno i za svodove s tjemenim zglobom kad imaju visoku strelicu. Točan proračun izvijanja utvrđuje se prema točnijoj teoriji. Stabilnost u poprečnom smjeru treba ispitivati za uske svodove i rebra. Tu se može za omjer $f/l \leq 0,25$ uzeti ravni štap, kojemu je duljina jednak rasponu l , a normalna sila jednaka H . Proračunata armatura ne smije se smanjiti ni u jednom presjeku luka. Za postotak armature $\mu \geq 0,8\%$, prema DIN 1045, te za $f/l = 0,1 \dots 0,5$ vrijednost α u (98) iznosi: upeti luk 0,356 … 0,545, jednoglobni luk 0,478 … 0,593, dvozglobni luk 0,518 … 0,89 i trozglobni luk 0,584 … 0,890. Sigurnost u odnosu na izvijanje za armirani beton sa $\mu_0 \geq 0,8\%$ jest $v = 1,8$, a za $\mu_0 < 0,8\%$ iznosi $v = 3,0 \dots 1,56 \mu_0$.

Prilagodavanje naprezanja. Postoje različiti postupci za prilagodavanje naprezanja, i to: a) postavljanje osi luka tako da odstupa od potporne linije, b) ugradnja privremenih zglobova i c) upotreba hidrauličkih dizalica, koje se stavljuju u tjeme luka, osim kad je luk sa zategom, pa se tada dizalice stavljuju na jednom kraju zatege. Naprezanje se prilagođuje radi što boljeg izjednačivanja maksimalnih i minimalnih momenata koji nastaju djelovanjem pokretnog tereta, stezanja i razmicanja upornjaka. Stroga teorija deformacija pokazuje da odmicanje osi luka od potporne linije ne donosi nikakve prednosti. Prema tome je krivo mišljenje da se time isključuju momenti. Oni će se, naime, samo premjestiti od tjemena prema susjednim presjecima na osmini raspona. Osim toga, nastaju novi momenti zbog elastičnih i plastičnih deformacija. Freyssinet je 1908. prvi primijenio hidraulične dizalice radi otpuštanja skele. Zbog pokretnog opterećenja pojavljuju se u parabolicičnim lukovima po absolutnoj vrijednosti jednak maksimalni i minimalni momenti. Međutim, veći momenti mogu nastati djelovanjem sila H_e , H_s i H_T . U tjemenu npr. vladaju veliki pozitivni i mali negativni momenti, a u peti luka je obrnuto, što traži znatno pojačanje luka. Budući da su stezanje i puštanje vremenske pojave koje djeluju duže vremena, ne mogu se takvi momenti ukloniti primjenom dizalica u trenutku $t = 0$.

Proračun stupova i upornjaka lučnih mostova. Oni se proračunavaju pomoću utjecajnih linija momenata jezgre za osnovne sile (vlastita težina, akcija stalne težine nosive konstrukcije, akcija pokretnog tereta, tlak zemlje, hidrostatski tlak), za dopunske sile (kocenje, vjetar, temperatura, led) i za osobite sile (potres). Osim dokaza o naprezanju potrebno je dokazati stabilnost s obzirom na prevrtanje i klizanje.

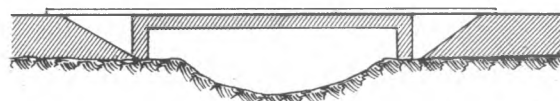
OSTALE VRSTE MASIVNIH MOSTOVA

Okvirni mostovi nastaju krutim povezivanjem nosive konstrukcije sa stupovima i eventualno s upornjacima (sl. 146).

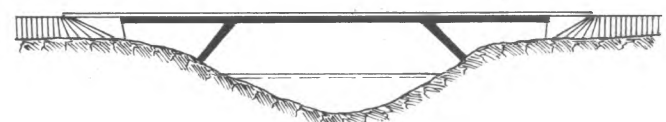


U statičkom pogledu nastaju na njihovu sastavu negativni momenti koji smanjuju pozitivne. Spomenuti momenti ovise o omjeru krutosti greda i stupova. Takvim mostovima može se postići najmanja konstruktivna visina. Presjeci su im isti kao u grednih mostova. Karakteristika je takvih sustava da osim momenta savijanja djeluje i normalna sila. Ako je tlo dobro, treba primijeniti okvire s upetim stupovima. Ako tlo nije povoljno, mogu se izvesti stupovi sa zglobovima, dvozglobni ili trozglobni okviri. Do raspona od 15 m primjenjuje se meka armatura, a za veće raspone treba okvir izvesti od prednapregnutog betona. Zanimljive su razuporne konstrukcije s rasponima i do 170 m.

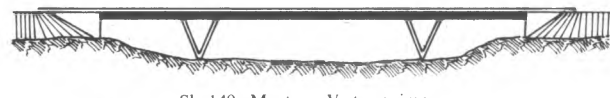
Okvirni mostovi mogu se izvesti sa jednim (sl. 147) i s više otvora. Stupovi se izvode vertikalno, koso ili u obliku slova V. Konstrukcija s kosim stupovima naziva se most s razuporom (sl. 148). To je moderna konstrukcija s malim utroškom materijala. Izvodi se kad je tlo dobre kvalitete. Jedno vrijeme su bile u modi konstrukcije sa V-stupovima (sl. 149). Visoki vijadukti grade se katkada u srednjem dijelu kao okviri radi preuzimanja horizontalnih sila, a u ostalim dijelovima kao kontinuirani nosači (sl. 150).



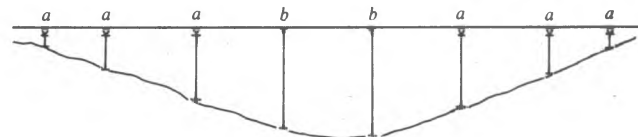
Sl. 147. Okvirni most s jednim rasponom



Sl. 148. Most s razuporom

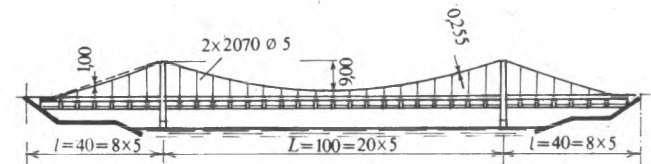


Sl. 149. Most sa V-stupovima



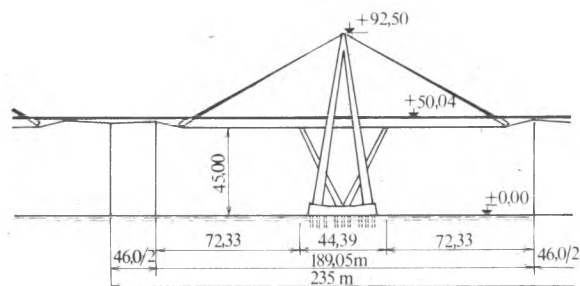
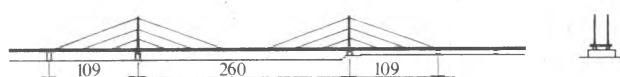
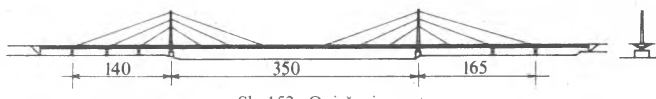
Sl. 150. Vijadukt. a pokretni ležaj, b nepokretni ležaj

Viseći mostovi. Osnovni su elementi visećeg mosta: kabeli, piloni i nosač za ukrućenje. Bitna je razlika između visećih i ovješenih mostova u proračunu, te u položaju kabela. Proračun visećih mostova temelji se na točnijoj teoriji. Viseći se kabeli sastoje obično od dva glavna nosiva kabela (može biti i jedan), koji idu uzduž čitavog mosta. Na njih je preko vješaljka ovješen nosač za ukrućenje. Konstrukcije kabela, pilona i greda za ukrućenje principijelno su jednake za viseće i ovještene mostove. Mogu se izgraditi takvi mostovi sa jednim ili dva pilona, koji mogu biti vertikalni ili nagnuti. Nekoliko mostova takvog tipa izgrađeno je u Belgiji (sl. 151) i Norveškoj. U praksi dosad nisu našli na veću primjenu.



Sl. 151. Viseći most s armiranobetonском kolovoznom konstrukcijom

Ovješeni mostovi. Za velike raspone, za koje gredni mostovi nisu više ekonomični, sve više se primjenjuju ovješeni mostovi, tj. mostovi s ravnim kabelima koji nose kolovozne konstrukcije. Sastoje se od kabela, pilona i kolovozne konstrukcije. Kabeli mogu biti od paralelnih ili spiralno pletenih žica, a zaštićeni su premazima ili plastičnim materijalima s injekcijskom masom ili betonom. Piloni su od armiranog betona šupljeg presjeka. Kolovozne konstrukcije su od prednapregnutog betona, eventualno od lakog betona većinom sandučastog presjeka, s jednom ili više celija. Ako se upotrebljava malo kabela s velikim razmacima ovješenja, može se most promatrati kao gredni nosač



Sl. 155. Ovješeni most (Maracaibo)

s međustupovima (sl. 152). Visina i krutost grede mora tada odgovarati rasponima. Tendencija je, međutim, da se primjeni gusta lepeza kabela (sl. 153). Most se može tretirati više kao konzola kojoj je greda donji pojaz, a kosi kabeli gornji pojaz. Budući da su mjesta ovješenja kabela malo razmaknuta, greda je vrlo vitka, te je treba kontrolirati na izvijanje. Kabeli mogu biti ovješeni u obliku lepeze (sl. 153), što je u tehničkom pogledu bolje, ili u obliku harfe (sl. 154), što je ljepše. Mogu se smjestiti u jednoj ravnini u sredini mosta, ili u dvije ravnine na rubovima. Zanimljivi su, iako nisu lijepi, neki mostovi Morendija (sl. 155).

Rešetkasti mostovi. Njihova primjena vrlo je rijetka, iako ima nekoliko vrijednih mostova takve vrste. Nastali su kao rezultat

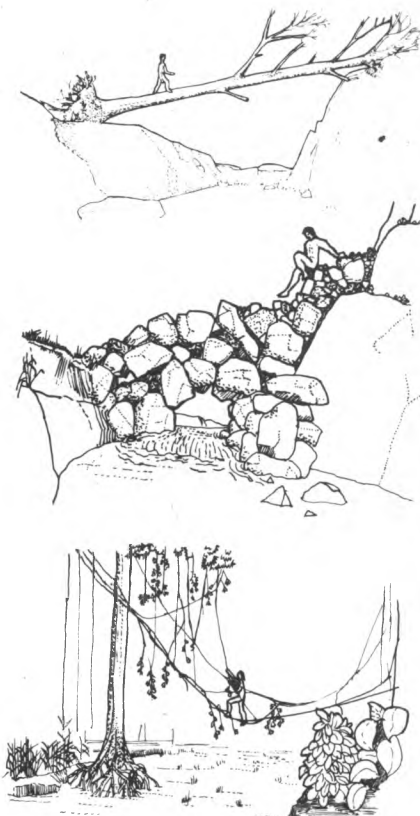


nastojanja da se glavni nosači što više olakšaju. Izgrađeni su s upuštenim kolnikom (sl. 156) i s kolnikom s gornje strane. Rešetka se sastoји od gornjeg i donjeg pojasa, te ispune koja je trokutastog ili rombičnog oblika. Rešetkasti mostovi prikladni su za montažnu gradnju, iako se rijetko izvode zbog složene gradnje.

Zategnuti mostovi. Osnovni je element zategnutih mostova prednapregnuta traka, koja prelazi preko stupova s jakim konzolama. Upeta je na oba kraja u upornjake (sl. 157). Između konzola nalazi se vrlo tanka ploča (do 30 cm), u kojoj su smještene prednapregnute šipke na najmanjem mogućem međusobnom razmaku.

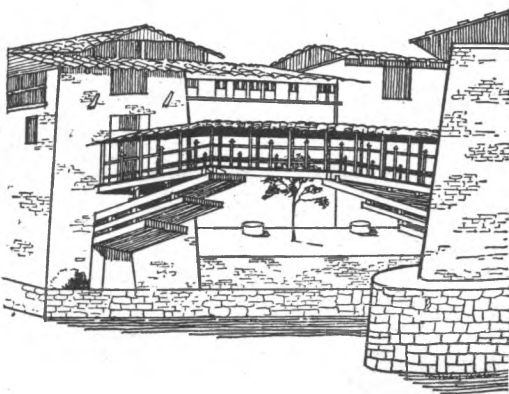
RAZVOJ MASIVNIH MOSTOVA

Prve mostove stvarala je priroda sama: oborenno stablo preko potoka, luk stvoren erozijom, lijana obješena s jednog stabla na drugo preko bujice i sl. (sl. 158). To su ujedno i prototipovi grednih, lučnih i visecičih mostova. Prvi građeni mostovi bili su drveni (v. *Mostovi, drveni*). Iz rimskog doba poz-



nati su drveni mostovi: Cezarov preko Rajne i Trajanov preko Dunava. U Švicarskoj, SAD, Njemačkoj i Francuskoj nalaze se i danas vrijedni drveni mostovi. Prvi kameni mostovi bile su ploče. Sa tehničkim razvitkom čovjek je počeo graditi stupove od kamena, te su tako nastali mostovi s više otvora (sl. 159). Egipćani i Babilonci znali su graditi kamene pločaste mostove. Asirski vojni inženjeri bili su vrsni graditelji pontonskih mostova. Njihovu tehniku razvili su dalje Perzijanci. Kserko je uspio pomoći 614 lađa premostiti Helespont. Sumeranci su \leftarrow 3500. godine gradili svodene mostove od opeka, jer nisu imali kamena. Za vrijeme treće dinastije (\leftarrow 2980... \leftarrow 2475) Egipćani su poznavali gradnju svodenih mostova. U Južnoj i Sjevernoj Americi, sjevernoj Indiji, središnjoj Africi, Kini i drugdje gradili su se viseci mostovi. Užeta su pletena od ljiana, vlaknastih korijena agave i sl. Gradnja mostova u Kini započela je oko \leftarrow 2200. za vrijeme cara Yao. Prvi mostovi bili su pontonski. Kinezi su također gradili gredne, osobito konzolne mostove (sl. 160) od drva i kamena, a viseće od drva s užetima od biljaka.

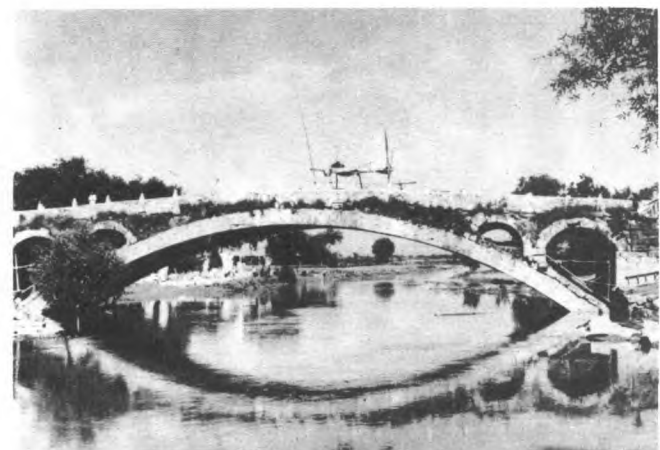
Lučni mostovi. Rimljani su gradili mostove od drva, opeke, kamenih ploča, no poznati su po svojim kamenim svodenim



Sl. 160. Tip drvenog konzolnog mosta



Sl. 161. Pont du Gard kod Nîmesa u južnoj Francuskoj



Sl. 162. Kineski kameni most iz VII st.

mostovima i akveduktima. Gradnju mostova naučili su od Etruščana, te je razvili i u tehničkom i u umjetničkom pogledu. Većina mostova sagrađena je za vrijeme širenja Rimskog Carstva. Iako nisu poznavali mehaniku, bili su vrsni graditelji i osjećali su djelovanje sila. Primjenjivali su polukružni, bačvasti i segmentni svod, vrlo blizak polukružnom. Međustupovi su im široki, a temelji izgrađeni na kamenom nabačaju. Izvanredna kvaliteta njihovih mostova očituje se u tome što su neki sačuvani do danas (u Rimu, Riminiju, Segoviji, Salamanki, Pont du Gard). Najvredniji je sačuvani akvedukt Pont du Gard kod Nîmesa u južnoj Francuskoj (v. Akvedukt, TE 1, str. 69). Dug je 270 m, a visok 49 m. Izgrađen je na 3 kata, s rasponima od 24,5 m, oko \leftarrow 13. godine (sl. 161). Poznati su još akvedukt kod Tarragone (sagrađen nešto prije početka nove ere, izведен je u dva kata s malim polukružnim svodovima), zatim Andeoski most u Rimu (sa svodovima otvora 18,0 m, sagrađen 138. god) (v. Gradevni kamen, TE 6, str. 243), most Salavio, akvedukt Valens u Carigradu, Tiberijev most kod Riminija (star više od 2000 godina), akvedukt kod Splita itd. Do današnjeg doba sačuvani su većinom akvedukti i mostovi temeljeni na stijeni. Mnogi mostovi sagrađeni preko rijeka nisu se održali zbog razornog djelovanja vode, jer su im stupovi bili temeljeni na kamenim nabačajima. Karakteristično je da su imali strme pristupne rampe i male otvore (do 20 m). Osnovni su elementi tih mostova: svod, parapetni zidovi, ispuna, ograda, stupovi i upornjaci. Ta se kompozicija održava sve do primjene betona potkraj XIX st. U srednjem vijeku počeli su primjenjivati otvore iznad stupova za olakšanje konstrukcije, što se primjećuje i na turskim mostovima. Zanimljivo je da su Kinezi već u VII stoljeću (sl. 162) primjenjivali otvore iznad svodova. S propašću Rimskog Carstva nastao je prekid u gradnji mostova koji je trajao oko 1000 godina. Sve do vladavine Karolina građeno je malo kamenih mostova. Poznati su iz tog doba Vražji most kod Martorella, Bomfica kod Lisabona, gotički akvedukt kod Spoleta. Za vrijeme križarskih ratova gradnja i



Sl. 163. Ponte Vecchio u Firenci

održavanje mostova i cesta povjereni su redovnicima (Fratres pontifices). Iz tog doba potječu glasoviti mostovi, i to: Karlov most u Pragu (1357—1390), Ponte Vecchio u Firenci (1345, sl. 163), stari londonski most i most u Avignonu (1177—1189), koji je imao 21 otvor s rasponom od 30 m i sa strelicom od 13,0 m. Najsmjeliji most srednjovjekovne epohe je most preko Adde kod Trezza s rasponom od 72 m. Značajka je toga doba pojava segmentnih, plosnatih i šiljatih gotičkih svodova. Interesantno je da su na nekim mostovima sagrađene zgrade (Ponte Vecchio, stari most u Londonu, sl. 164). Za vrijeme



Sl. 164. Stari londonski most

renesanse umjetnost građenja mostova bila je područje arhitekture. Na početku XV st. nastali su, s oživljavanjem antike, u Italiji i Francuskoj mostovi za koje su ljepota, linija i arhitektonski izraz vrlo bitni. Treba spomenuti most Sta Trinità preko rijeke Arno u Firenci (građen 1252, obnovio ga je B. Ammannati 1569) — koji se sastoji od 3 luka raspona 26—29 m. Poslije 30 godina sagradio je A. da Ponte most Rialto (sl. 165) u Veneciji. Njegov vitki segmentni luk ima



Sl. 165. Most Rialto u Veneciji

raspon 28,5 m, a strelicu 7,2 m. Godine 1611. dovršen je most Pont Neuf u Parizu (rasponi 16—19,5 m). U izvanredna djela tog vremena spada i most preko Neretve u Mostaru (v. *Gradevni kamen*, TE 6, str. 244), kao dokaz turskog umijeća građenja mostova, izgrađen 1566—69. Značajka turskih mostova je šiljasti luk.

Osnove ravnoteže utvrdio je Arhimed ($\leftarrow 287 \dots \leftarrow 212$). Leonardo da Vinci (1452—1519) izvršio je prvo probno opterećenje grede mosta da utvrdi njenu nosivost. Prva istraživanja čvrstoće materijala načinio je Galileo Galilei (1564—1642) na Univerzitetu u Padovi. On je dao matematičke izraze za čvrstoću grede na savijanje, te je tako postao osnivač modernog znanstvenog istraživanja. Pokusi R. Hookea (1635—1703) dali su poznati zakon da je produljenje štapa proporcionalno sili. Taj je zakon postao osnova za analizu konstrukcija. Barok je pogodovao sa svojim izvještajnim oblikovanjem izvedbi košarastih lukova. Potporna linija u blizini pete često izlazi izvan svoda, zbog čega tamo nestaju nepovoljna naprezanja. Te svodove učvršćuju čeoni zidovi i ispuna. A. Palladio, vrsni talijanski arhitekt, znatno je utjecao na kasnije oblikovanje mostova.

Godine 1747. u Parizu se osniva prva tehnička škola École des ponts et des chaussées (Škola za mostove i ceste), što je značilo prekretnicu u mostogradnji, jer joj od tada postaje temelj znanost, osobito matematika i statika, umjesto empirije. Prvim upraviteljem te škole imenovan je J. R. Perronet (1708—1794), graditelj brojnih mostova, od kojih se osobito ističe most kod Neuillyja blizu Pariza. Njegovi se mostovi odlikuju izvanrednom malom strelicom i tankim stupovima. Omjer debljine stupa i raspona mosta Pont de Neuilly iznosi 1:10, dok je u isto vrijeme bio uobičajen omjer 1:5: Rimljani su gradili mostove s omjerom 1:3. U Engleskoj je također probivala gradnja svodenih mostova u mostovima J. Smeatona (1724—1782), T. Telforda (1757—1834) i J. Renniea sen. (1761—1821). J. Rennie jun. sagradio je most preko Temze u Londonu (završen 1830). Taj most ima srednji otvor s košarastim lukom raspona od 46 m i strelicu od 9 m, zatim most preko rijeke Dee kod Chestera sa segmentnim lukom raspona od 61 m i strelicom od 12,5 m, koji je bio dugo vremena najveći luk u Evropi. Engleska mostogradnja odlikovala se nastojanjem da se smanje mase zida. U drugoj polovici XIX st. ostvaren je veliki napredak, koji je obilježen povećanjem raspona, smanjenjem troškova i brzinom gradnje. Starije su teorije svodova napuštene, te su se lukovi počeli proračunavati na temelju teorije elastičnosti. Više se ne grade lukovi segmentnog ili košarastog oblika, već se os luka utvrđuje prema potpornoj liniji, čime se postigla znatna ušteda materijala. Izradbom željezogn mosta preko rijeke Severn (1779) završena je dominacija kamenih i drvenih mostova, koji su suvereno vladali od vremena Rimljana. Koncem XIX st. otkriven je armirani beton koji je još više potisnuo gradnju kamenih lučnih mostova, koja je komplikirana i skupa. Ipak se za velike raspone grade još



Sl. 166. Kameni željeznički most preko Soče kod Solkana



Sl. 167. Most Risorgimento preko Tibera u Rimu



Sl. 168. Most Salginatobel



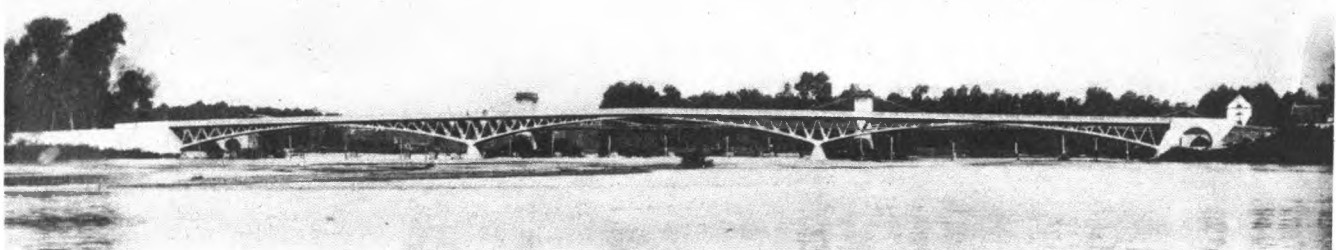
Sl. 169. Most Val-Tschiel

uvijek većinom kameni svodeni mostovi kao npr. kameni most preko rijeke Pétrusse, željeznički most preko rijeke Soče kod Solkana (sl. 166) itd. Godine 1919. izgrađen je preko rijeke Lot kod Villeneuvea betonski most sa svodom raspona od 97 m. Interesantno je da je most Risorgimento preko Tibera u Rimu (sl. 167) izgrađen 1910. god. od armiranog betona. Most preko rijeke Lot ima sandučasti presjek, a 7 lučnih stijena vezano je gore i dolje pločama. To je bilo najveće djelo F. Hennebiquea i ujedno prva konstrukcija s lučnom stijenom, koja se pri gradnji mostova počela znatno kasnije primjenjivati. Uveo je i druge novosti, od kojih je najvažnija što je umjesto širokog svoda, parapeta i ispune izveo vrlo vitku raščlanjenu konstrukciju lučnog mosta, koja se sastoji od dva lučna rebra, stupova i kolovozne konstrukcije. I danas se u biti lučni mostovi grade na taj način. Iako u početku razvjeta armiranog betona, Robert Maillart (1872—1940), švicarski mostograditelj, sagradio je niz mostova koji su bili konstruktivno ispred svoga vremena. Godine 1905. izradio je most od armiranog betona kod Tavanase. Konstruiran je kao trozglobni luk raspona 51 m, srpastog oblika, tj. s visokim tjemenom, a u peti niskog presjeka. To je bio prototip za više mostova takve vrsti, od kojih možda najviše odskače u tehničkom i estetskom pogledu most Salginatobel s rasponom od 88 m preko duboke uvale (sl. 168), sagrađen 1930. god. Maillart je izradio također i most Val-Tschiel (sl. 169), koji ima vrlo tanak svod i prenosi samo normalnu silu, dok je kolovozna konstrukcija kruta i prenosi momente. To je bio također prototip mnogih kasnije izvedenih mostova. Budući da je izgrađen lagan luk, znatno se uštedjelo na skeli. Maillartovi su mostovi jednostavni, vrlo ekonomični i elegantni. On je bio svjestan plastičnog svojstva betona, tj. da ne podliježe

Hookeovu zakonu. Većina najuglednijih inženjera tog doba nije bila svjesna te činjenice. Proračuni armiranobetonskih konstrukcija bazirali su se na Hookeovu zakonu proporcionalnosti i Navierovoj pretpostavci ravnih presjeka. Francuski inženjer Freyssinet bio je također duboko uvjeren u plastična svojstva betona. Kao konstruktor stvorio je mnoge poznate mostove. Istraživao je također stezanje i puzaњe betona, relaksaciju čelika, mogućnost povećanja kvalitete betona, trajanje njegova otvrđivanja, djelovanje prednaprezanja na beton s armaturom i bez nje, djelovanje zglobova itd. No, prije svega on je otac prednapregnutog betona, bez kojeg se mostogradnja i građevinarstvo danas ne može ni zamisliti. Freyssinetov most kod Le Veurdrea (sl. 170) ima 3 raspona po 72,5 m. Izgrađen je od trozglobnih lukova s trokutastom ispunom. Maksimalno



Sl. 171. Most preko Seine kod Saint Pierre du Vauvraya

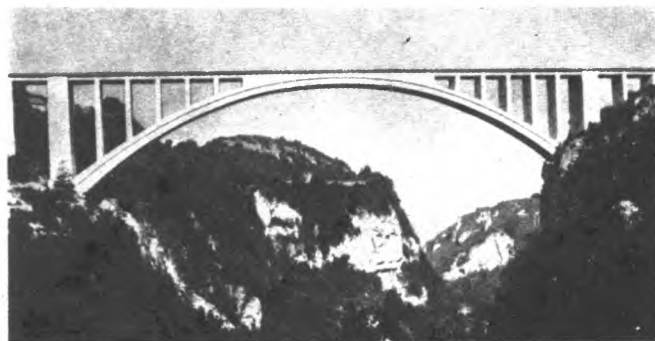


Sl. 170. Most preko rijeke Allier kod Le Veurdrea

naprezanje betona iznosi 100 kp/cm^2 ($\sim 10 \text{ MPa}$), što je vrlo mnogo za ono vrijeme (1910). Budući da su lukovi vrlo položiti, tјeme se počelo spuštati zbog stezanja i puzanja, te je postojala opasnost da se most sruši. Freyssinet je bez obustave prometa preko mosta pomoću hidrauličnih dizalica podigao lukove i tako otklonio opasnost. Most preko Seine kod Saint Pierre du Vauvraya (sl. 171), sagrađen 1923., raspona 131,8 m, streljice 25 m, bio je tada najveći armiranobetonski lučni most. Nosiva konstrukcija sastoji se od 2 upeta luka s obješenom kolovoznom konstrukcijom. Lukovi i 2 poprečna ukrućenja (umjesto vjetrovne sprege) šupljeg su presjeka. Za skidanje skele upotrebljene su hidrauličke dizalice. Najvredniji je Freyssinetov most preko ušća rijeke Elorn između Plougastela i Bresta (sl. 172). Sastoji se od 3 jednakih luka raspona 186,4 m (do 1942. god. najveći raspon). Lukovi su šupljeg presjeka s po 3 čelije. Kako je već spomenuto, svi su sagrađeni s istom skelom, koja je bila dovezena u pojedine otvore vodenim putem. Gornja kolovozna površina mosta služi za cestovna vozila, a donja za željeznička. Freyssinet je projektirao 3 lučna mosta na auto-cesti Caracas—La Guaira (1953). Rasponi su tih mostova 152, 146 i 138 m. Budući da premošćuju duboke jaruge, i do 73 m, predložio je vješanje skele o kabele. Time je stvoren novi način građenja svodenih betonskih mostova, koji je utjecao na gradnju takvih mostova u svijetu i u nas.



Sl. 172. Most preko rijeke Elorn kod Plougastela u Bretanji



Sl. 173. Most La Caille

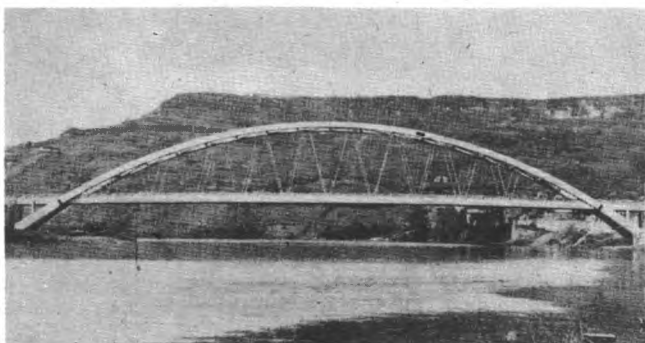
U razdoblju između dva svjetska rata izgrađeno je mnogo zanimljivih betonskih i armiranobetonskih lučnih mostova. Most La Caille (sl. 173) je dvokolosiječni željeznički most, izgrađen 1930. god. preko duboke vrleti, raspona 137,5 m, streljice 28,3 m. Poprečni presjek je sandučast sa 3 komore.

Cestovno-željeznički most Traneberg u Stockholmu izvanredno je uspio u estetskom pogledu (sl. 174). Isti ritam stupova u inundaciji sačuvan je i iznad luka, koji ima raspon 181 m. Most je dug 545 m, a širok 27,5 m. U poprečnom presjeku sastoji se od 2 sandučasta presjeka, svaki po 3 komore. Izveden je (1934.) pomoću čelične lučne skele.

Most u Castelmoronu preko rijeke Lot u Francuskoj (sl. 175) izgrađen je 1933. god. To je lučni most raspona 143 m



Sl. 174. Cestovno-željeznički most Traneberg u Stockholmu



Sl. 175. Cestovni armiranobetonski most Castelmoron (sustav Nielsen)

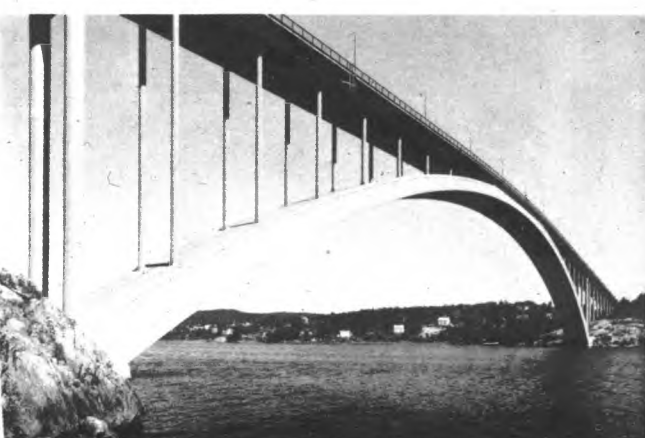
od armiranog betona, sustava Nielsen, tj. s vješalkama trokutastog oblika.

Most preko Tare (sl. 176) od armiranog betona sastoji se od jednog luka raspona 116 m i pet manjih od po 47 m. U poprečnom presjeku su po 2 luka.

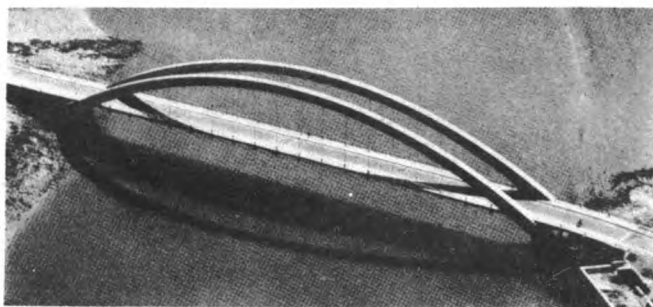
Most Sandö (sl. 177) dug je vremena bio most s najvećim rasponom koji iznosi 264 m. Izgrađen je od armiranog betona



Sl. 176. Cestovni most preko Tare (projektant M. Trojanović)



Sl. 177. Cestovni most Sandö (Švedska)



Sl. 178. Cestovni most Canada preko rijeke Jandi (Francuska)

1943. godine. Svod mu je sandučastog presjeka sa tri komore. Ukupna duljina mosta iznosi 810 m. Lučna drvena skela srušila se za vrijeme gradnje te je načinjena druga s poduporama.

Poslije drugog svjetskog rata građene su mnoge prometnice, te je izgrađeno i mnogo vrijednih lučnih mostova.

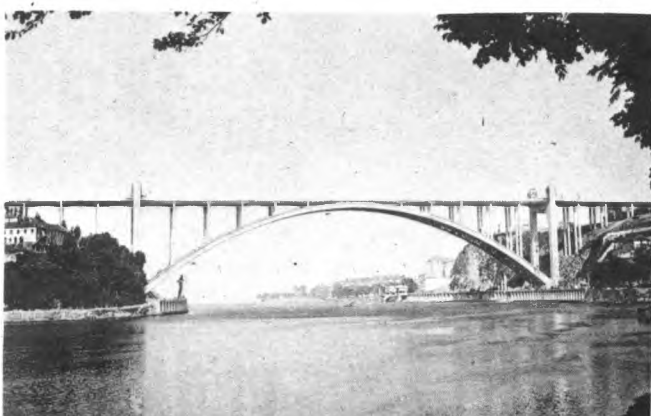
Godine 1954. izgrađen je most Canada (sl. 178) u mjestu Tregie (Francuska). Kolnik je upušten i upeti lukovi imaju raspon od 153 m. Jedinstven je po čistoći linija i eleganciji. Interesantno je da lukovi nemaju vjetrovni spreg, što mostu daje poseban čar.

Cestovno-željeznički most preko Dunava u Novom Sadu (sl. 179) dovršen je 1961. godine. Sastoji se od većeg (211 m) i manjeg raspona (165,8 m). Kolnik je upušten, a lukovi su srpastog oblika, šuplji i uklješteni. Ukupna duljina mosta iznosi 466,5 m, a širina 20 m. Stupovi i upornjaci temeljeni su na kesonima. Vješalice, poprečni nosači i ploče hodnika su montažne, dok je ostali dio kolnika betoniran na gradilištu.



Sl. 179. Cestovno-željeznički most preko Dunava u Novom Sadu (projektant B. Žeželj)

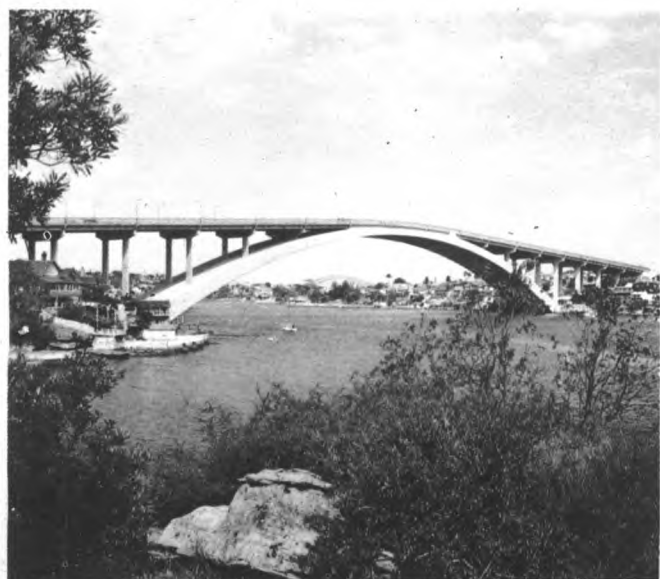
Cestovni most Arrábida (sl. 180) preko rijeke Douro (Portugal) ima dva sandučasta armiranobetonska luka, široka po 8 m, sa 2 komore, međusobno povezana gornjom i donjom spregom. Raspon lukova iznosi 270 m, a strelica je 52 m. Most



Sl. 180. Most Arrábida preko rijeke Douro (Porto, Portugal)

je završen 1963. godine. Skela je punostjeni čelični luk izgrađen konzolno pomoću zatega.

Preko rijeke Parramatte (sl. 181) u Sidneyu dovršen je 1964. godine most s najvećim rasponom svoda od 305 m. Ukupna duljina mosta iznosi 580 m, a širina 25,62 m. Ritam stupova na razmaku od 30,48 m, izведен u inundacijama, zadržan je i na svodu. U poprečnom presjeku svod se sastoji od četiri paralelna prstena sandučastog presjeka. Izgrađeni su jedan iza drugoga pomoću iste skele koja je pomicana u poprečnom smjeru. Lukovi su konstruirani sastavljanjem montažnih lamela, počevši od peta prema tjemenu. Interesantno je da su skele otpuštene ekspanzijskim postupkom, pri čemu su hidrauličke dizalice stavljene na dva mesta, približno u četvrtinama luka, gdje momenti imaju vrijednost približno jednaku nuli.



Sl. 181. Most preko rijeke Parramatte (Sidney: Australija)

Pod utjecajem R. Maillarta izgrađen je lijepi most kod Schwieberdingena (1962), duljine 280 m, širine 12 m (sl. 182). Osobitost je luka, raspona 114 m, da je u srednjem dijelu sandučastog presjeka, odakle se postepeno razdvaja u dva posebna kraka, što doprinosi poprečnoj stabilnosti luka.



Sl. 182. Most preko doline potoka Glems kod Schwieberdingena (SR Njemačka)

Među najvećima u svijetu je luk šibenskog mosta (završen 1966) raspona 246,5 m, širine 7,5 m, strelice 30,8 m, omjer je strelice i raspona 1:8 (sl. 183). Luk je šuplj i sastoji se od 3 komore. Momenti inercije luka slijede anvelopu momenata pokretnog opterećenja. Iznad luka su po 4 uzdužna montažna nosača, položena na montažne stupove, koji su razmaknuti 23,3 m. Svod je izведен konzolnim postupkom pomoću zatega



Sl. 183. Šibenski most

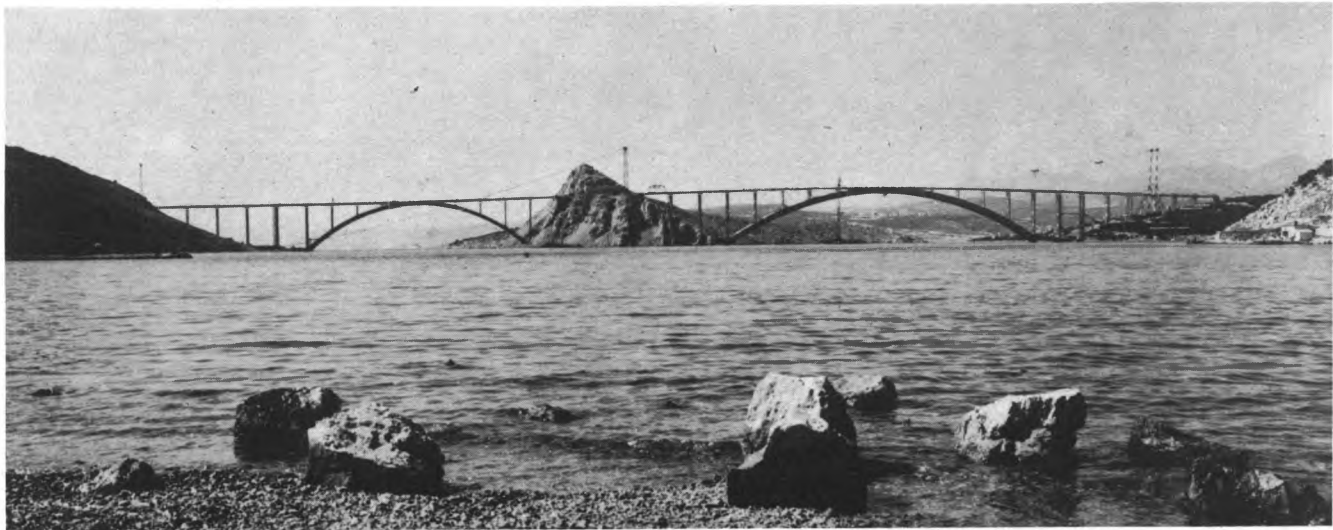


Sl. 184. Paški most

Titov most (sl. 185) povezuje kopno s otokom Krkom preko otočića Sv. Marko. Dug je 1310 m, a širok 11,4 m. Sastoje se od dva armiranobetonska uklještena luka, od kojih veći (kopno—Sv. Marko) ima rekordan raspon od 390 m, a manji (Sv. Marko—Krk) raspon od 244 m. Strelica većeg luka iznosi 60 m, a manjega 47,5 m. Oba luka imaju sandučasti presjek koji je sastavljen od montažnih elemenata, čemu je pogodovala konstantna visina presjeka. Visina je presjeka većeg luka 6,5 m, a manjega 4 m, dok je širina presjeka većeg luka 13 m, a manjega 8 m. Kolovožna konstrukcija sastoje se od tri uzdužna prednapregnuta nosača i kolovožne ploče od armiranog betona. Veći luk utemeljen je pomoću trokutne konstrukcije koja se sastoje od sandučaste konstrukcije s temeljem na obali, te kosog punog stupu s temeljem u moru na koti —19,0 m. Lukovi su izgrađeni konzolnim postupkom pomoću čeličnih zatega (sl. 186). Most se gradio nepune četiri godine. U lukovima mosta nalaze se cjevodivi rafinerije naftne u Urinju i petrokemijskog kombinata u Omišlju na Krku te naftovod i vodovod; opterećenje tim cjevodivima od $3,5 \text{ t/m}^2$ premašuje opterećenje od prometnih vozila na kolovozu.



Sl. 186. Gradnja luka Titova mosta pomoću čeličnih zatega



Sl. 185. Titov most između kopna i otoka Krka

usidrenih u upornjake, te čelične skele, koja se postepeno pomicala prema sredini luka. Paški most (sl. 184) u osnovi je izведен jednako kao i šibenski. Raspon uklještenog srpastog luka iznosi 193,2 m, strelica 27,6 m, omjer strelice i raspona 1:7 i širina 7 m. Ukupna je duljina 302 m. Prednost je takva postupka izvanredno kratko trajanje betoniranja svoda. I na šibenskom i paškom mostu primijenjen je ekspanzijski postupak radi eliminiranja dodatnih momenata.

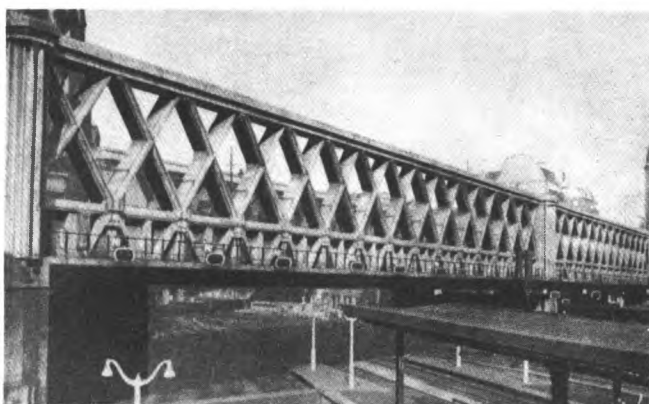
Gredni mostovi. Pronalazak portlandskog cementa (v. *Cement*, TE 2, str. 585) i Monierovi patenti (1867—1870) načinili su revoluciju u graditeljstvu i mostogradnjici; pronađen je armirani beton (v. *Armirani beton*, TE 1, str. 387; v. *Armiranobetonske konstrukcije*, TE 1, str. 403). Stvorena je baza za gradnju pločastih i grednih betonskih mostova. Beton i armirani beton zajedno s čelikom istisnuli su kamene svođene mostove. Umjesto njih grade se betonski, te armiranobetonski svođeni i gredni mostovi.



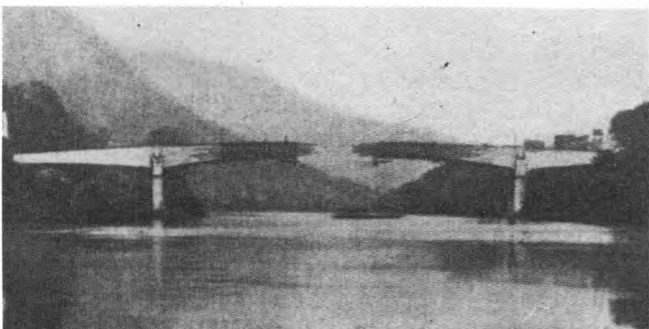
Sl. 187. Armiranobetonski most preko Ourthe u Liègeu (suvremena fotografija)

Armirani beton. Već je između 1887. i 1891. godine poduzeće Wayss i Freytag iz Njemačke sagradio više od 300 svođenih betonskih mostova do raspona od 40 m.

F. Hennebique je 1905. godine u Belgiji sagradio gredni armiranobetonski most preko rijeke Ourthe raspona 54 m. Od



Sl. 188. Most La Fayette u Parizu



Sl. 189. Cestovni most kod Hervala u Brazilu



Sl. 190. Novi most Waterloo preko Temze u Londonu

početka XX st. pa do drugoga svjetskog rata era je armiranobetonskih mostova. U statičkom pogledu bile su to proste grede, kontinuirane grede, Gerberovi nosači, nosači s prepustima i protuutezima, Vierendel-nosači i okviri. Glavni su nosači bili najviše punostjeni, no bilo je i rešetkastih nosača. Godine 1928. izgrađen je preko željezničkih kolosijeka zanimljiv most La Fayette u Parizu (sl. 188). Glavni su nosači armiranobetonske rombičaste rešetke s dolje smještenim kolnikom. Rasponi nosača iznose, radi kosine, 76,85 i 71,87 m. U Brazilu je (1930) kod grada Hervala izgrađen dotada najveći punostjeni gredni most raspona 68,5 m (sl. 189). Tu je prvi put primijenjena slobodna gradnja (Freivorbau), koja je došla do punog zamaha tek s prednapregnutim mostovima. Najvredniji je most onog vremena kontinuirane konstrukcije s rasponima od 70,7 m most Waterloo preko Temze u Londonu, izgrađen 1939. (sl. 190).

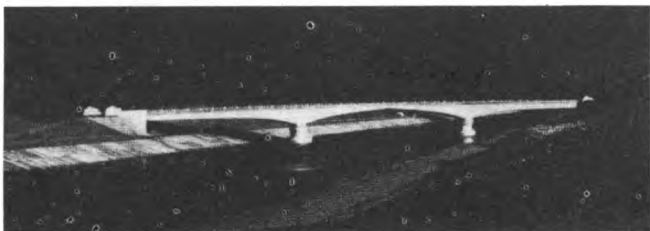
Armiranobetonske mostove rano je prihvatile i željeznica. Zbog pomanjkanja gradevne visine često su se primjenjivali mostovi s upuštenim kolnikom.

Vrlo lijep i originalan je most preko Korane u Slunju, 1958. (sl. 191). Preko kanala Donzère (Francuska) sagrađen je



Sl. 191. Most preko Korane u Slunju (projektant K. Tonković)

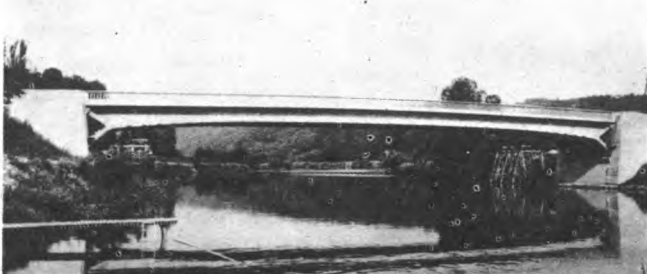
1952. godine gredni most najvećeg raspona (sl. 192). Sustav je kontinuirana greda preko 3 polja (raspona $78,5 + 100,0 + 78,5$ m), s aktiviranim zglobom u sredini središnjeg polja. Po-prečni presjek sastoji se od 4 sandučasta nosača povezana međusobno poprečnim rešetkastim spregama na razmaku od 11 m. Sva 4 nosača betonirana su postupno pomoću iste lagane čelične skele na kojoj je bila obješena oplata.



Sl. 192. Cestovni most preko kanala Donzère (Francuska)

Prednapregnuti beton. U prednapregnutom se betonu pomoću kabela ili čeličnih šipki visoke čvrstoće daje vlačnoj zoni presjeka toliki tlačni prednapon da se ni djelovanjem svih opterećenja ne pojavljuju vlačna naprezanja. To se naziva punim prednaprezanjem. Ekonomičnije je, međutim, ograničeno prednaprezanje, kad se dopuštaju u dijelu presjeka vlačna naprezanja, koja preuzima obična meka armatura. U kvalitativnom pogledu ograničeno prednaprezanje ne zaostaje za punim, čak ima i neke prednosti. Razdoblje nakon drugoga svjetskog rata moglo bi se nazvati razdobljem prednapregnutih betonskih mostova, jer se 90% od svih srednjih i velikih mostova gradi danas od prednapregnutog betona. Admirani se beton upotrebljava za raspone od 15 m, iako se i tada često gradi od prednapregnutog betona. Prednost je prednapregnutog betona u mnogo manjim visinama konstrukcija, pa prema tome i u mnogo manjem obujmu betona i manjoj težini armature po jedinici površine mosta.

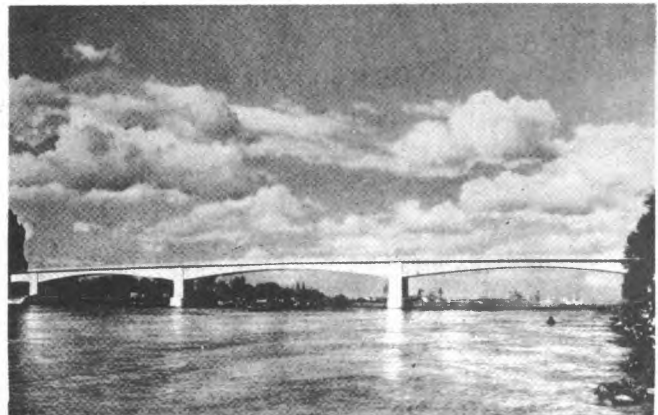
Prvi željeznički most od prednapregnutog betona ima raspon od 20 m. Freyssinet gradi (1941) most preko Marne u Luzancyju (sl. 193). To je dvozglobni okvirni most raspona 55 m. Visina nosača u sredini iznosi 1,28 m (to je $l/43$, gdje je l raspon mosta). Most se sastoji od montažnih elemenata koji su počevši od upornjaka sastavljeni prema konzolnom postupku, dok je srednji duljine 40 m sastavljen na obali, te ugrađen pomoću dizalica. To je prvi most prednapregnut u tri smjera.



Sl. 193. Most preko Marne u Luzancyju (Francuska)

Neposredno poslije rata, kad su mnogi mostovi bili porušeni, gradi se u Francuskoj većina mostova od prednapregnutog betona. To su bili uglavnom mostovi montažnog i polumontažnog tipa, izgrađeni kao ploče ili gredni mostovi sastavljeni od nosača u obliku slova I.

Sirene upotrebe prednapregnutog betona za gradnju velikih raspona započinje (1953) s mostom u Wormsu (sl. 194), raspon $102 + 114 + 104$ m. Ovo je prvi veliki gredni most izведен balansnim postupkom, bez fiksnih skela. Godine 1954.



Sl. 194. Cestovni most preko Rajne u Wormsu

izgrađen je još veći most u Koblenzu istog tipa, raspona $101 + 114 + 123$ m.

Zanimljiv željeznički most (sl. 195) od prednapregnutog betona izgrađen je, bez skele u rijeci, kod mjesta Voulte sur Rhône u Francuskoj (1955). Nosivi sustav imá 5 dvozglobnih okvira raspona 56 m. U poprečnom presjeku je sandučast sa 3 komore.



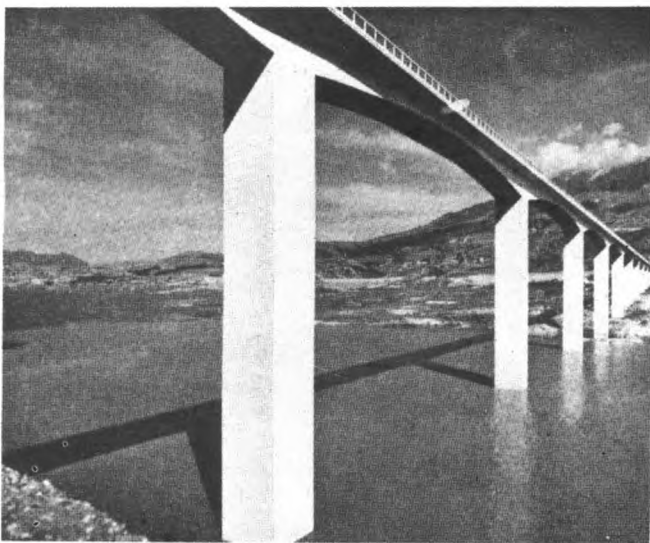
Sl. 195. Željeznički most preko Rhône kod Voulte sur Rhône (Francuska).

U to doba gradi se više elegantnih i vitkih nadvožnjaka i nathodnika (sl. 196).

Rasponi mostova od prednapregnutog betona u stalnom su porastu. Kod sela Savines (Francuska) izgrađen je (1959) balansnim postupkom most od prednapregnutog betona raspona



Sl. 196. Dva tipa nathodnika



Sl. 197. Most kod Savinesa (Francuska)

$38,5 + 11 \times 77 + 38,5$ m (sl. 197). Poprečni presjek sastoji se od jedne komore širine 5 m. Visina nosača je promjenljiva i iznosi od 1,15...4,15 m. Svako polje osim krajnjih ima zglob u sredini za preuzimanje transverzalne sile.

U Venezueli je izgrađen u rekordnom vremenu (40 mjeseci, 1959—1960) most preko zaljeva Maracaibo, duljine 8 km (sl.



Sl. 198. Cestovni most preko zaljeva Maracaibo (Venezuela)



Sl. 199. Most preko Parane (Kolumbija)

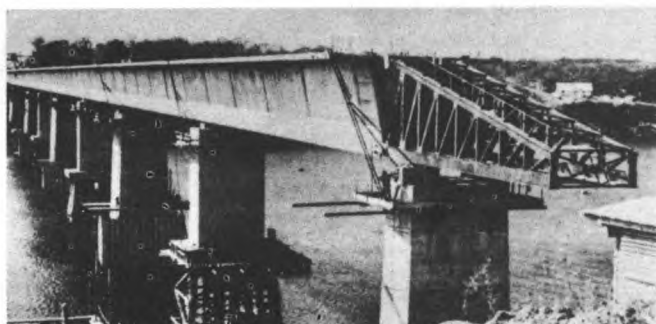
198). Značajka je toga mosta primjena mnogih montažnih elemenata. Rasponi u m iznose: $22,6 + 2 \times 46,6 + 65,8 + 15 \times 85 + 160 + 5 \times 235 + 160 + 11 \times 85 + 65,8 + 77 \times 46,6 + 20 \times 36,6$. U statičkom pogledu pet plovnih polja izvedeni su kao ovješeni sustavi s obješenom izostatičkom roštiljnom konstrukcijom. Polja raspona od 85 m stolni su konzolni stavi, također s obješenom roštiljnom konstrukcijom. Ostala polja su roštiljne izostatičke konstrukcije po 4 montažna glavna nosača u poprečnom presjeku.

Most preko Parane u Kolumbiji (sl. 199) osobito je interesantan, jer je to svojedobno (građen 1969—1973) bio rekordni raspon i jer je to prvi ovješeni prednapregnuti most izgrađen s gotovim segmentima.

Na putu Novi Sad—Temerin izgrađen je (1962) preko kanala Dunav-Tisa-Dunav most od prednapregnutog betona raspona $39 + 65 + 39$ m (sl. 200).



Sl. 200. Most preko kanala Dunav-Tisa-Dunav na cesti Novi Sad—Temerin



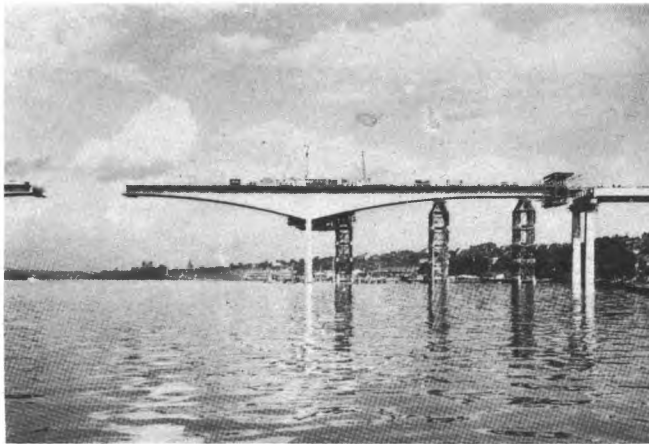
Sl. 201. Most preko rijeke Caroni (Venezuela)



Sl. 202. Most preko rijeke Medway kod Rochestera (Velika Britanija)

Preko rijeke Caroni (Venezuela) načinjen je most od prednapregnutog betona raspona $55,5 + 90 + 55,5$ m (sl. 201). Značajka je toga mosta da je to prototip mosta, koji je izveden u lamelama iza upornjaka, a lamele su nakon izradbe postepeno uguravane u raspone. Takav se postupak katkada primjenjuje pri gradnji čeličnih mostova. Nosiva konstrukcija je prethodno utegnuti ravnim uzdužnim kabelima. Radi smanjenja momenata montiran je na početku konstrukcije čelični rešetkasti kljun. Pokazalo se da je to vrlo ekonomična izvedba.

Cestovni most preko rijeke Medway kod Rochestera (Engleska) od prednapregnutog betona dug je 1018 m (sl. 202). Rasponi su središnje nosive konstrukcije $95,3 + 152,4 + 95,3$ m, dok rasponi vijadukta na prilaznim rampama iznose $30,5 \dots 41,2$ m. Poprečni presjek središnjeg dijela mosta sastoji se od dva međusobno odvojena sanduka po tri komore. Iznad ležaja sanduk je visok 10,82 m, a na krajevima 2,74 m. Prilazni vijadukti sastoje se od izostatičnih roštiljnih konstrukcija s montažnim glavnim nosačima. Središnji dio izведен je balansnim postupkom (sl. 203), a montaža nosača vijadukata pomoću čelične lansirne rešetke.



Sl. 203. Balansni postupak gradnje mosta preko rijeke Medway (sl. 202)

Most preko Rajne u Bendorfu (sl. 204) bio je više od 10 godina most s najvećim rasponom u svijetu. Izведен je od prednapregnutog betona, balansnim postupkom (sl. 205), s lamelama duljine 7 m, betoniranim na gradilištu. Središnji dio ima raspone $71 + 208 + 71$ m. Radi smanjenja momenata izvedeni su privremeni jarmovi na zapadnom dijelu, a pomoćni kabeli s pilonima na istočnom dijelu.



Sl. 204. Most preko Rajne kod Bendorfa



Sl. 205. Balansni postupak gradnje mosta kod Bendorfa

Most preko Seine u Choisy le Roi (1965) zanimljiv je po tome što je, drugi put poslije Freyssinetovih mostova preko rijeke Marne, izgrađena nosiva konstrukcija postupkom s gotovim segmentima (sl. 206). Presjek nosive konstrukcije je sandučast.

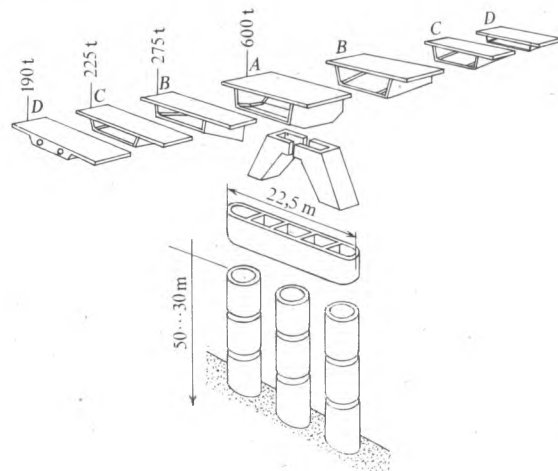


Sl. 206. Most preko Seine u Choisy le Roi kod Pariza

Premko morskog rukavca Oosterschelde (Nizozemska) izgrađen je 1966. godine cestovni most duljine 5022 m sa 50 raspona po 95 m (sl. 207). Odlikuje se racionalnom gradnjom i primjenom montažnih elemenata. Most se sastoji od 7 osnovnih



Sl. 207. Cestovni most preko rukavca Oosterschelde (Nizozemska)



Sl. 208. Osnovni segmenti mosta Oosterschelde (sl. 207)



Sl. 209. Balansni postupak gradnje mosta Oosterschelde (sl. 207) s lansirnom rešetkom

elemenata, od čega 4 otpadaju na nosivu konstrukciju (A, B, C i D) i 3 na stupove (sl. 208). Element iznad stupa težak je 600 t. Poprečni presjek je sandučast. U statičkom pogledu to je konzolni sustav sa zgloboom u sredini. Temeljen je na velikim betonskim bunarima promjera 4,25 m, duljine 30...50 m. Elementi su montirani pomoću čelične rešetke i dizalice nosivosti 600 t (sl. 209).

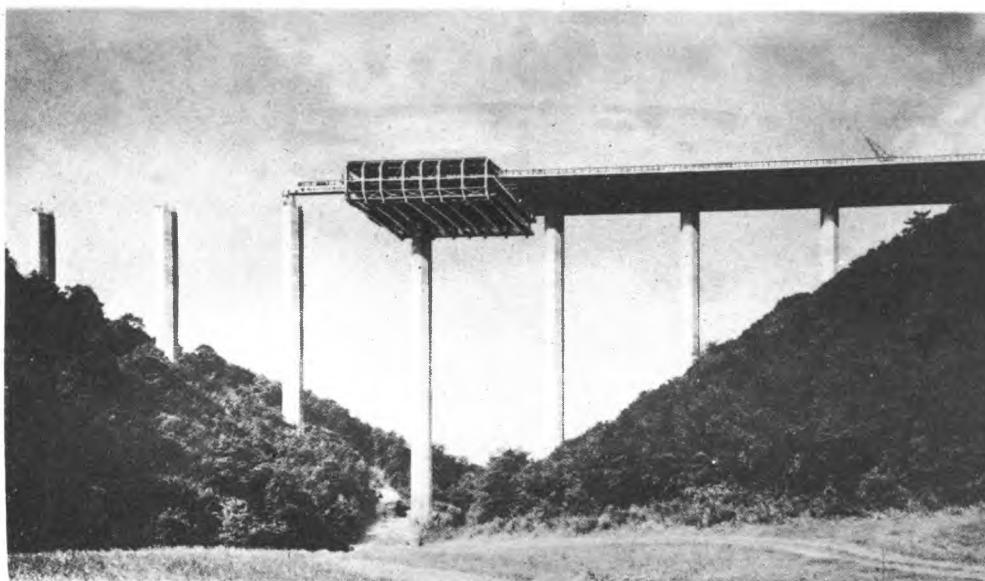
Na auto-cestama Italije izvedeno je mnogo vijadukata i mostova. U početku se radi jednostavnosti davala prednost izostatičnim roštiljnim sustavima s montažnim glavnim nosačima za mostove manjih i srednjih raspona. Na takvim mostovima kolnik nije kontinuiran, već je prekidan prijelaznim konstrukcijama, što je bilo nepovoljno i za vožnju i za prijelazne konstrukcije. Zbog toga su se počele primjenjivati kontinuirane nosive konstrukcije. Za veće raspone, otprilike 100 m, kad se gradilo balansnim postupkom, primjenjivali su se često konzolni sustavi koji u sredini polja imaju zglob za prijenos poprečne sile. Tipičan je primjer takve konstrukcije vijadukt preko doline potoka Sori (sl. 210). Razmaci su stupova $30,8 + 31,6 + \dots + 2 \times 100 + 65$ m. Konzole i stupovi sandučastog su presjeka, a konzole su promjenljive visine. Konzole su izgrađene balansnim postupkom, a montažni nosači ubaćenih polja ugrađeni su pomoću čelične lansirne rešetke.

Vijadukt preko doline Elz kod Koblenza (SR Njemačka), duljine 379 m, širine 30 m, izgrađen je konzolnim postupkom, idući od jednog kraja prema drugome (sl. 211). Nosiva je konstrukcija ploča u obliku gljive od prednapregnutog betona,

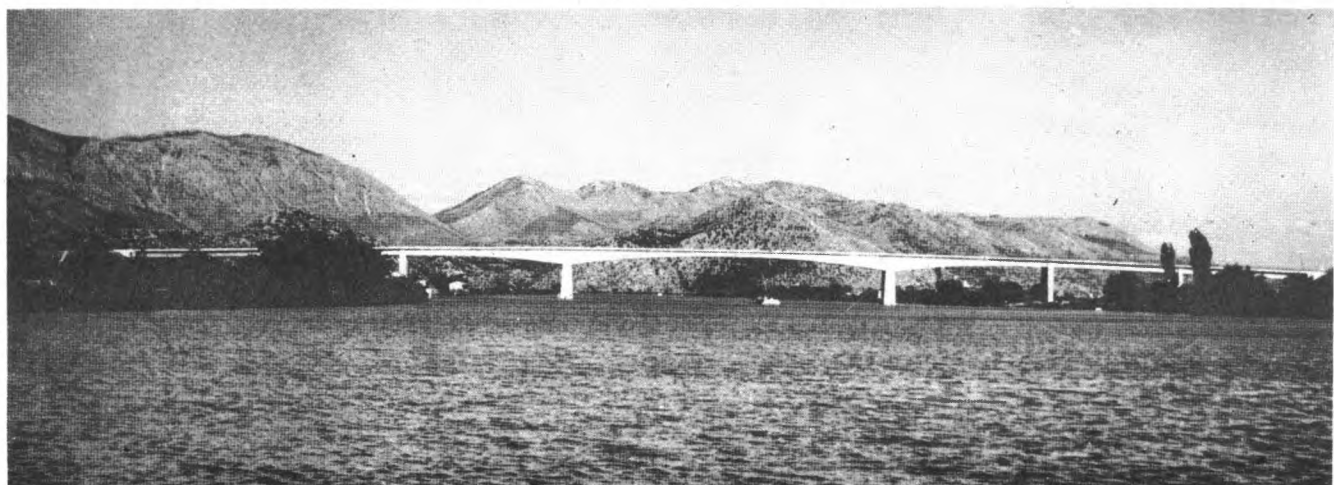
oslonjena na osmerokutne šuplje armiranobetonske stupove višine do 100 m. Vijadukt ima devet polja po 37,5 m. Poprečna dilatacijska spojnica nalazi se samo 11,6 m od stupa u središnjem polju, tj. na mjestu gdje je moment jednak nuli.



Sl. 210. Vrijadukt preko potoka Sori (Italija)



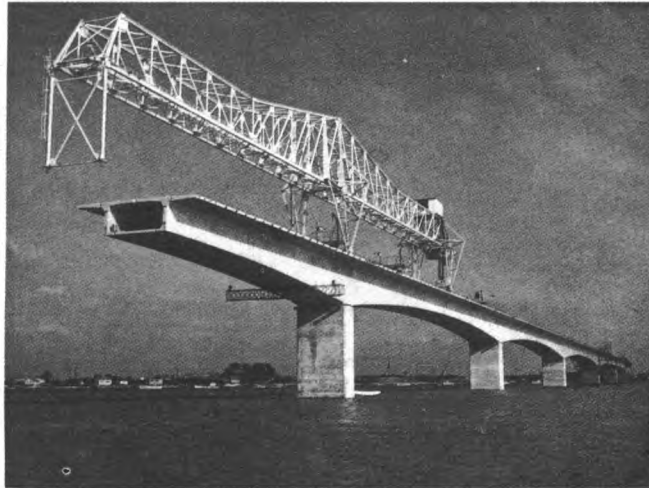
Sl. 211. Vrijadukt preko doline Elz kod Koblenza (SR Njemačka)



Sl. 212. Most preko Neretve kod Rogotina

Preko rijeke Neretve kod Rogotina izgrađen je 1966. most od prednapregnutog betona (sl. 212). Središnji dio ima raspon 55 + 110 + 55 m. To je kontinuirana konstrukcija izvedena prema balansnom postupku. Ukupna je duljina 413,8 m. Poprečni presjek je sandučast i sastoji se od dvije komore. Širina je mosta 10,5 m. Riječni stupovi temeljeni su na kesonima, a ostali na Benoto pilotima.

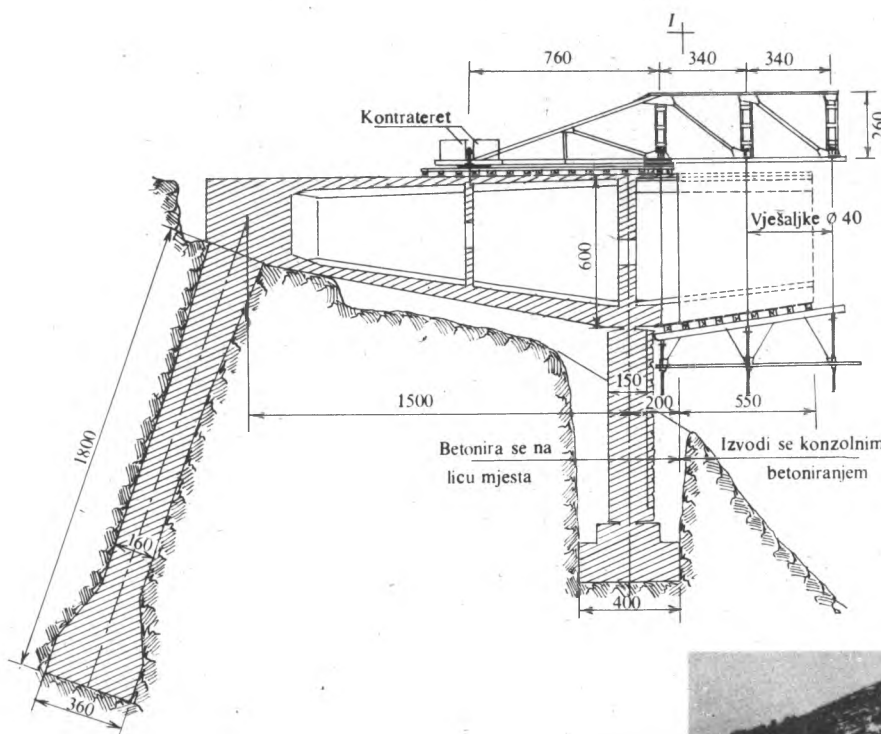
Između otoka Oléron i kopna (Francuska) izgrađen je 1966. god. cestovni most duljine 2862 m (sl. 213). Imade 46 raspona:



Sl. 213. Montaža gotovih elemenata na mostu između otoka Oléron i kopna (Francuska)



Sl. 214. Most preko Pive kod Šćepan Polja



$28,8 + 7 \times 39,5 + 59,3 + 26 \times 79 + 59 + 9 \times 39,5 + 28,8$ m, a širok je 10,6 m. Nosiva konstrukcija je od prednapregnutog betona, izvedena balansnim postupkom s montažnim segmentima slijepljenim jedni uz druge. Montaža segmenata izvedena je pomoću čelične rešetkaste skele (sl. 213).

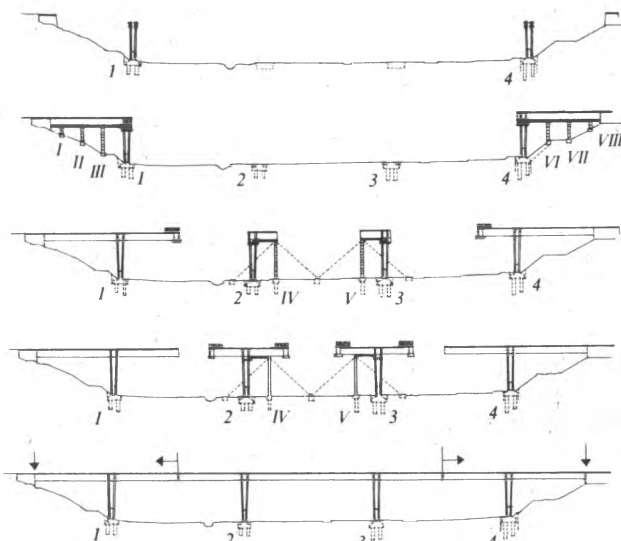
Most preko rijeke Pive kod Šćepan Polja ima raspone 15 + 122 + 15 m (sl. 214). Izведен je od prednapregnutog betona konzolnim postupkom (sl. 215). Preko zaljeva Bistrina kod Stona načinjen je most od prednapregnutog betona polumontažnog tipa (sl. 216). Dolinu potoka Bisagno, na auto-cesti Genova—Sestri Levante, prelazi vijadukt duljine 600 m (sl. 217).



Sl. 216. Most preko zaljeva Bistrina na Jadranskoj magistrali (projektant K. Šavor)



Sl. 217. Most preko doline potoka Bisagno (Italija)



Sl. 218. Shema građenja mosta preko doline Nusle (sl. 219)

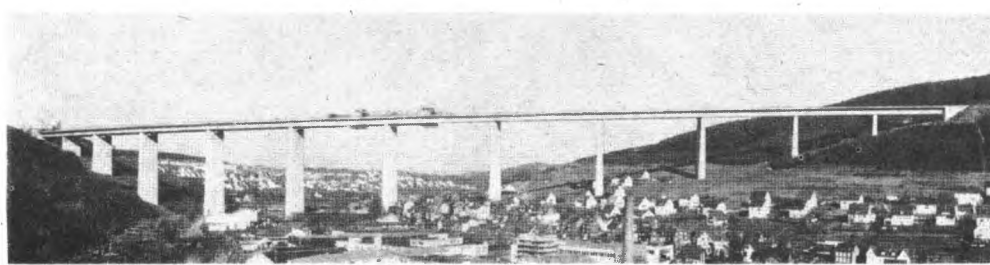


Sl. 221. Gradnja vijadukta preko doline Siegtal (sl. 220)

Središnji dio ima raspon $70 + 3 \times 116 + 68,7$ m. U sredinama velikih raspona (116 m) izvedeni su zglobovi radi prijenosa transverzalne sile. Poprečni presjek je sandučast promjenljive visine. Stupovi su također sandučastog konstantnog presjeka. Temeljenje stupova i upornjaka je izvršeno bunarima i bušenim pilotima. U Pragu preko doline Nusle izgrađen je 1970. god. vrlo zanimljiv i lijep most za cestovni i gradsko-željeznički promet (sl. 219). Presjek nosive konstrukcije je sandučast, konstantne visine 6,42 m. Na gornjoj površini odvija se cestovni, a unutar sanduka željeznički promet. Dug je 485 m, a širok 26,7 m. Rasponi iznose: $68,3 + 3 \times 115,5 + 68,3$ m. Srednja stupišta imaju po četiri blago nagnuta stupa pravokutnog

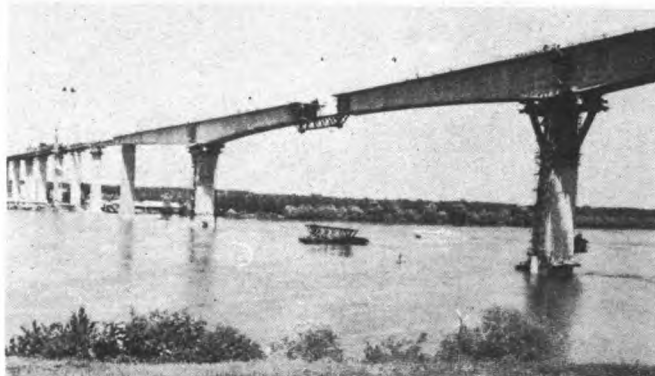


Sl. 219. Most preko doline Nusle u Pragu

Sl. 220. Vijadukt preko doline Siegtal na auto-cesti Dortmund—Giessen
(SR Njemačka)

presjeka. Stupovi su temeljeni na bušenim pilotima. Krajnji otvori izvedeni su na skeli, a ostali balansnim postupkom (sl. 218). Nosiva je konstrukcija utegnuta sa 24 kabela. Godine 1969. dovršen je vijadukt preko doline Siegtal. Nalazi se na auto-cesti Dortmund—Giessen. Dugačak je 1 050 m i ima raspone $63 + 75 + 90 + 4 \times 105 + 96 + 90 + 81 + 71 + 64$ m (sl. 220). Polumjer horizontalne krivine iznosi 1 400 m. Nosiva konstrukcija ima sandučast presjek s jednom čeličjom; statički sustav je kontinuiran nosač preko 12 nejednakih polja. Stupovi su šuplji, temeljeni na stjeni; izgrađeni su kliznom oplatom. Nosiva konstrukcija načinjena je pomoću čelične skele duljine 135 m. Njezina izradba počinje kod jednoga, a završava kod drugog upornjaka. Lamele duljine 10 m betoniraju se naprijed i natrag od stupa, na principu vase, dok se lamela s jedne strane ne spoji s postojećim dijelom, a s druge strane ne izbetonira do sredine polja (sl. 221). Tada se čelična konstrukcija pomiče za jedno polje dalje i postupak se ponavlja.

Preko Dunava kod Beške izgrađen je most od prednapregnutog betona duljine 2 300 m (sl. 222). Središnji dio raspona

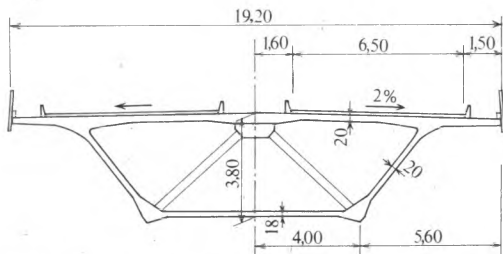


Sl. 222. Most preko Dunava kod Beške (projektant B. Žeželj)

$105 + 210 + 105$ m izgrađen je balansnim postupkom, dok su prilazne rampe od montažnih nosača građene pomoću čelične lansirne rešetke. Poprečni presjek središnjeg dijela je sandučast, jednočelijski, promjenljive visine, dok su rampe izvedene s izostatičkim roštiljima sastavljenim od montažnih nosača raspona 30 m. Most Brotonne (Francuska) prelazi rijeku Seinu i dug je 1 280 m. Sastoji se od središnjeg dijela i dva prilazna vijadukta (sl. 223). Središnji dio je ovješeni most s kolovoznom konstrukcijom od prednapregnutog betona. Taj dio ima raspone



Sl. 223. Ovješeni most Brotonne preko Seine



Sl. 224. Poprečni presjek nosača na mostu Brotonne (sl. 223)

143,5 + 320 + 143,5 m. Nosač je sandučastog presjeka s nagnutim hrptovima, koji su također vertikalno prednapregnuti. Konstantne je visine (8,97 m) i širine (19,2 m) (sl. 224). Prednapregnut je trodimenzionalno, izveden balansnim postupkom, počevši od pilona. Hrptovi su načinjeni iz gotovih elemenata. Pilon je izveden od armiranog betona pomoću klizne oplate. Njegova je visina iznad kolnika 70 m, a cijela visina 120 m. Kabeli su u srednjoj vertikalnoj ravnini. Ukupno ima 4×21 kabel. Kabeli su izrađeni od 39...60 žica, zaštićeni su cijevima koje su injektirane cementnim mortom. Temeljenje je izvedeno na bunarima, a stupovi s kliznom oplatom. Među ovješenim mostovima Brotonne ima za sada najveći raspon. Građenje mosta trajalo je 3 godine (1974—1977).



Sl. 225. Cestovni most koji spaja otok Öland s kopnom (Švedska)

Između kopna (Švedska) i otoka Öland izgrađen je (1968—1977) najdulji evropski most (6 070 m). Rasponi iznose $23 \times 34,57 + 65 + 6 \times 130 + 65 + 124 \times 35,12$ m (sl. 225). Veliki rasponi izgrađeni su balansnim postupkom, a mali pomoću posebne čelične skele. Most je širok $3 + 7 + 3 = 13$ m.

Između Urugvaja i Argentine preko rijeke Uruguay izgrađen je cestovni most duljine 3 408 m (sl. 226). Da se osigura navigacijski gabarit (200×40 m), središnji raspon iznosi 220 m,

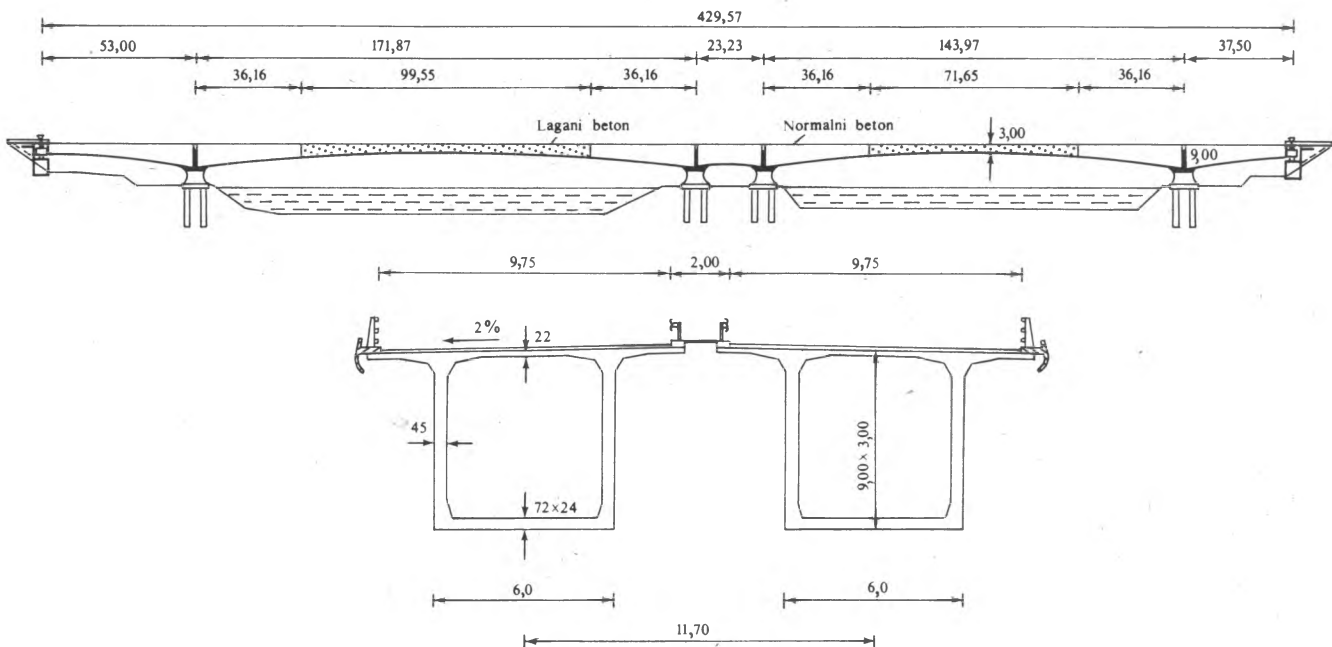


Sl. 226. Most između Urugvaja i Argentine preko rijeke Uruguay

ostali su rasponi od 70, 55,5 i 41 m. Središnji dio sastoji se od dva konzolna nosača duljine 2×90 m, između kojih je objesena izostatička roštiljna konstrukcija raspona 39,3 m. Središnji stupovi su temeljeni na bunarima, a ostali na bušenim pilotima. Konzolni nosači izvedeni su balansnim postupkom, a ostali su montirani pomoću plovnih dizalica ili pomoću dizalica postavljenih na suhom.

Most preko kanala Alsace u Ottmarsheimu zanimljiv je po tome što je u srednjem dijelu velikih raspona upotrijebljen lagani beton (sl. 227) da bi se smanjili momenti. Ukupna je duljina 429,6 m, a korisna širina $2 \times 9,75$ m. Sastoji se od dvije sandučaste konstrukcije promjenljive visine 3...9 m. Temelji leže na bušenim pilotima promjera 170 i 200 cm. Most je izgrađen balansnim postupkom s gotovim elementima.

Balansni postupak našao je široku primjenu u Japanu gdje je tako izgrađeno oko 150 mostova. Most Urado, širok samo 8,5 m, s rasponom od 230 m (sl. 228) bio je neko vrijeme najdulji most u Japanu. Poslije je izgrađen most od prednapregnutog betona preko jezera Hamana (sl. 229) sa središnjim rasponom od 240 m. Ukupna je duljina 630 m s rasponima $55 + 140 + 240 + 140 + 55$ m. U sredini središnjeg raspona postoji zglob.



Sl. 227. Most preko kanala Alsace u Ottmarsheimu

Preko rijeke Columbije (SAD) izgrađen je ovješeni most s kolovožnom konstrukcijom od prednapregnutog betona (sl. 230). Most je dug 762,91 m s rasponima središnjeg dijela 123,9 + 299,0 + 123,9 m. Presjek se sastoji od dva trokutasta sanduka međusobno vezana poprečnim nosačima na razmaku od 2,13 m i kolovožnom pločom. Most je širok 24,33 m. Čelični kabeli zaštićeni su cijevima od polietilena koje su injek-



Sl. 228. Most Urado u Japanu



Sl. 229. Most preko jezera Hamana u Japanu



Sl. 230. Most preko rijeke Columbije (SAD)

tirane cementnim mortom. Piloni, visoki 76 m, građeni su u kliznoj oplati. Kolovozna konstrukcija, načinjena od gotovih elemenata duljine 8,23 m i težine 270 t, postavljena je balansnim postupkom simetrično od pilona na obje strane.

LIT.: E. Bittner, *Momententafeln und Einflussflächen für Kreuzweise bewehrte Eisenbetonplatten*. Springer, Wien 1938. — C. Massonet, *Methode de calcul des ponts à poutres multiples tenant compte de leur résistance à la torsion*. Int. Association for Bridge and Structural Engineering, Zürich 1950. — H. Olsen, F. Reinitzhuber, *Die zweiseitig gelagerte Platte*, Bd. 1. und 2. W. Ernst & Sohn, Berlin-München 1950. — H. Homberg, W. R. Marx, *Schiefe Stäbe und Platten*. Werner, Düsseldorf 1958. — N. J. Polivanov, *Armiranro betonski gradski i dramski mostovi* (prijevod). Gradevinska knjiga, Beograd 1959. — M. Trojanović, *Betonski mostovi*. Naučna knjiga, Beograd: I dio, 1961; II dio, 1964. — K. Stiglat, *Rechteckige und schiefe Platten mit Randbalken*. W. Ernst & Sohn, Berlin-München 1962. — H. Rüsch, *Berechnungstafeln für rechteckige Fahrbahnplatten von Strassenbrücken*. W. Ernst & Sohn, Berlin-München 1965. — W. Vreden, *Neues allgemeines Berechnungsverfahren beliebig gelagerter gekrümmter Träger*. W. Ernst & Sohn, Berlin-München 1966. — R. Dabrowski, *Gekrümmte dünnwandige Träger*. Springer, Berlin-Heidelberg-New York 1968. — G. Rakowski, R. Solecki, *Gekrümmte Stäbe*. Werner, Düsseldorf 1968. — M. Trojanović, *Mostovi od armiranog i prednapregnutog betona*. Univerzitet u Beogradu, Beograd 1968. — W. Koch, *Brückebau*, Teil 2: *Massiv-Brücken*. Werner, Düsseldorf 1971. — R. E. Rowe, *Concrete Bridge design*. Applied Science Publisher, Essex 1972. — S. Grasshoff, *Einflussflächen für Plattschnittsmomente zweisteiger Plattenbalkenbrücken*. Werner, Düsseldorf 1973. — H. Homberg, *Platten mit zwei Stegen*. Springer, Berlin-Heidelberg-New York 1973. — M. Trojanović, *Savremeni mostovi od armiranog i prednapregnutog betona*. Univerzitet u Beogradu, Beograd 1974. — K. Tonković, *Masivni mostovi*. Školska knjiga, Zagreb 1977. — F. Leonhardt, *Vorlesungen über Massivbau*, 6. Teil: *Grundlagen des Massivbrückenbaues*. Springer, Berlin-Heidelberg-New York 1979.

K. Šavor